

図-6.6.1.10(2) 超音波流速計による調査結果に基づく秋季の潮流楕円

注) 調査期間：平成 19 年 10 月 29 日～12 月 3 日

資料：「シュワブ(H18)環境現況調査(その2)報告書」平成 20 年 12 月、沖縄防衛局

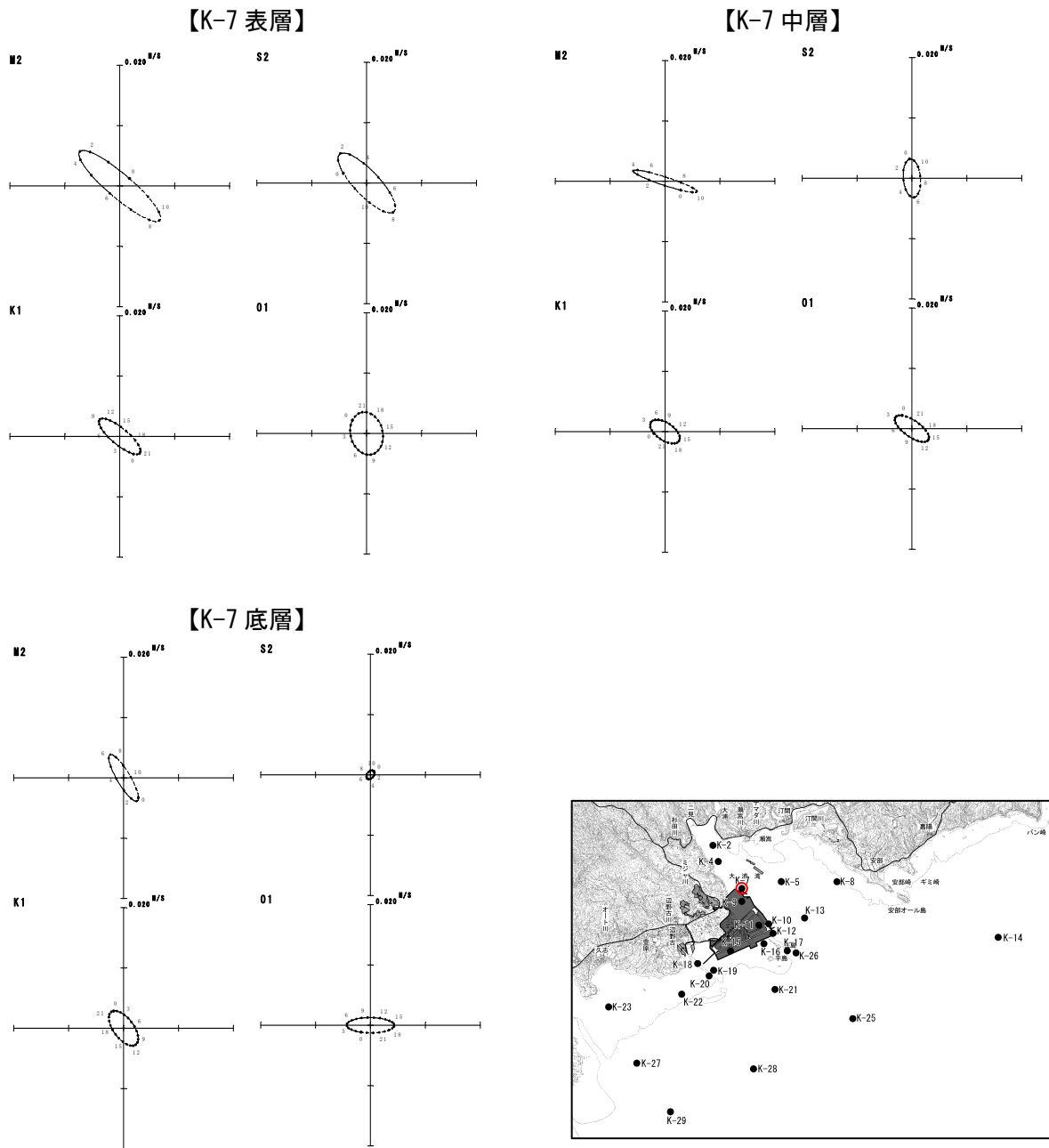


図-6.6.1.10(3) 超音波流速計による調査結果に基づく秋季の潮流楕円

注) 調査期間：平成 19 年 10 月 29 日～12 月 3 日

資料：「シュワブ(H18)環境現況調査(その2)報告書」平成 20 年 12 月、沖縄防衛局

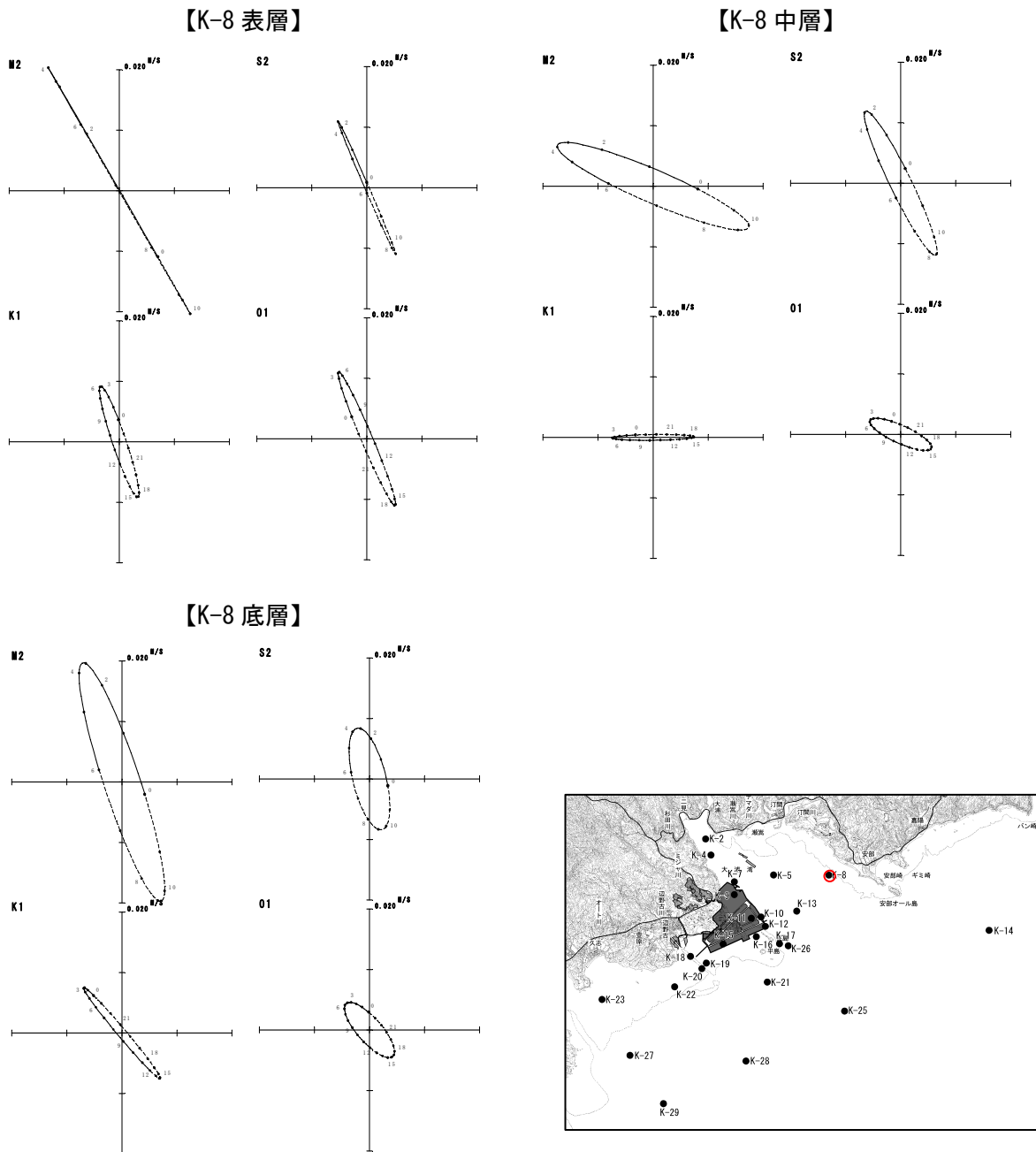


図-6.6.1.10(4) 超音波流速計による調査結果に基づく秋季の潮流楕円

注) 調査期間：平成19年10月29日～12月3日

資料：「シュワブ(H18)環境現況調査(その2)報告書」平成20年12月、沖縄防衛局

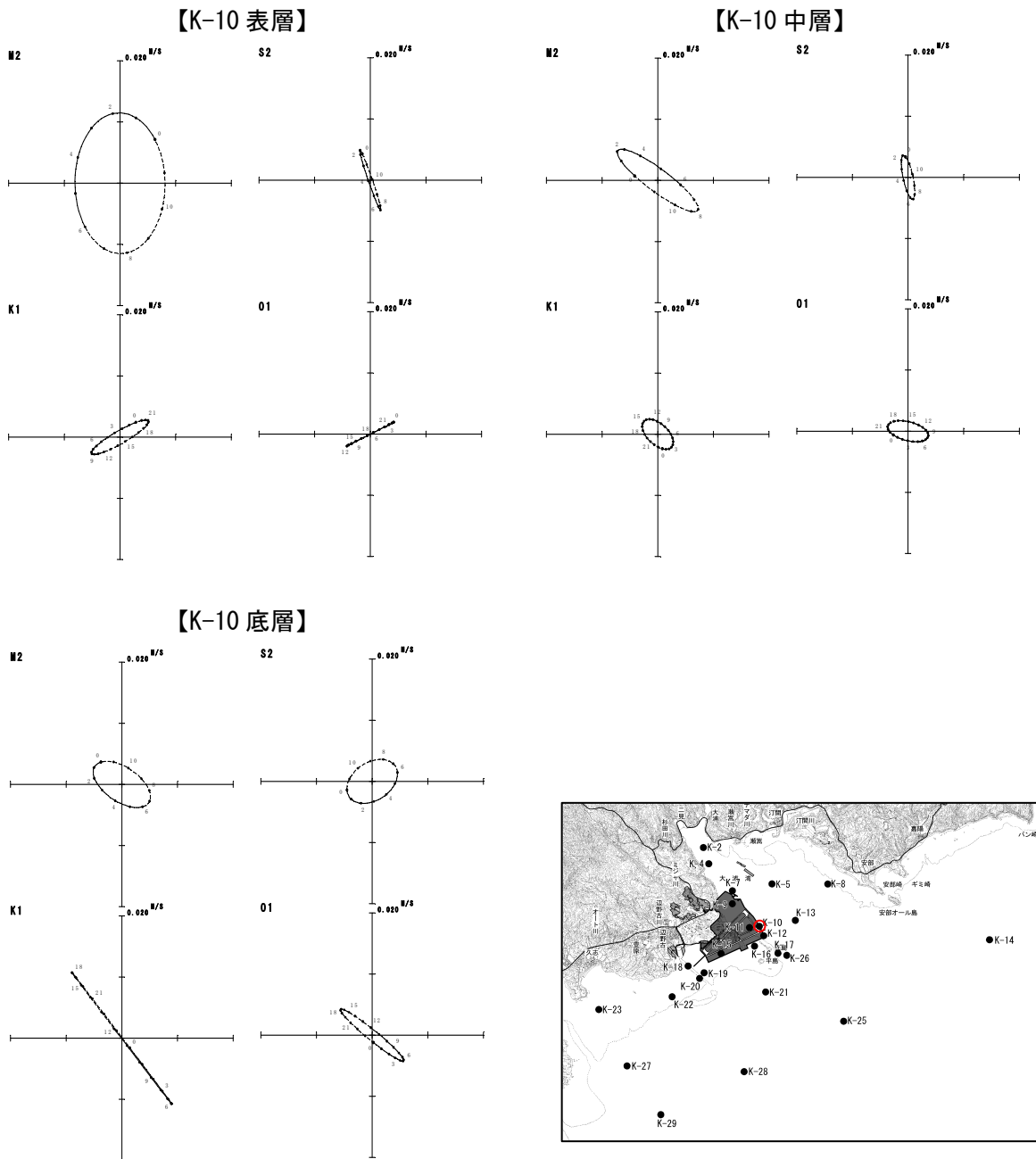


図-6.6.1.10(5) 超音波流速計による調査結果に基づく秋季の潮流楕円

注) 調査期間：平成 19 年 10 月 29 日～12 月 3 日

資料：「シュワブ(H18)環境現況調査(その2)報告書」平成 20 年 12 月、沖縄防衛局

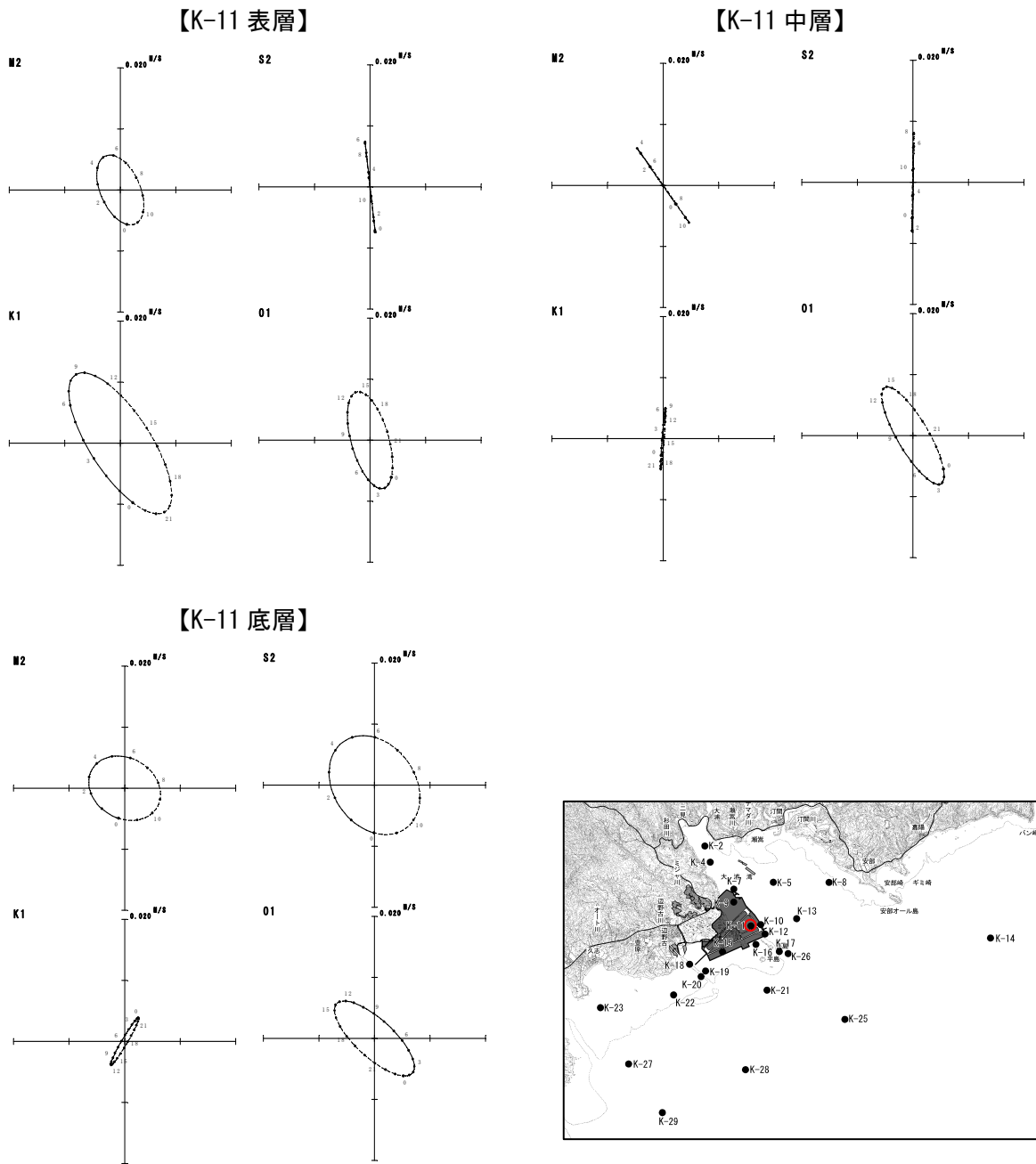


図-6.6.1.10(6) 超音波流速計による調査結果に基づく秋季の潮流楕円

注) 調査期間：平成 19 年 10 月 29 日～12 月 3 日

資料：「シュワブ(H18)環境現況調査(その2)報告書」平成 20 年 12 月、沖縄防衛局

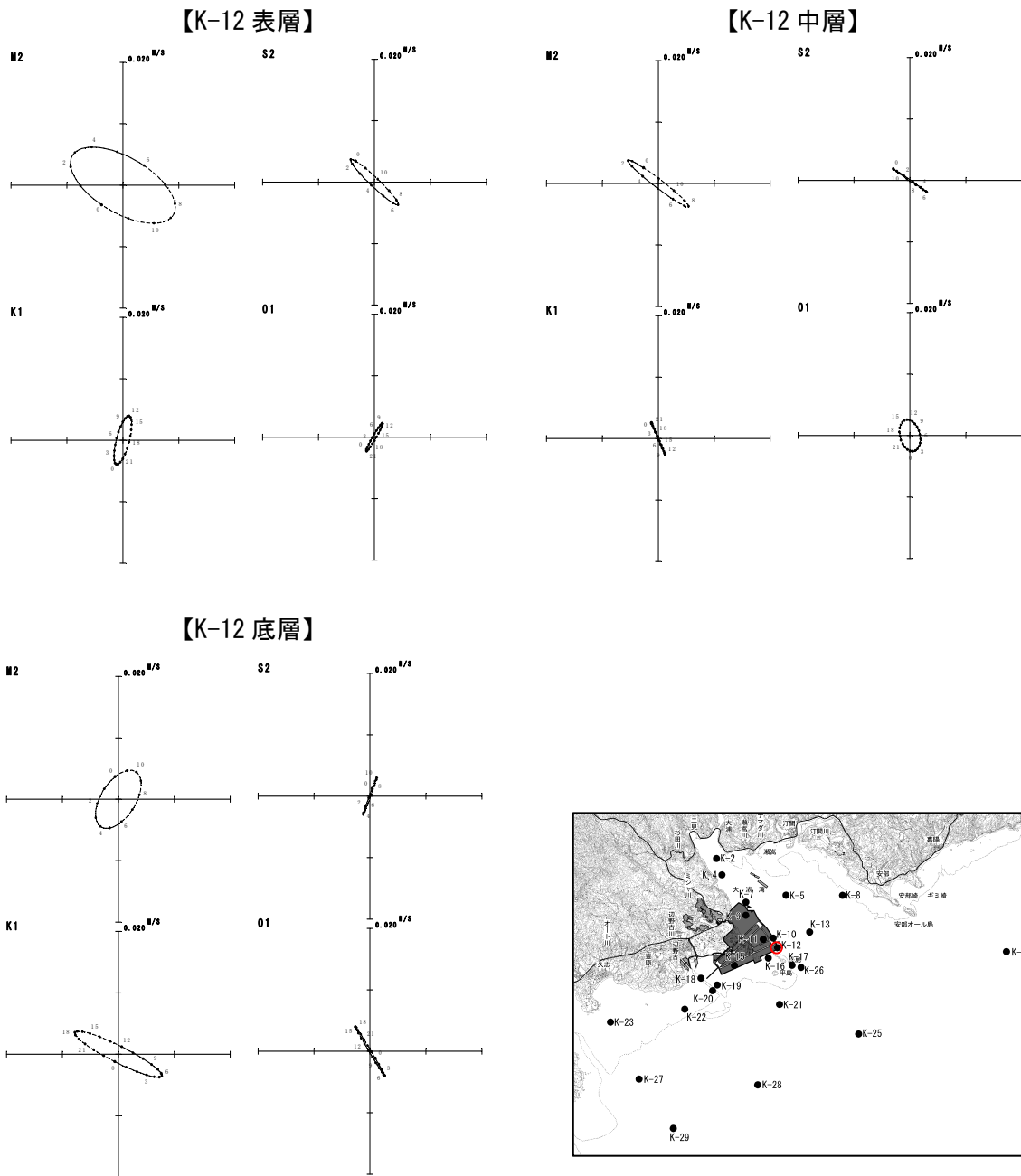


図-6.6.1.10(7) 超音波流速計による調査結果に基づく秋季の潮流楕円

注) 調査期間：平成 19 年 10 月 29 日～12 月 3 日

資料：「シュワブ(H18)環境現況調査(その2)報告書」平成 20 年 12 月、沖縄防衛局

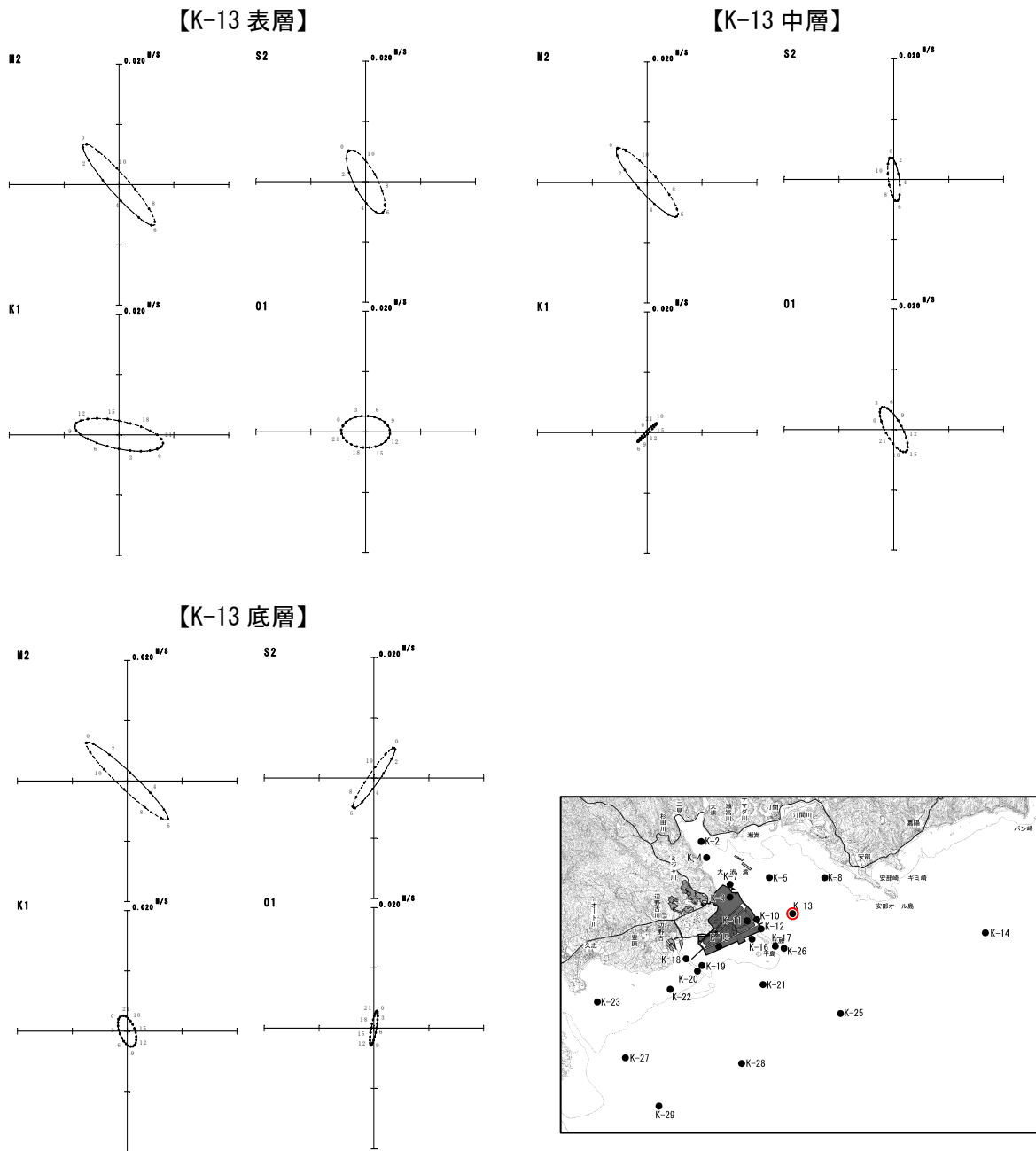


図-6.6.1.10(8) 超音波流速計による調査結果に基づく秋季の潮流楕円

注) 調査期間：平成19年10月29日～12月3日

資料：「シュワブ(H18)環境現況調査(その2)報告書」平成20年12月、沖縄防衛局

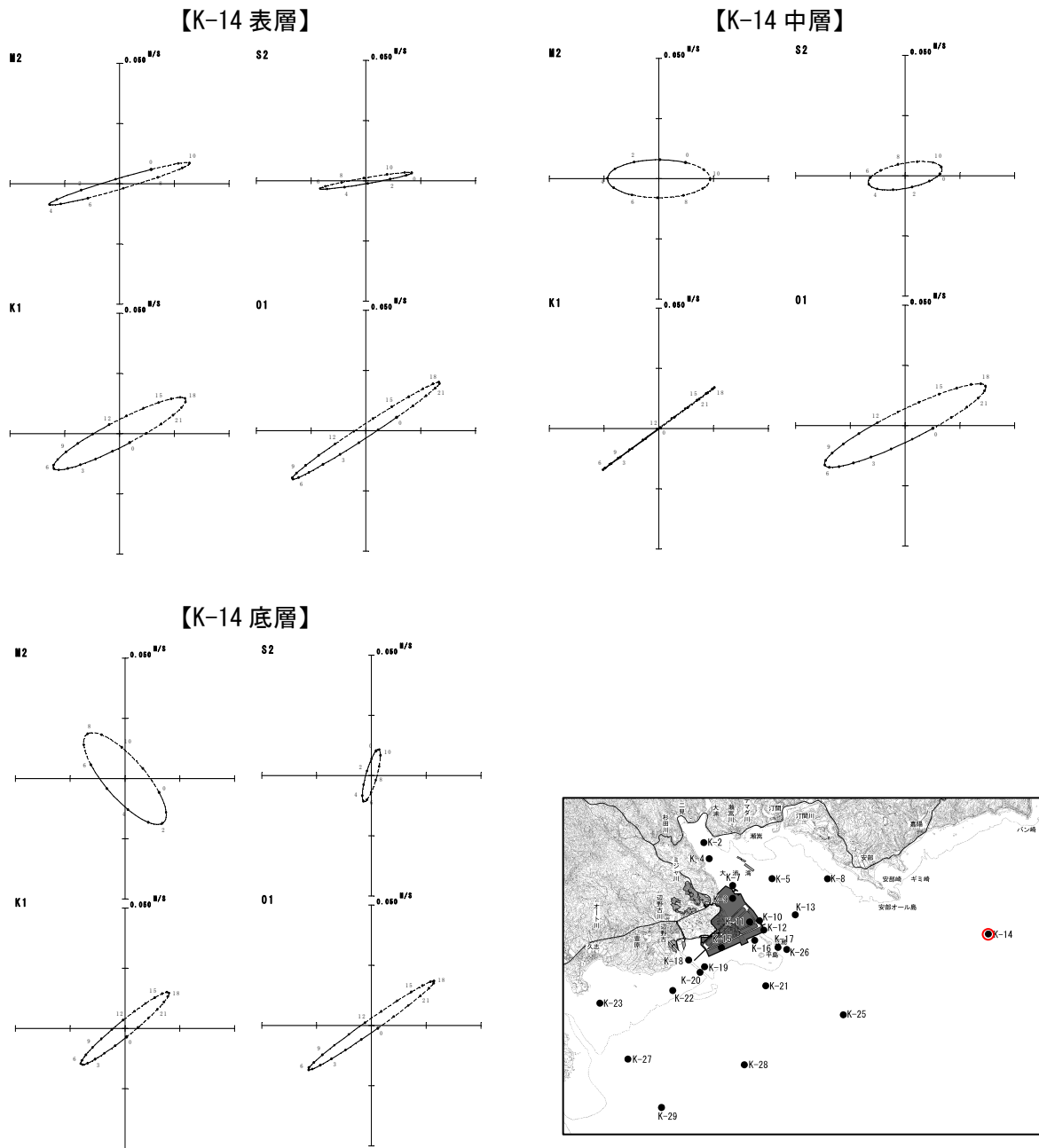


図-6.6.1.10(9) 超音波流速計による調査結果に基づく秋季の潮流楕円

注) 調査期間：平成 19 年 10 月 29 日～12 月 3 日

資料：「シュワブ(H18)環境現況調査(その2)報告書」平成 20 年 12 月、沖縄防衛局



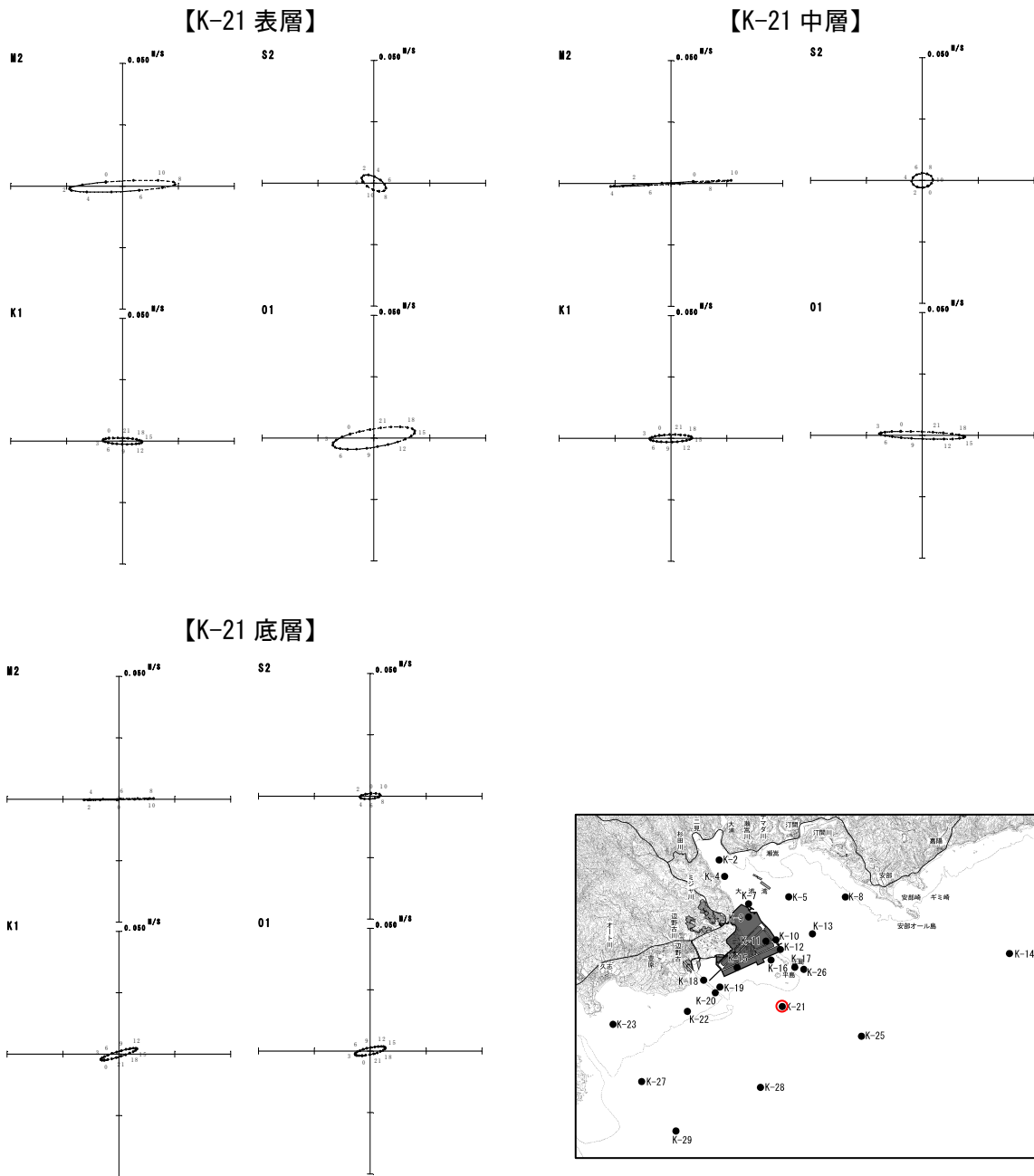


図-6. 6. 1. 10(10) 超音波流速計による調査結果に基づく秋季の潮流楕円

注) 調査期間：平成 19 年 10 月 29 日～12 月 3 日

資料：「シュワブ(H18)環境現況調査（その2）報告書」平成 20 年 12 月、沖縄防衛局

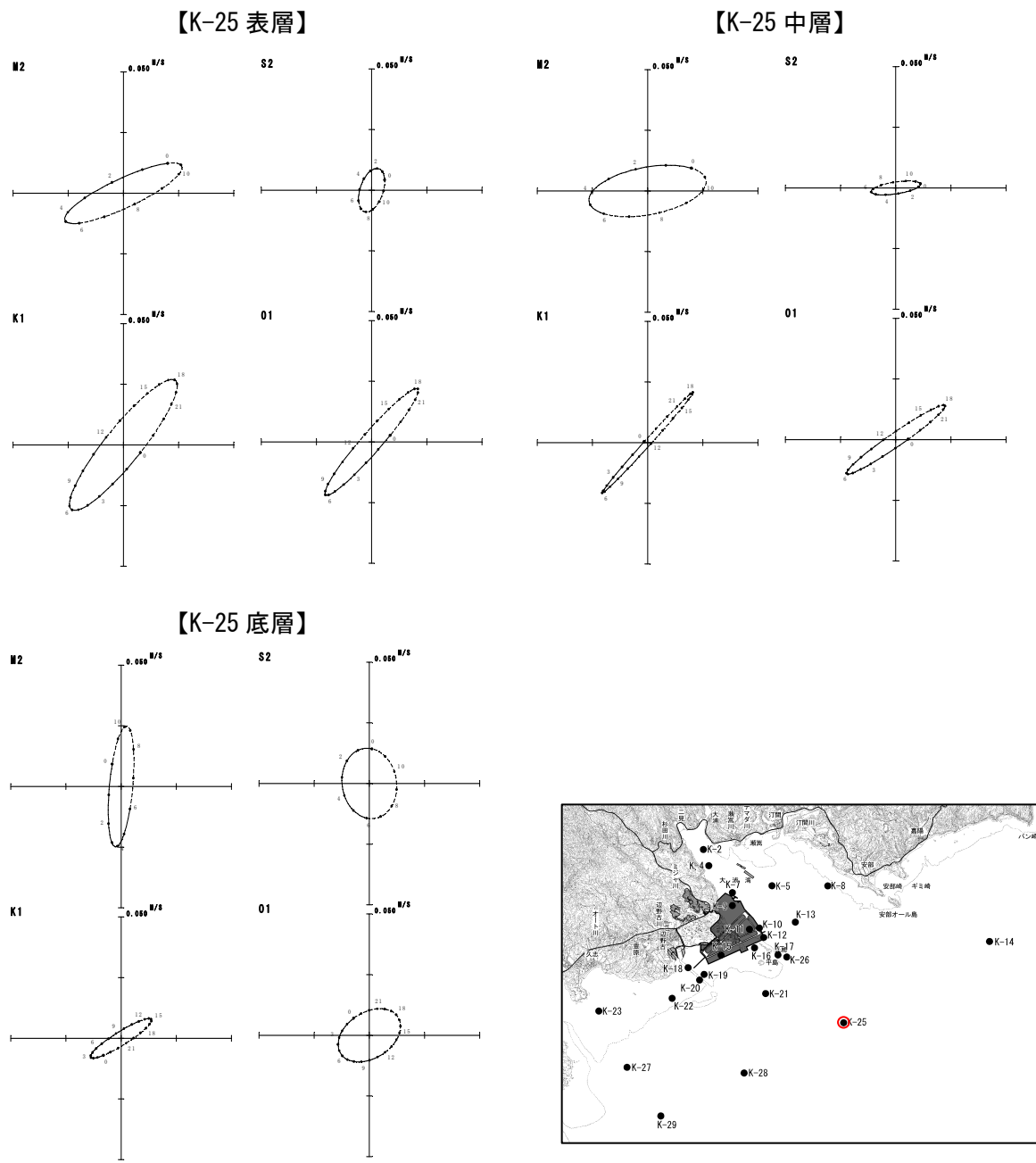


図-6.6.1.10(11) 超音波流速計による調査結果に基づく秋季の潮流楕円

注) 調査期間：平成 19 年 10 月 29 日～12 月 3 日

資料：「シュワブ(H18)環境現況調査(その2)報告書」平成 20 年 12 月、沖縄防衛局

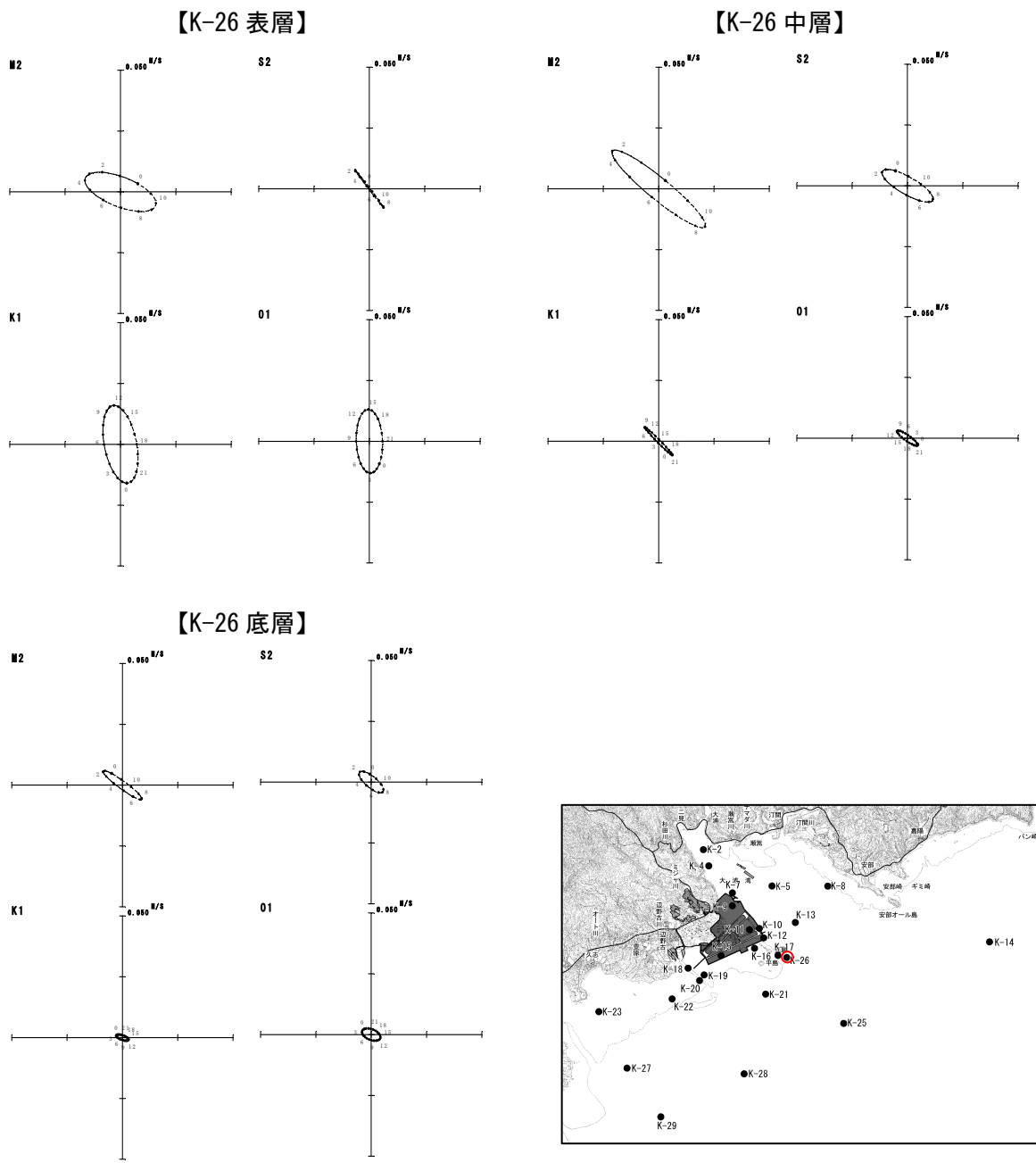


図-6.6.1.10(12) 超音波流速計による調査結果に基づく秋季の潮流楕円

注) 調査期間：平成 19 年 10 月 29 日～12 月 3 日

資料：「シュワブ(H18)環境現況調査（その2）報告書」平成 20 年 12 月、沖縄防衛局

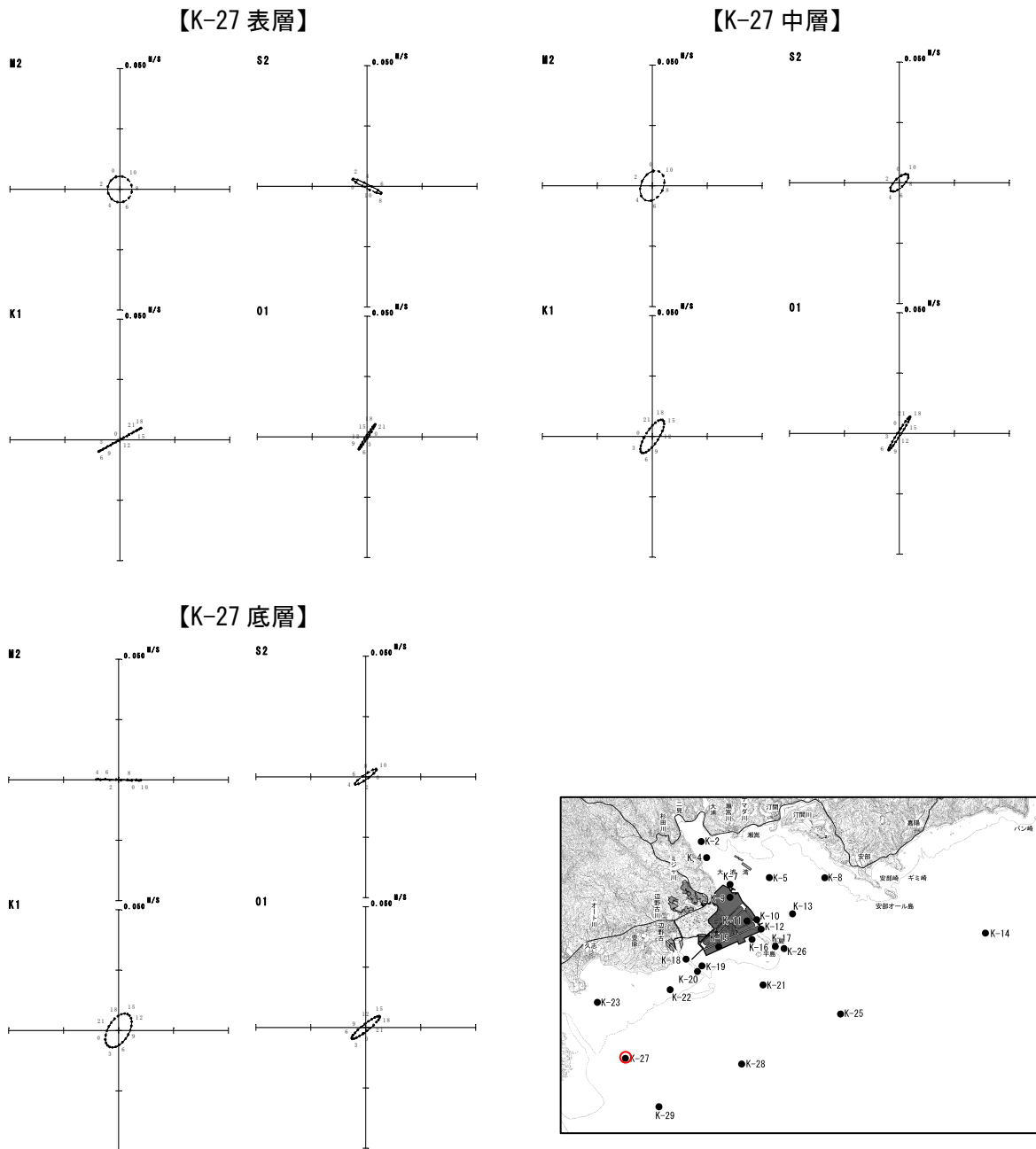


図-6.6.1.10(13) 超音波流速計による調査結果に基づく秋季の潮流楕円

注) 調査期間：平成 19 年 10 月 29 日～12 月 3 日

資料：「シュワブ(H18)環境現況調査（その2）報告書」平成 20 年 12 月、沖縄防衛局

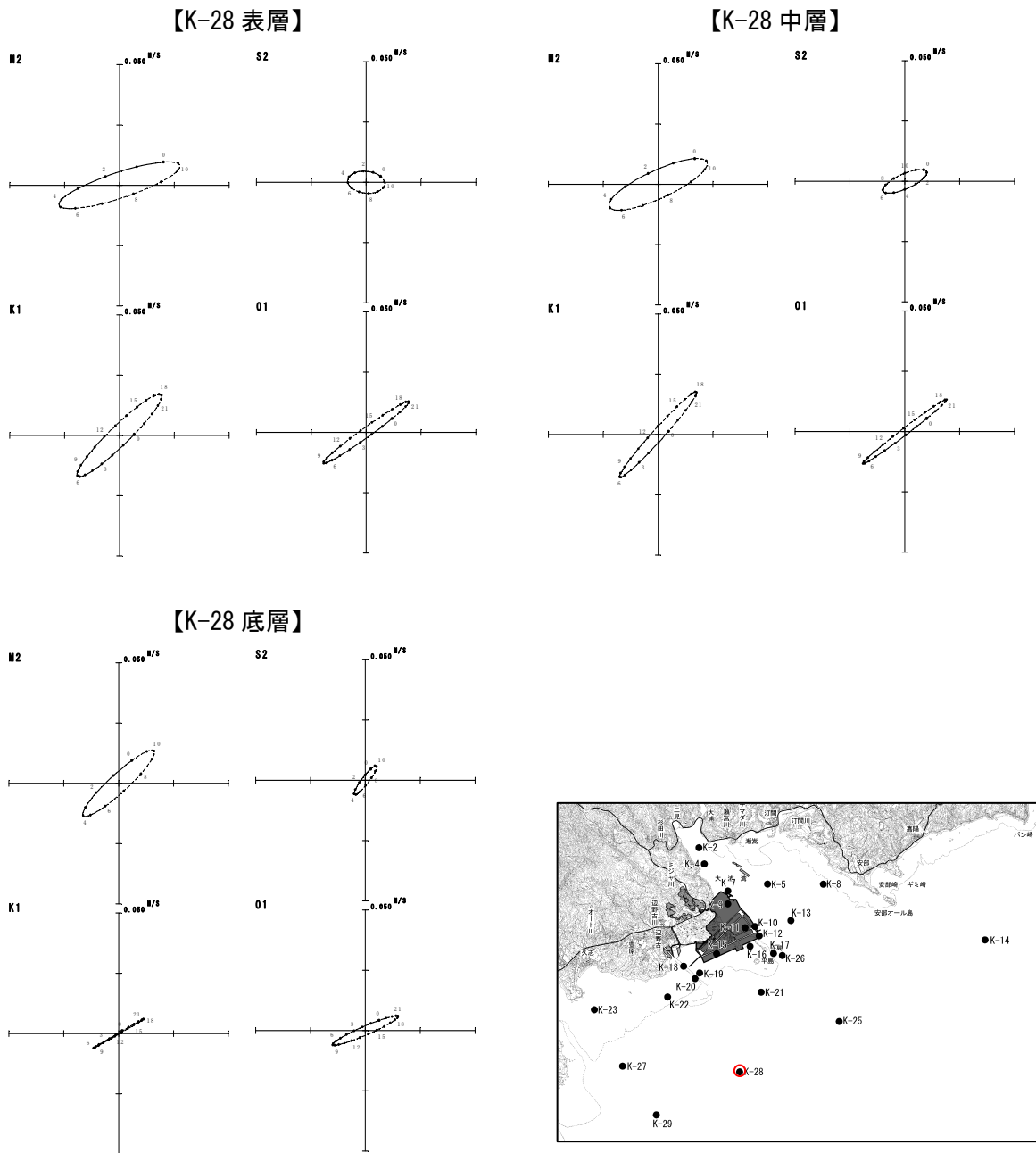


図-6.6.1.10(14) 超音波流速計による調査結果に基づく秋季の潮流楕円

注) 調査期間：平成19年10月29日～12月3日

資料：「シュワブ(H18)環境現況調査(その2)報告書」平成20年12月、沖縄防衛局

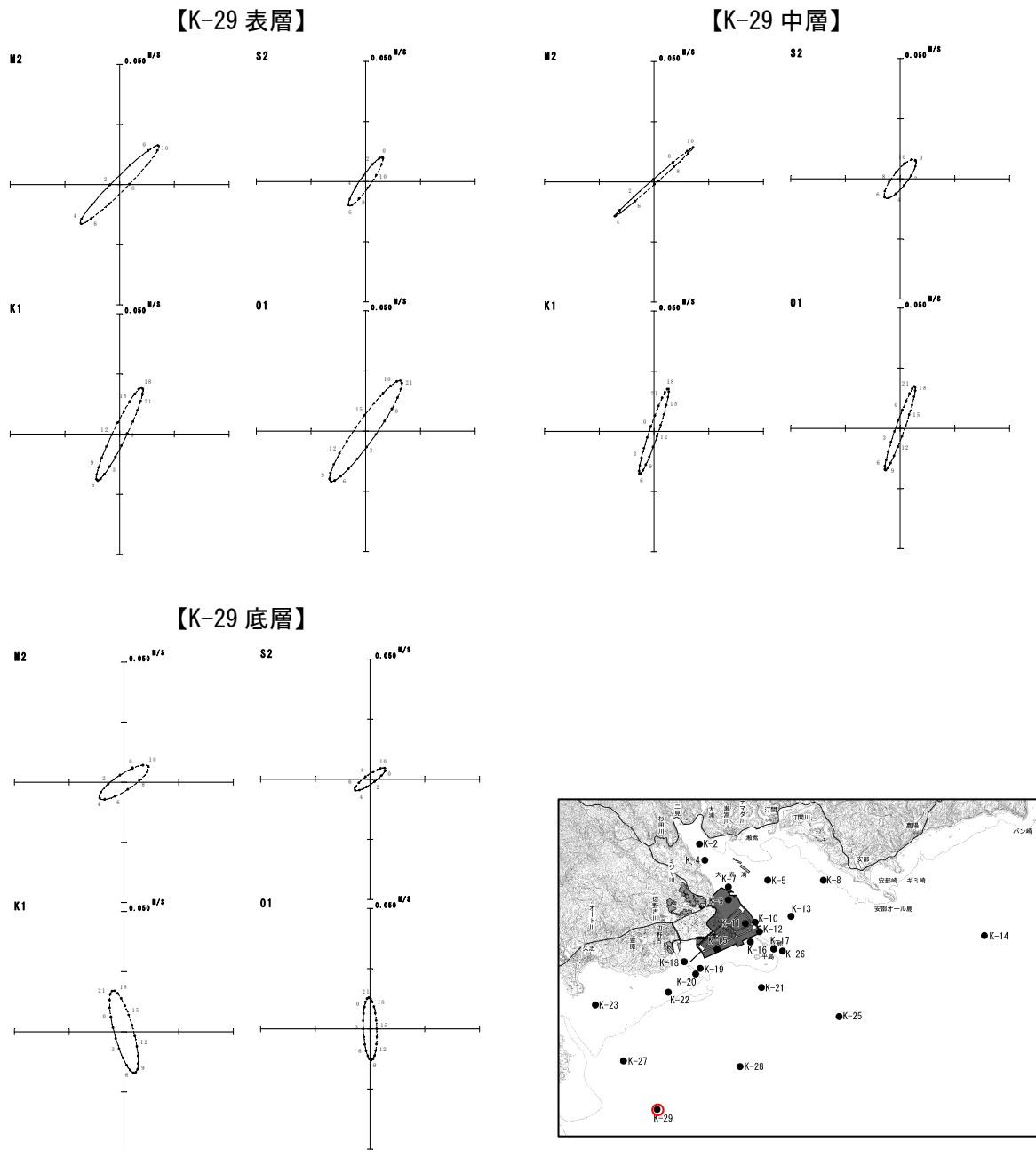


図-6.6.1.10(15) 超音波流速計による調査結果に基づく秋季の潮流楕円

注) 調査期間：平成19年10月29日～12月3日

資料：「シュワブ(H18)環境現況調査(その2)報告書」平成20年12月、沖縄防衛局

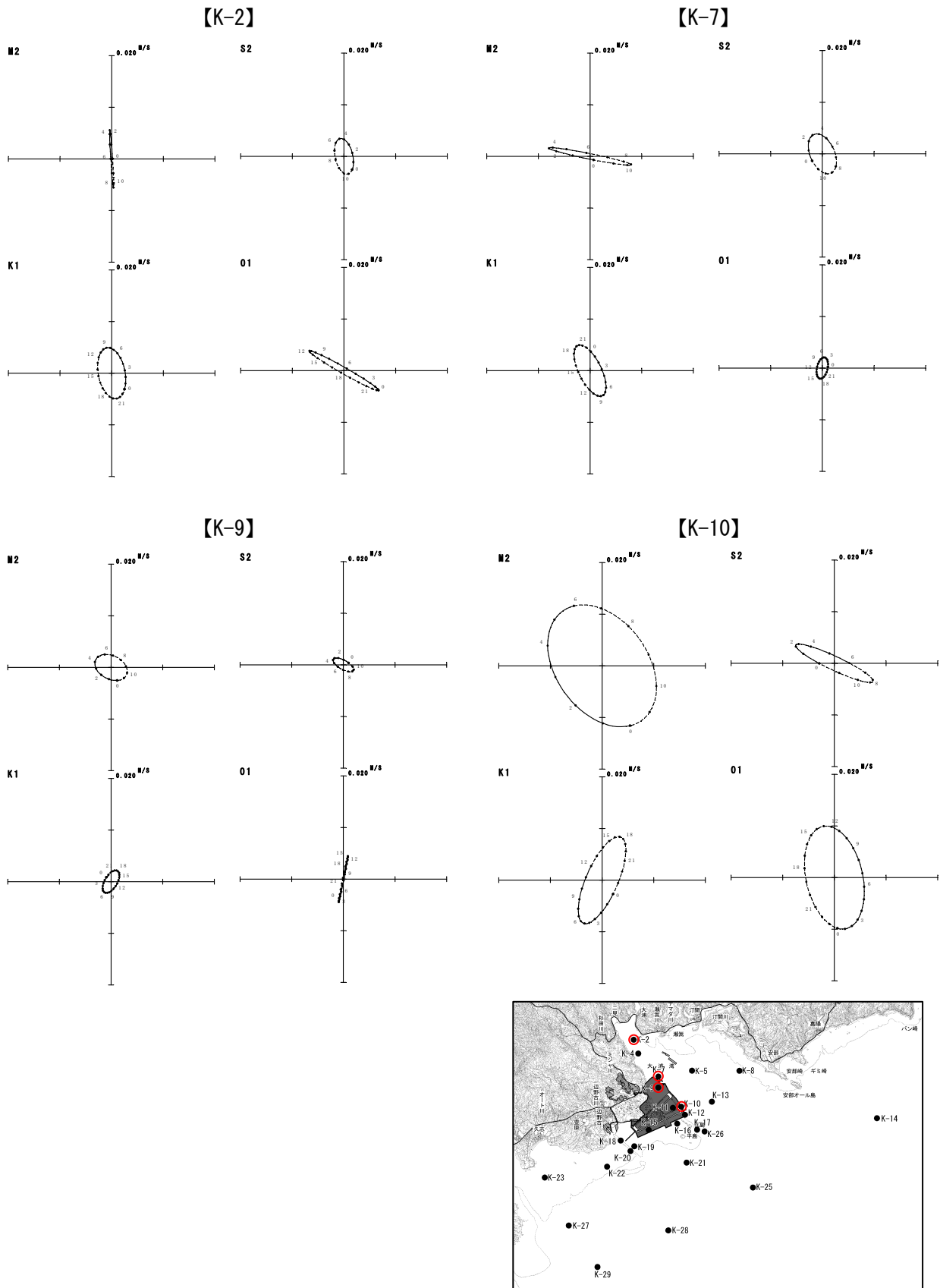


図-6. 6. 1. 11(1) 電磁流速計による調査結果に基づく冬季の潮流楕円

注) 調査期間：平成 20 年 1 月 26 日～2 月 29 日

資料：「シュワブ(H18)環境現況調査(その2)報告書」平成 20 年 12 月、沖縄防衛局

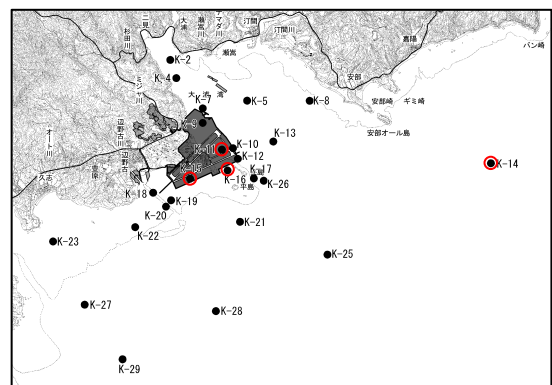
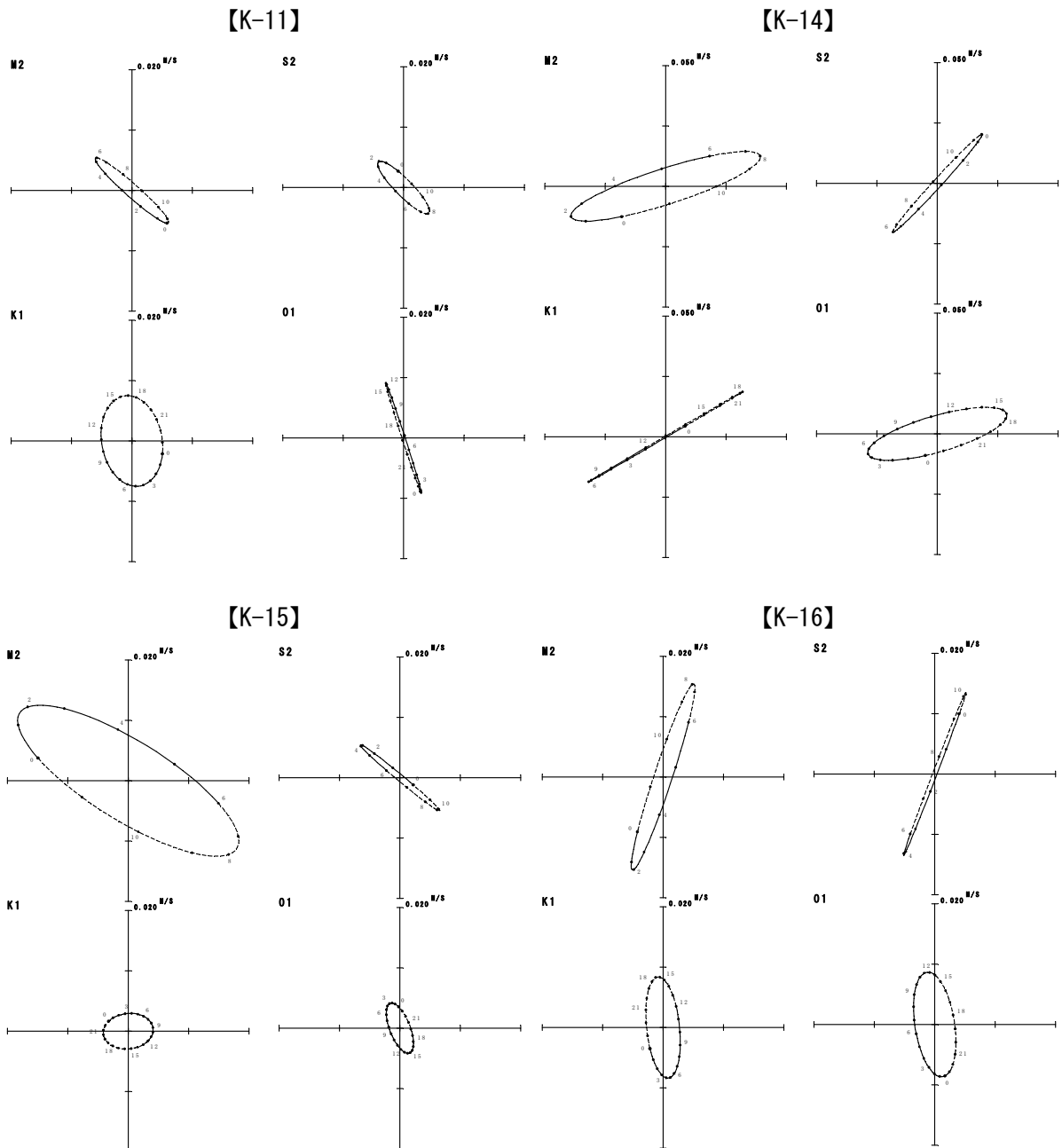


図-6. 6. 1. 11(2) 電磁流速計による調査結果に基づく冬季の潮流楕円

注) 調査期間：平成 20 年 1 月 26 日～2 月 29 日

資料：「シュワブ(H18)環境現況調査(その2)報告書」平成 20 年 12 月、沖縄防衛局



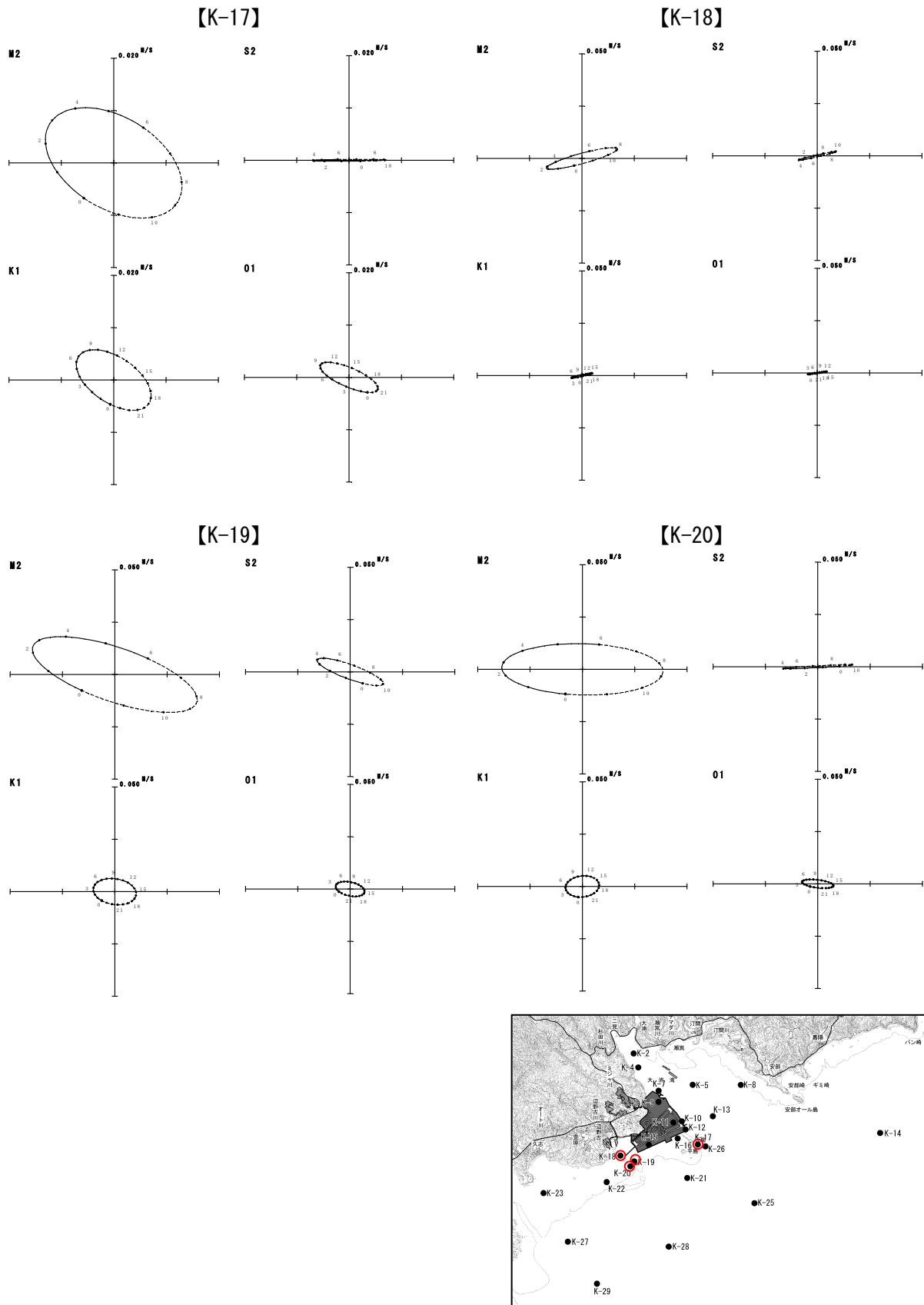


図-6. 6. 1. 11(3) 電磁流速計による調査結果に基づく冬季の潮流楕円

注) 調査期間：平成 20 年 1 月 26 日～2 月 29 日

資料：「シュワブ(H18)環境現況調査(その2)報告書」平成 20 年 12 月、沖縄防衛局

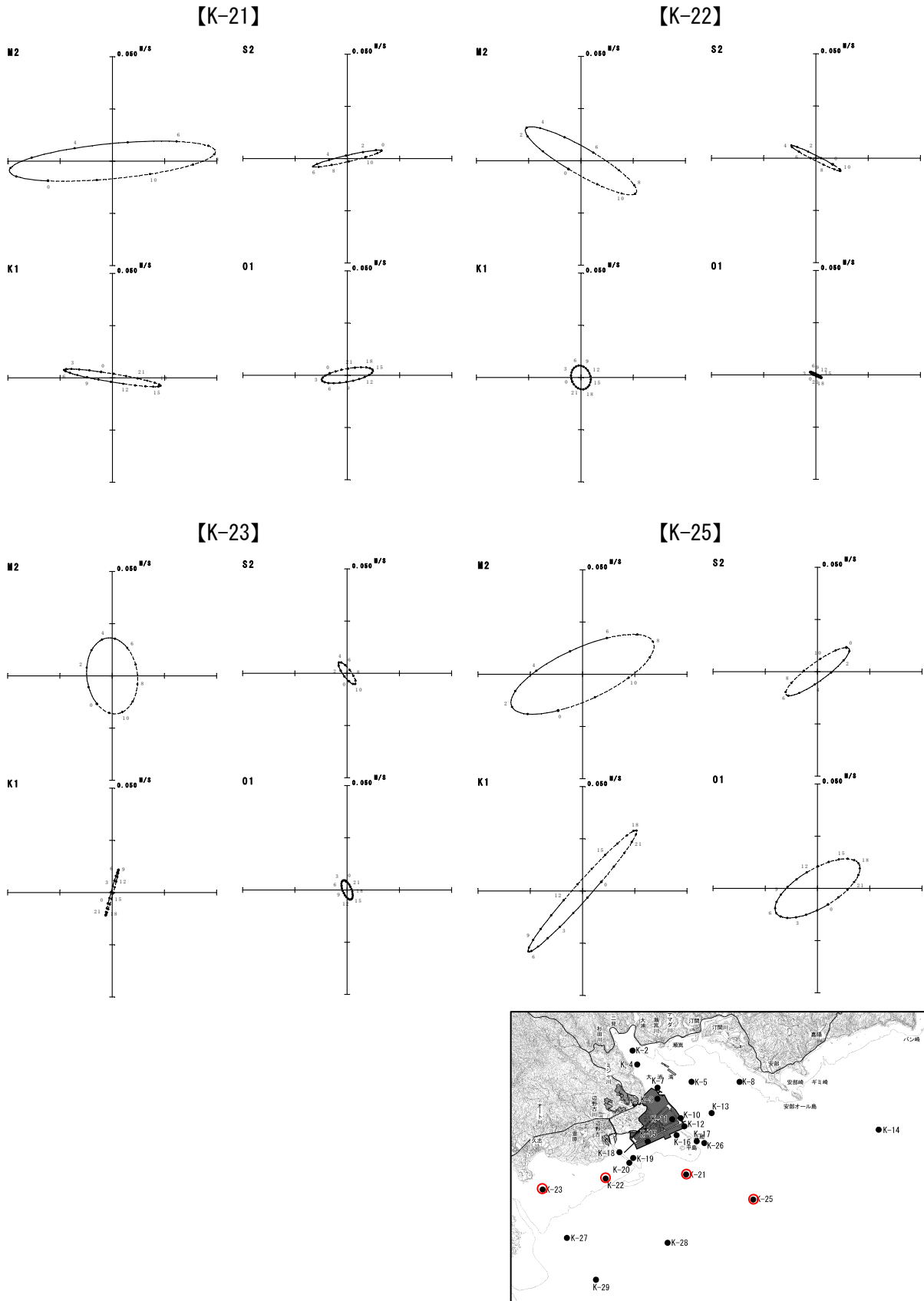


図-6. 6. 1. 11(4) 電磁流速計による調査結果に基づく冬季の潮流楕円

注) 調査期間：平成 20 年 1 月 26 日～2 月 29 日

資料：「シュワブ(H18)環境現況調査(その2) 報告書」平成 20 年 12 月、沖縄防衛局

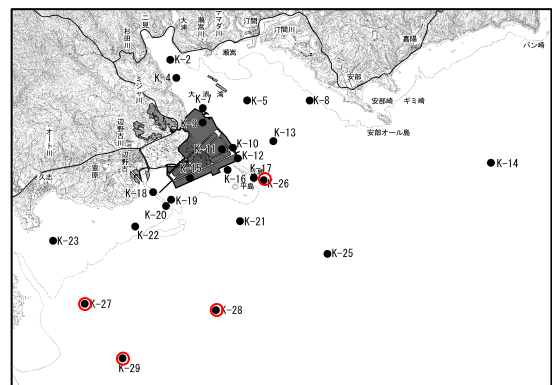
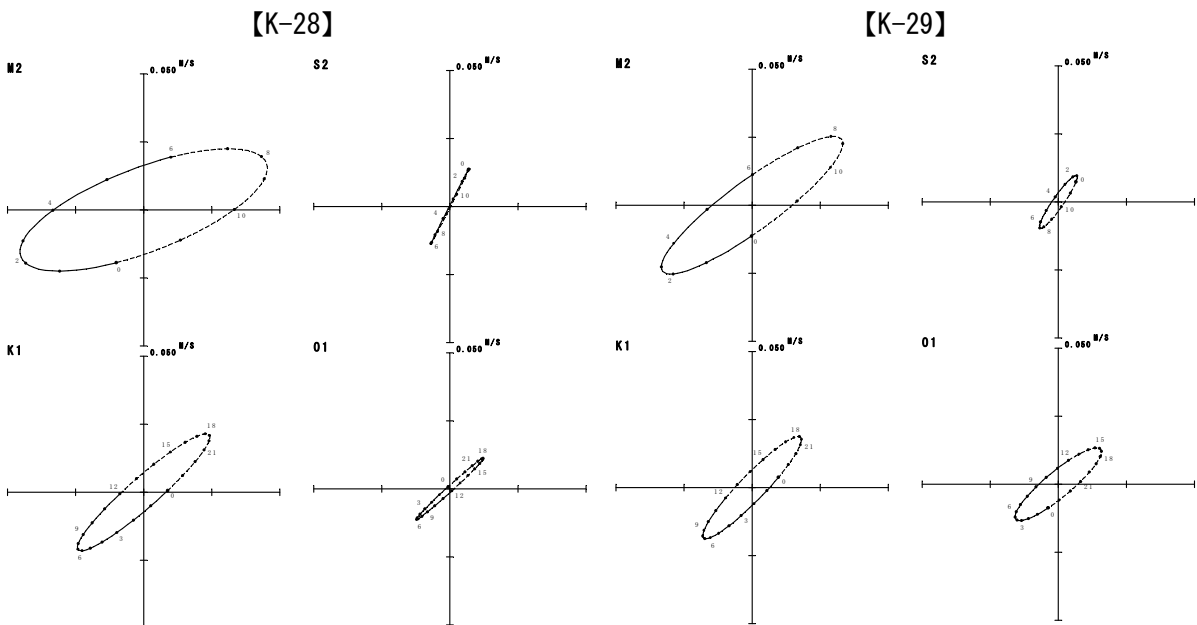
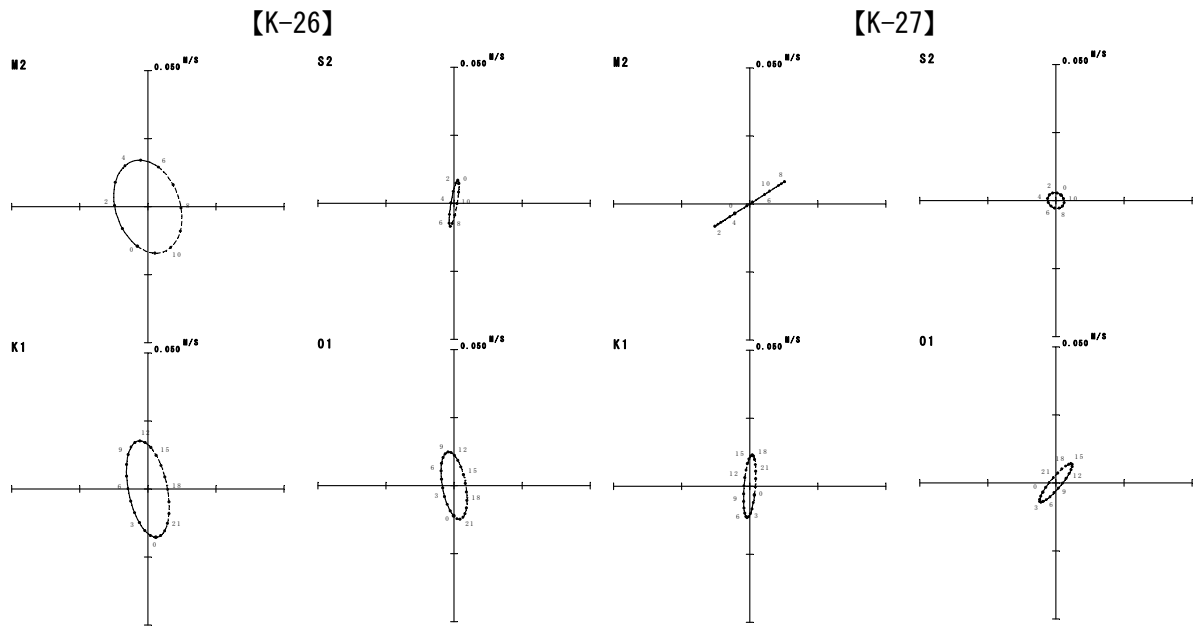


図-6. 6. 1. 11(5) 電磁流速計による調査結果に基づく冬季の潮流楕円

注) 調査期間：平成 20 年 1 月 26 日～2 月 29 日

資料：「シュワブ(H18)環境現況調査(その2)報告書」平成 20 年 12 月、沖縄防衛局

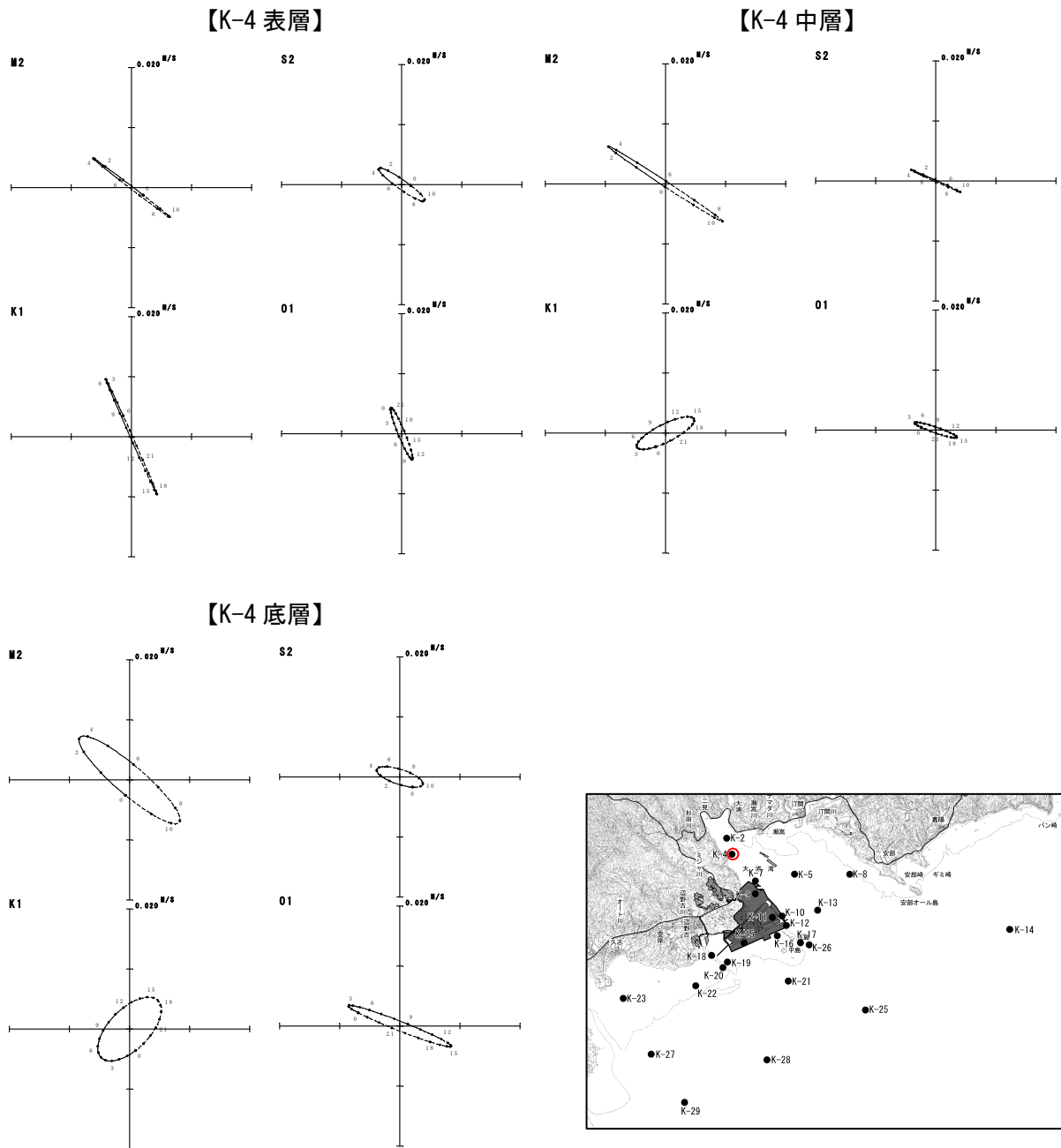


図-6.6.1.12(1) 超音波流速計による調査結果に基づく冬季の潮流楕円

注) 調査期間：平成20年1月26日～2月29日

資料：「シュワブ(H18)環境現況調査(その2)報告書」平成20年12月、沖縄防衛局

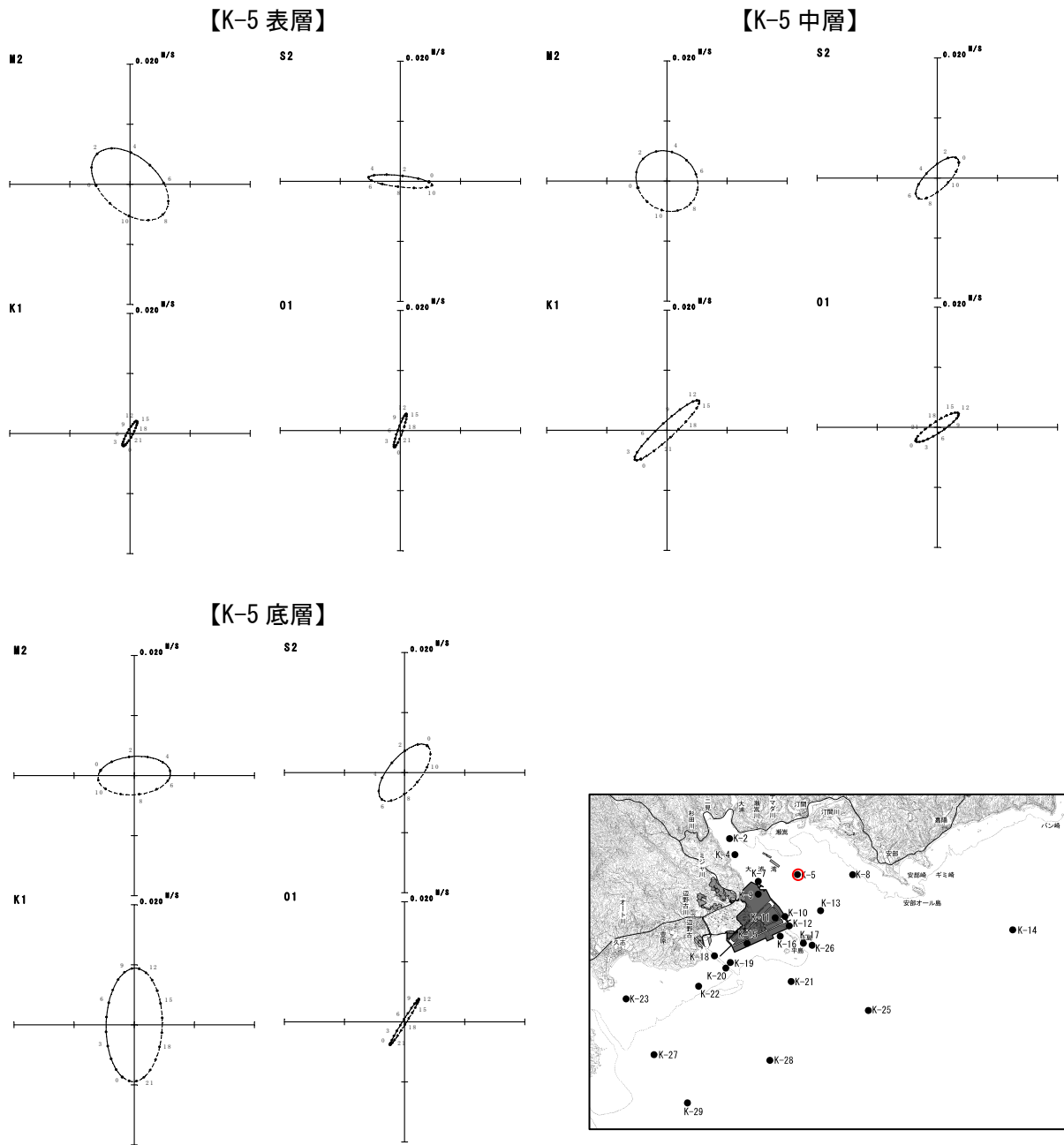


図-6.6.1.12(2) 超音波流速計による調査結果に基づく冬季の潮流楕円

注) 調査期間：平成20年1月26日～2月29日

資料：「シュワブ(H18)環境現況調査(その2)報告書」平成20年12月、沖縄防衛局

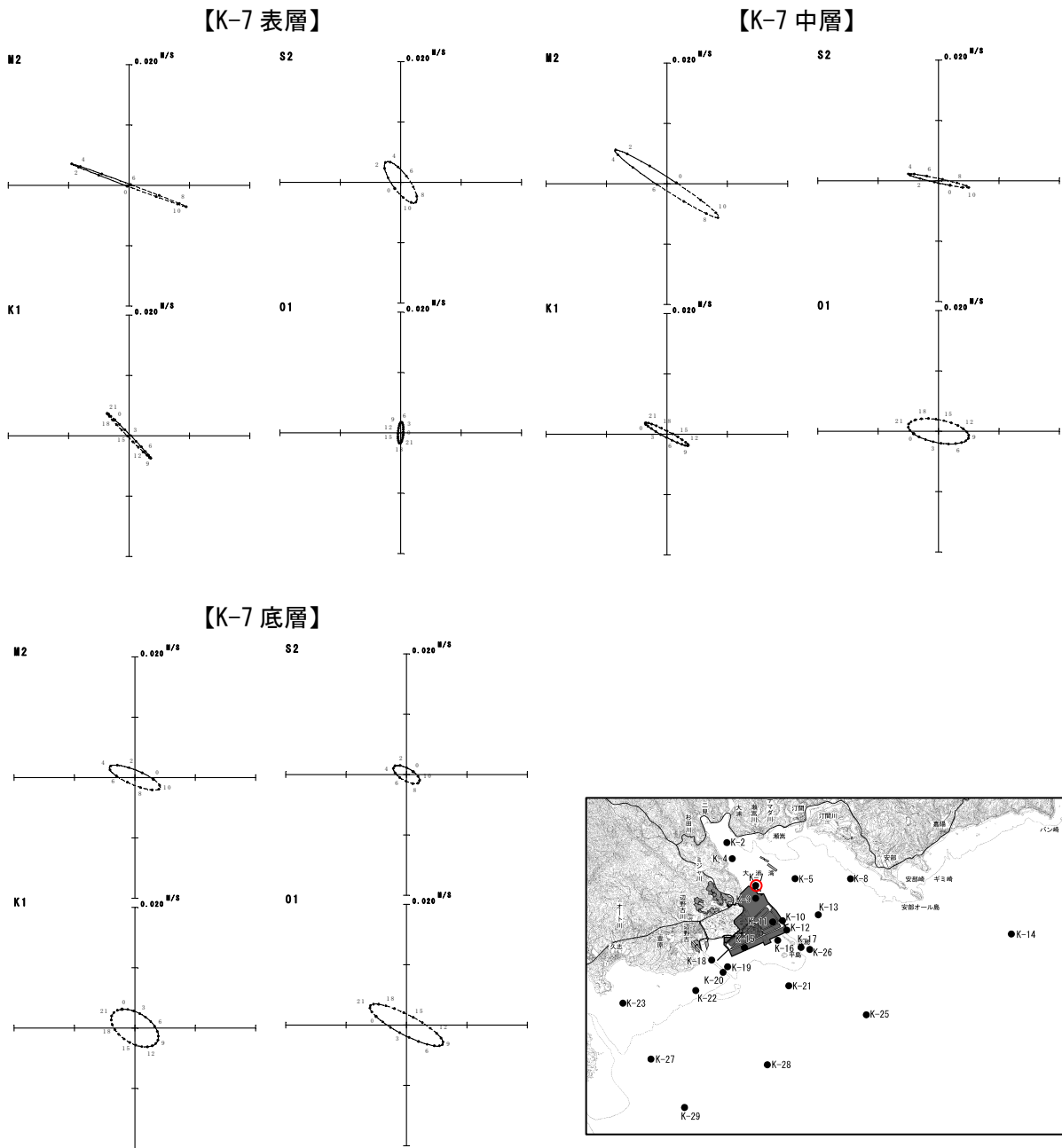


図-6.6.1.12(3) 超音波流速計による調査結果に基づく冬季の潮流楕円

注) 調査期間：平成20年1月26日～2月29日

資料：「シュワブ(H18)環境現況調査(その2)報告書」平成20年12月、沖縄防衛局

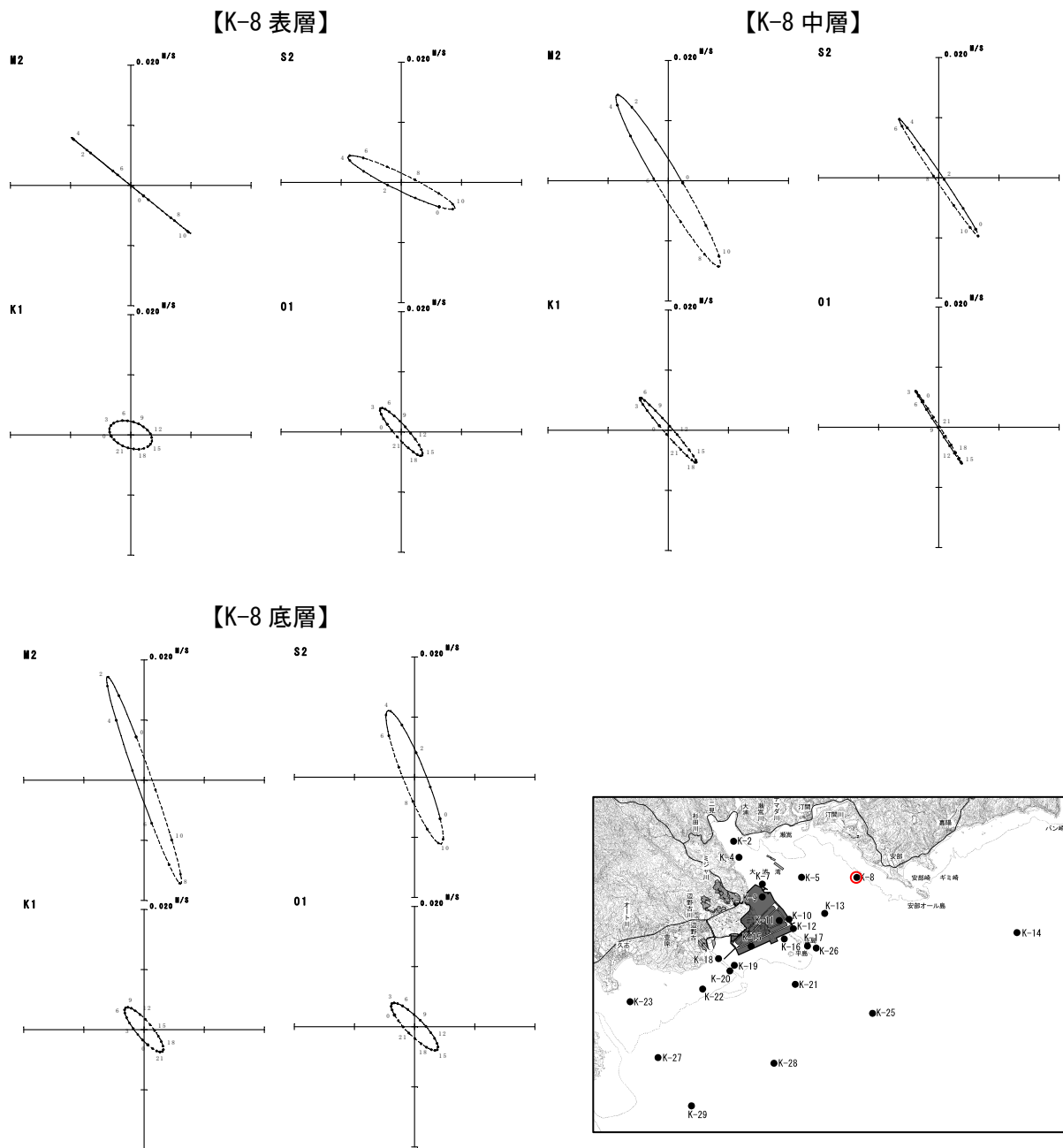


図-6.6.1.12(4) 超音波流速計による調査結果に基づく冬季の潮流楕円

注) 調査期間：平成20年1月26日～2月29日

資料：「シュワブ(H18)環境現況調査(その2)報告書」平成20年12月、沖縄防衛局

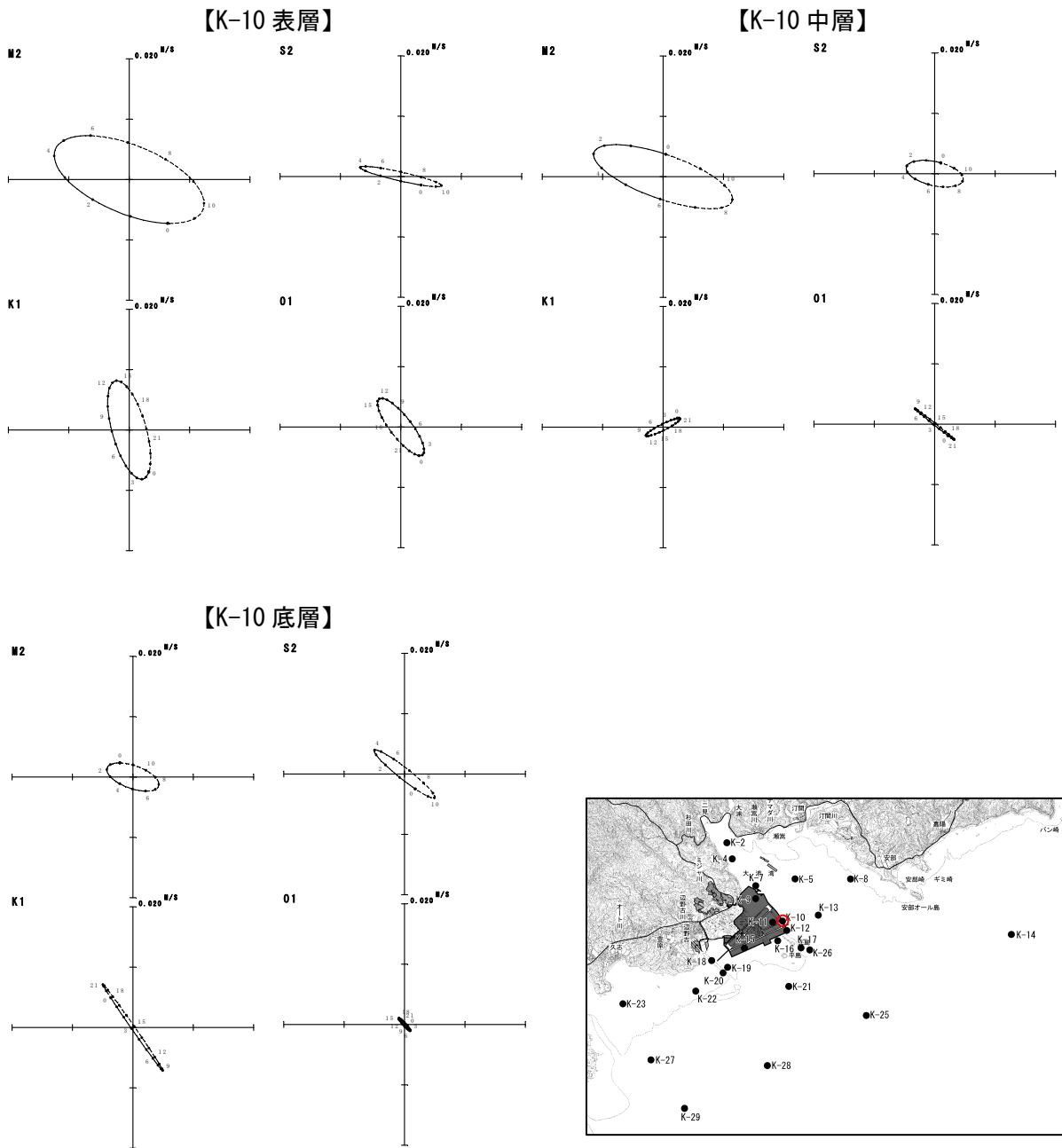


図-6.6.1.12(5) 超音波流速計による調査結果に基づく冬季の潮流楕円

注) 調査期間：平成20年1月26日～2月29日

資料：「シュワブ(H18)環境現況調査(その2)報告書」平成20年12月、沖縄防衛局



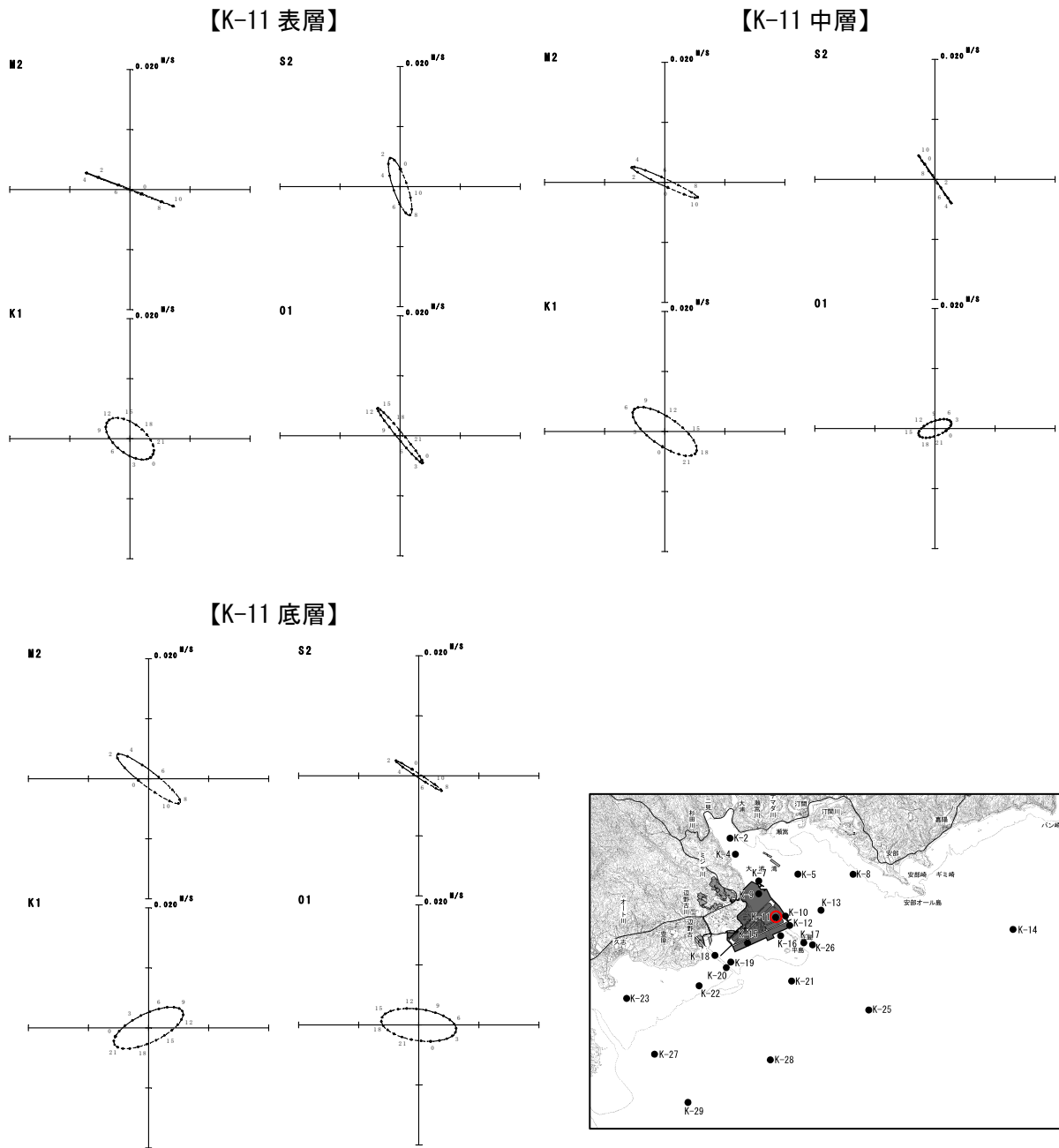


図-6.6.1.12(6) 超音波流速計による調査結果に基づく冬季の潮流楕円

注) 調査期間：平成20年1月26日～2月29日

資料：「シュワブ(H18)環境現況調査(その2)報告書」平成20年12月、沖縄防衛局

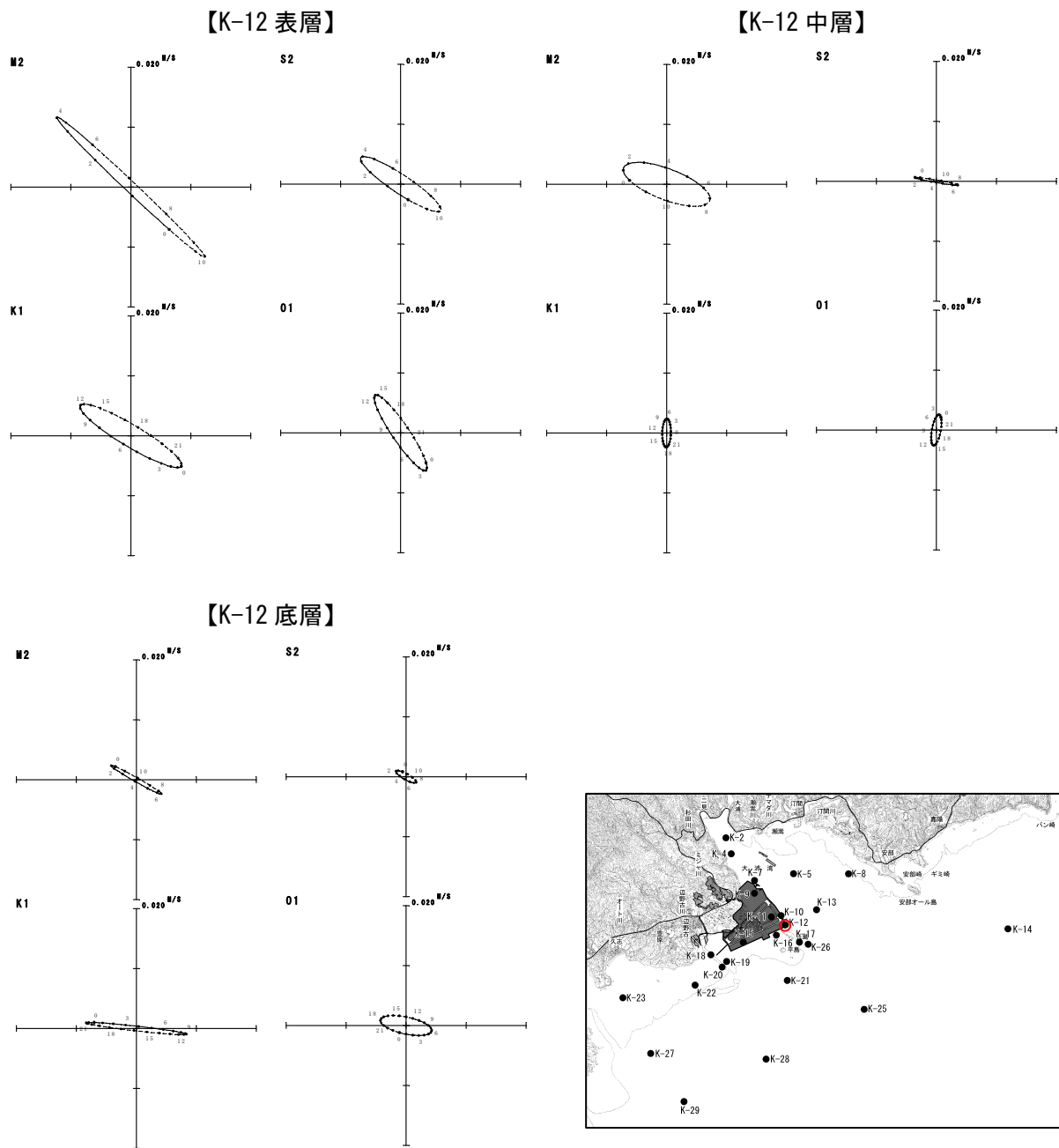


図-6.6.1.12(7) 超音波流速計による調査結果に基づく冬季の潮流楕円

注) 調査期間：平成20年1月26日～2月29日

資料：「シュワブ(H18)環境現況調査(その2)報告書」平成20年12月、沖縄防衛局

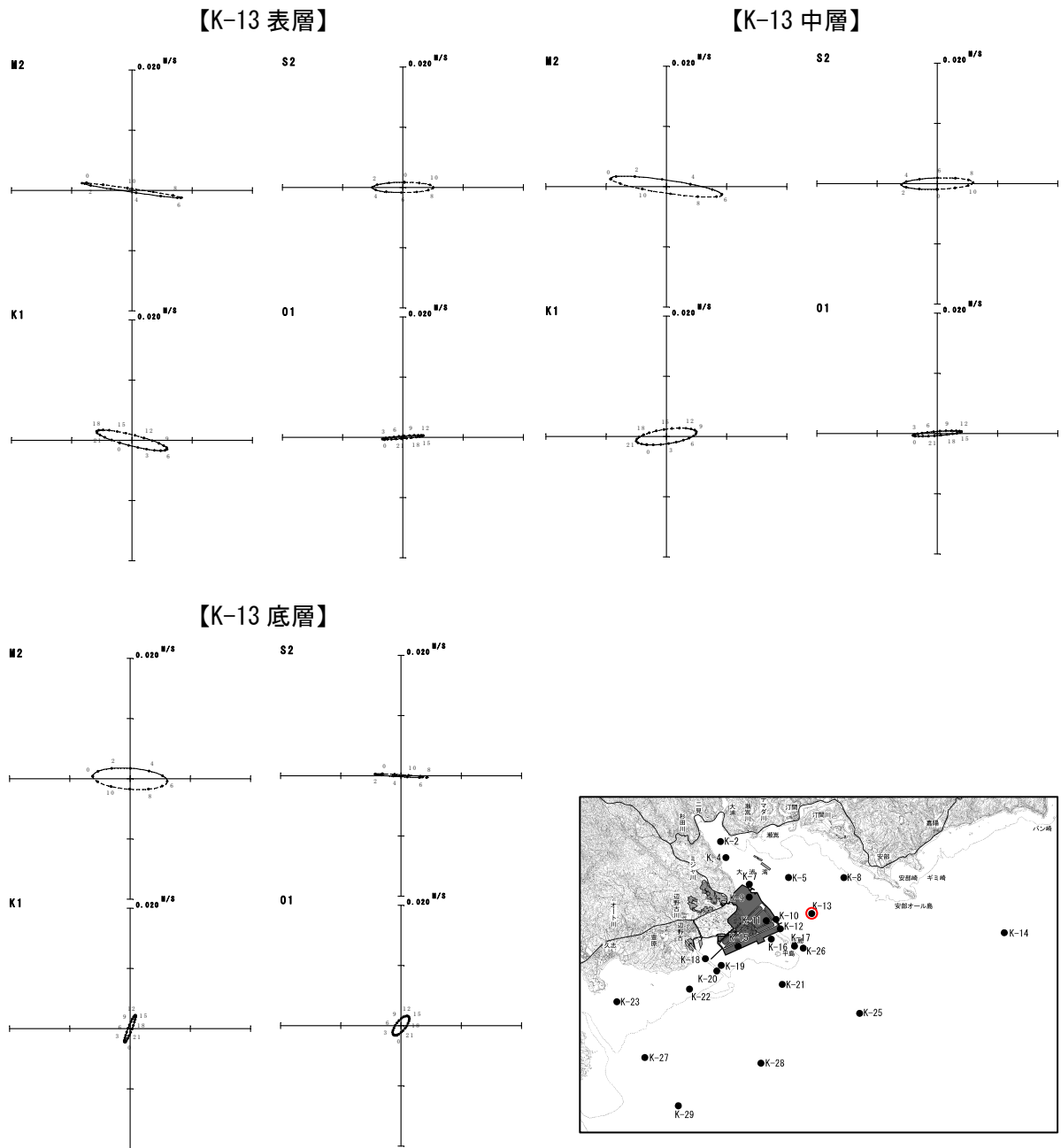


図-6.6.1.12(8) 超音波流速計による調査結果に基づく冬季の潮流楕円

注) 調査期間：平成 20 年 1 月 26 日～2 月 29 日

資料：「シュワブ(H18)環境現況調査(その2)報告書」平成 20 年 12 月、沖縄防衛局

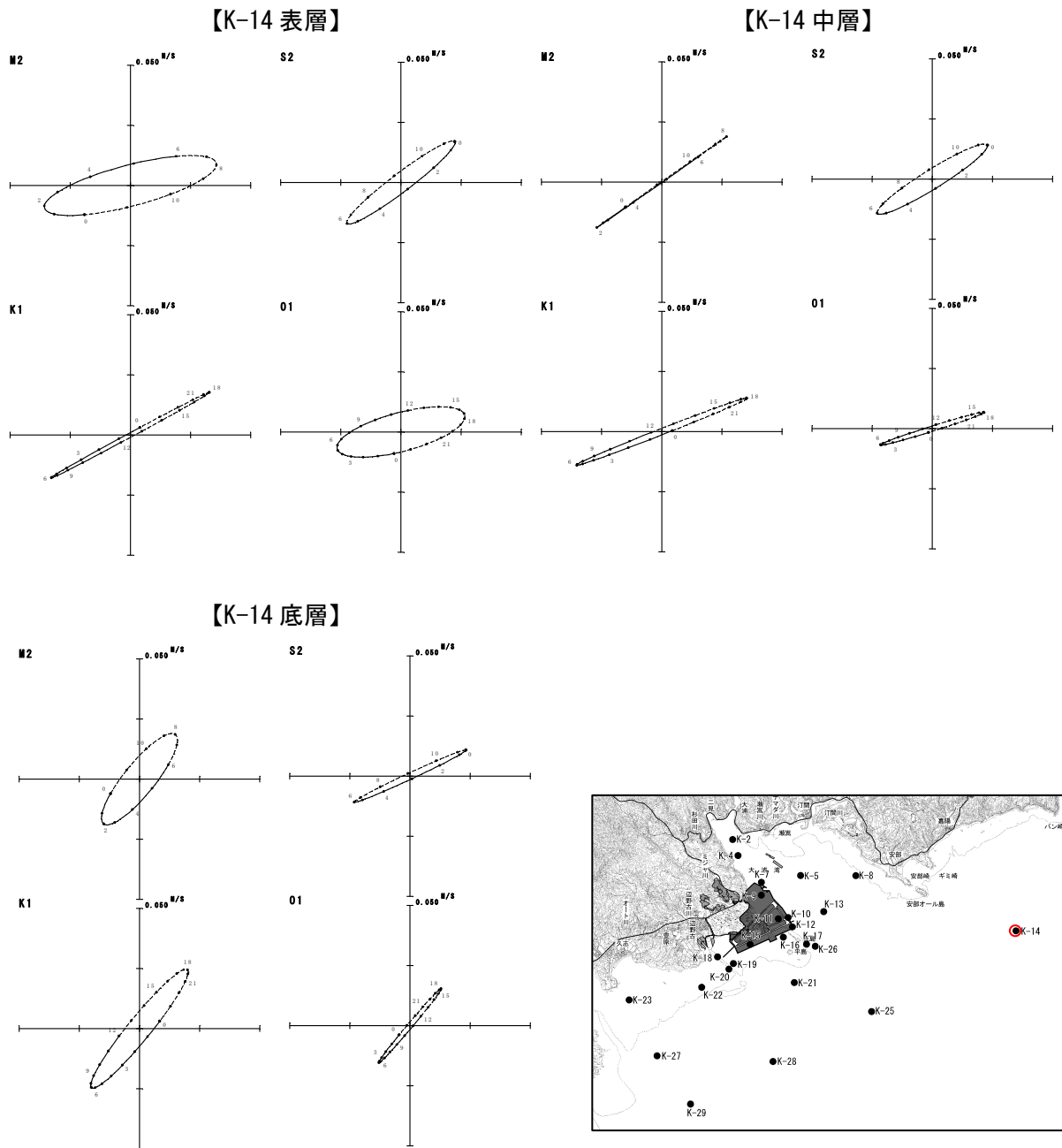


図-6.6.1.12(9) 超音波流速計による調査結果に基づく冬季の潮流楕円

注) 調査期間：平成20年1月26日～2月29日

資料：「シュワブ(H18)環境現況調査(その2)報告書」平成20年12月、沖縄防衛局

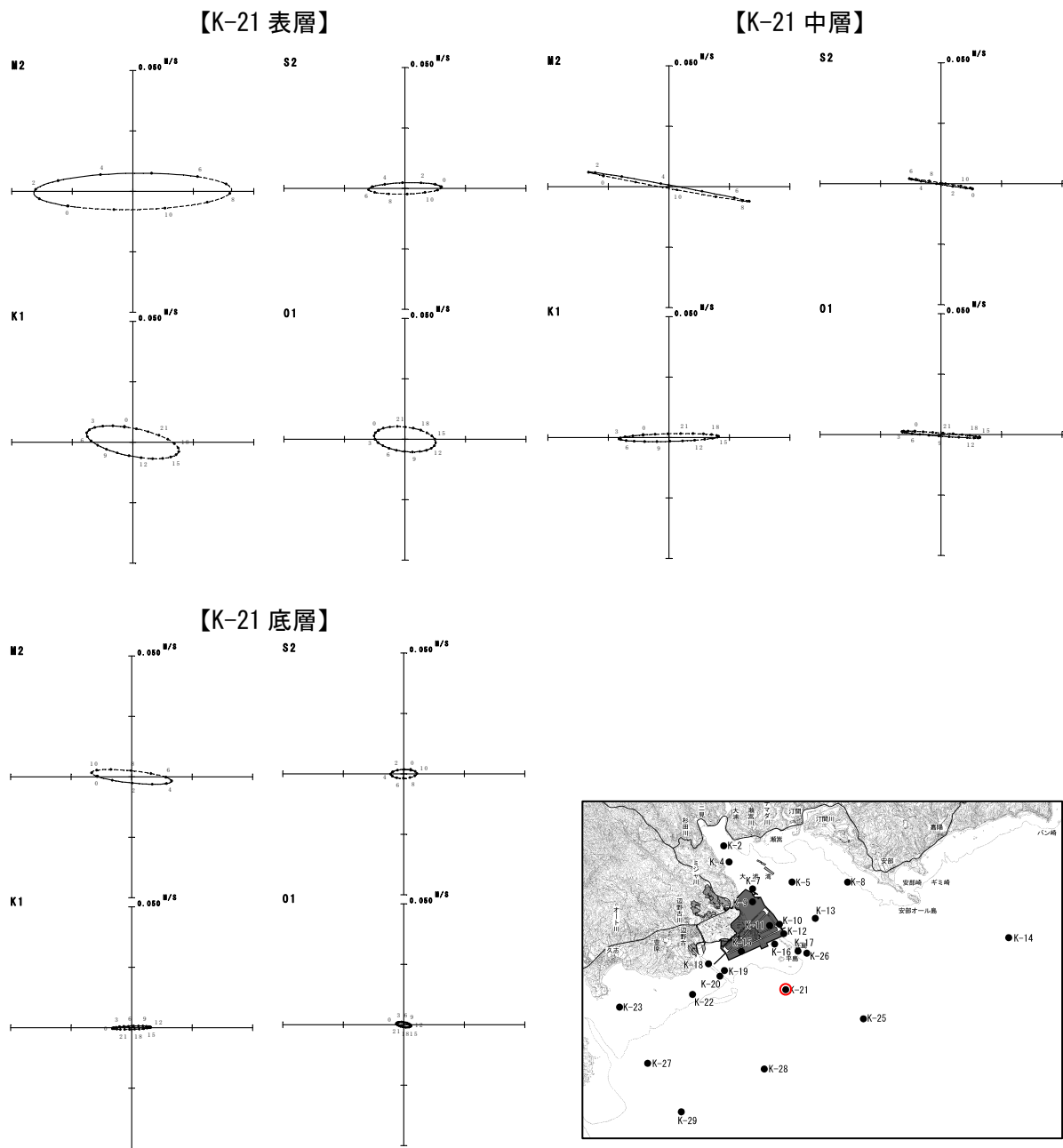


図-6.6.1.12(10) 超音波流速計による調査結果に基づく冬季の潮流楕円

注) 調査期間：平成20年1月26日～2月29日

資料：「シュワブ(H18)環境現況調査(その2)報告書」平成20年12月、沖縄防衛局

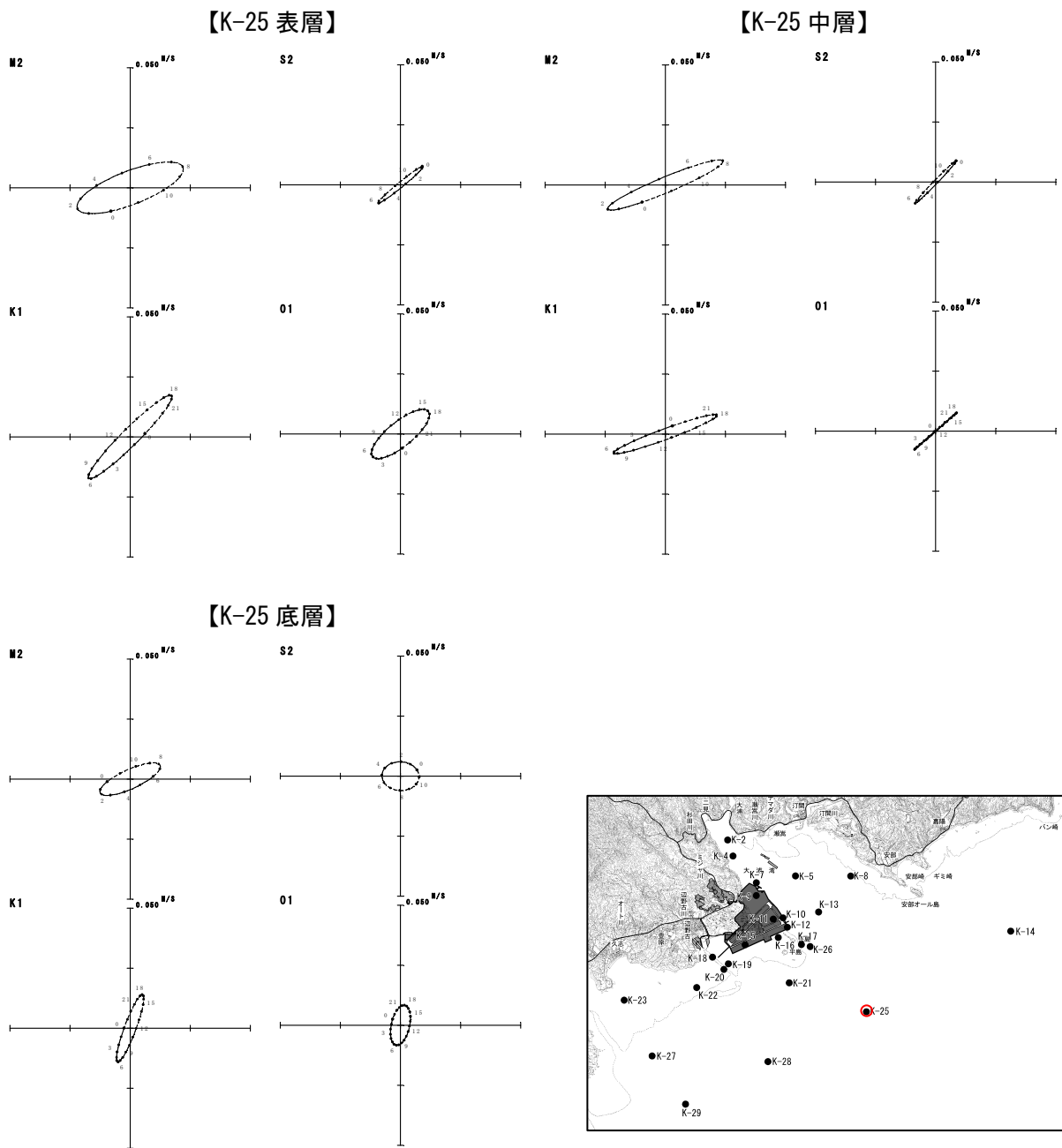


図-6.6.1.12(11) 超音波流速計による調査結果に基づく冬季の潮流楕円

注) 調査期間：平成 20 年 1 月 26 日～2 月 29 日

資料：「シュワブ(H18)環境現況調査(その2)報告書」平成 20 年 12 月、沖縄防衛局

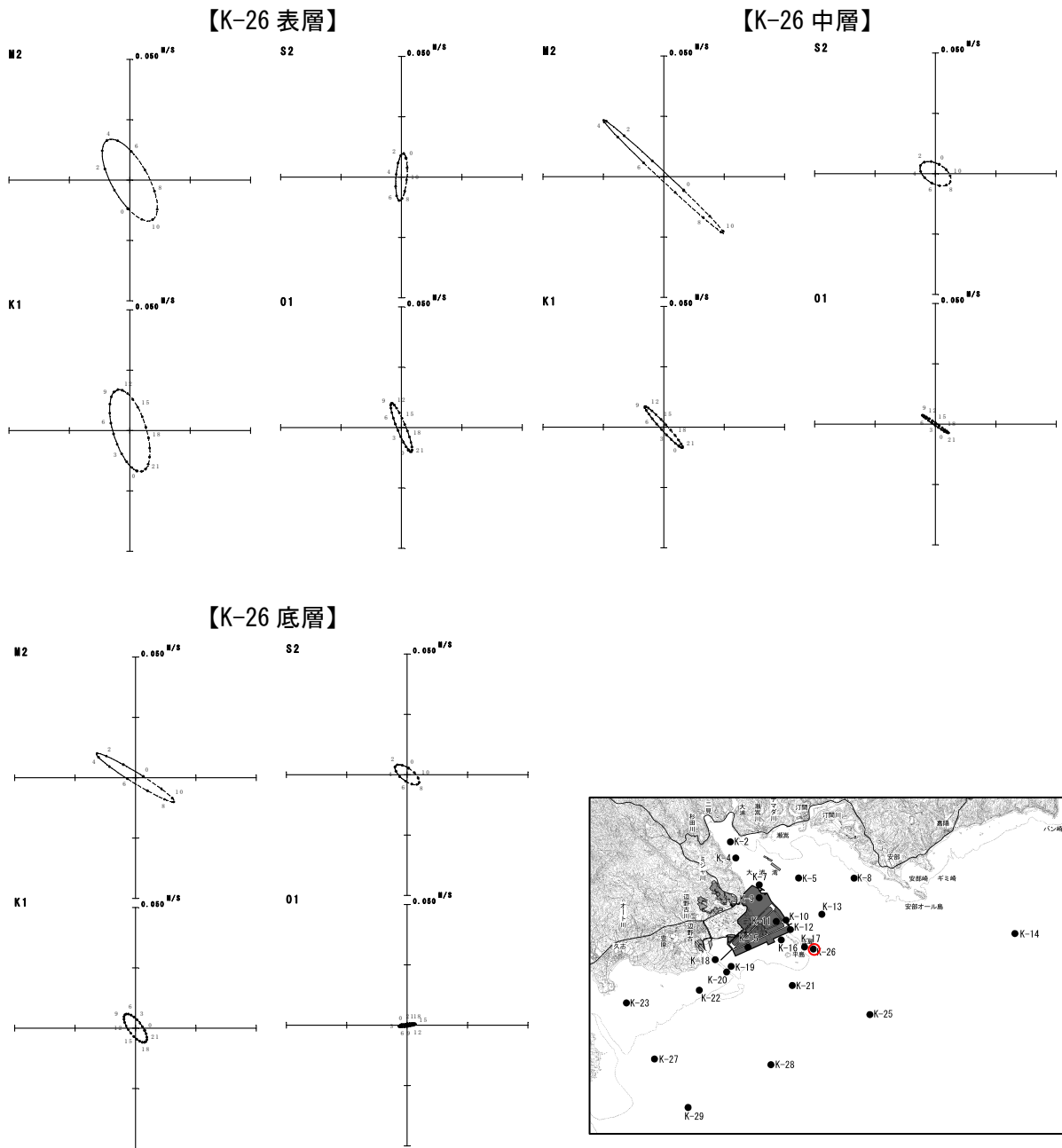


図-6.6.1.12(12) 超音波流速計による調査結果に基づく冬季の潮流楕円

注) 調査期間：平成20年1月26日～2月29日

資料：「シュワブ(H18)環境現況調査(その2)報告書」平成20年12月、沖縄防衛局

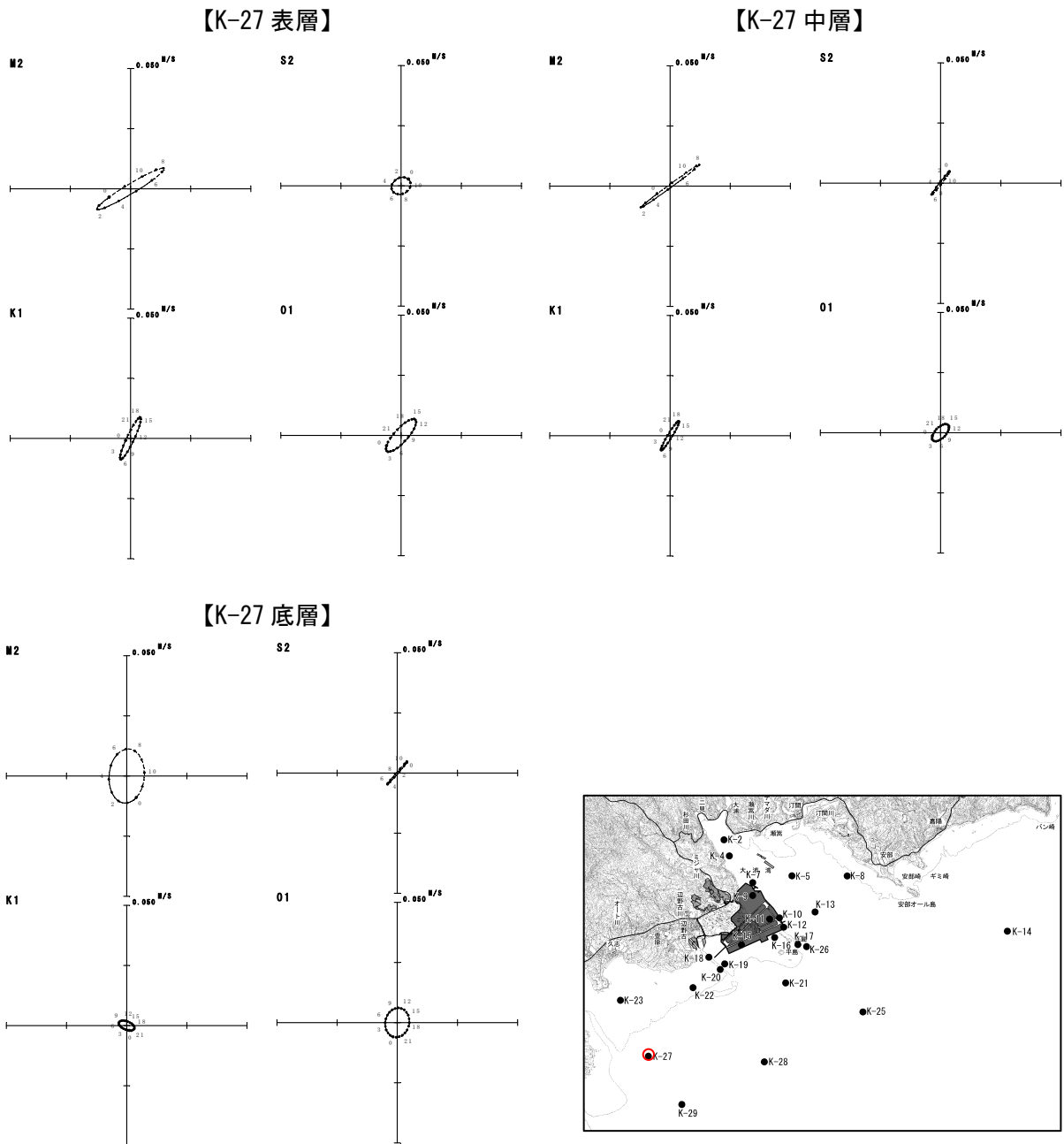


図-6.6.1.12(13) 超音波流速計による調査結果に基づく冬季の潮流楕円

注) 調査期間：平成20年1月26日～2月29日

資料：「シュワブ(H18)環境現況調査(その2)報告書」平成20年12月、沖縄防衛局



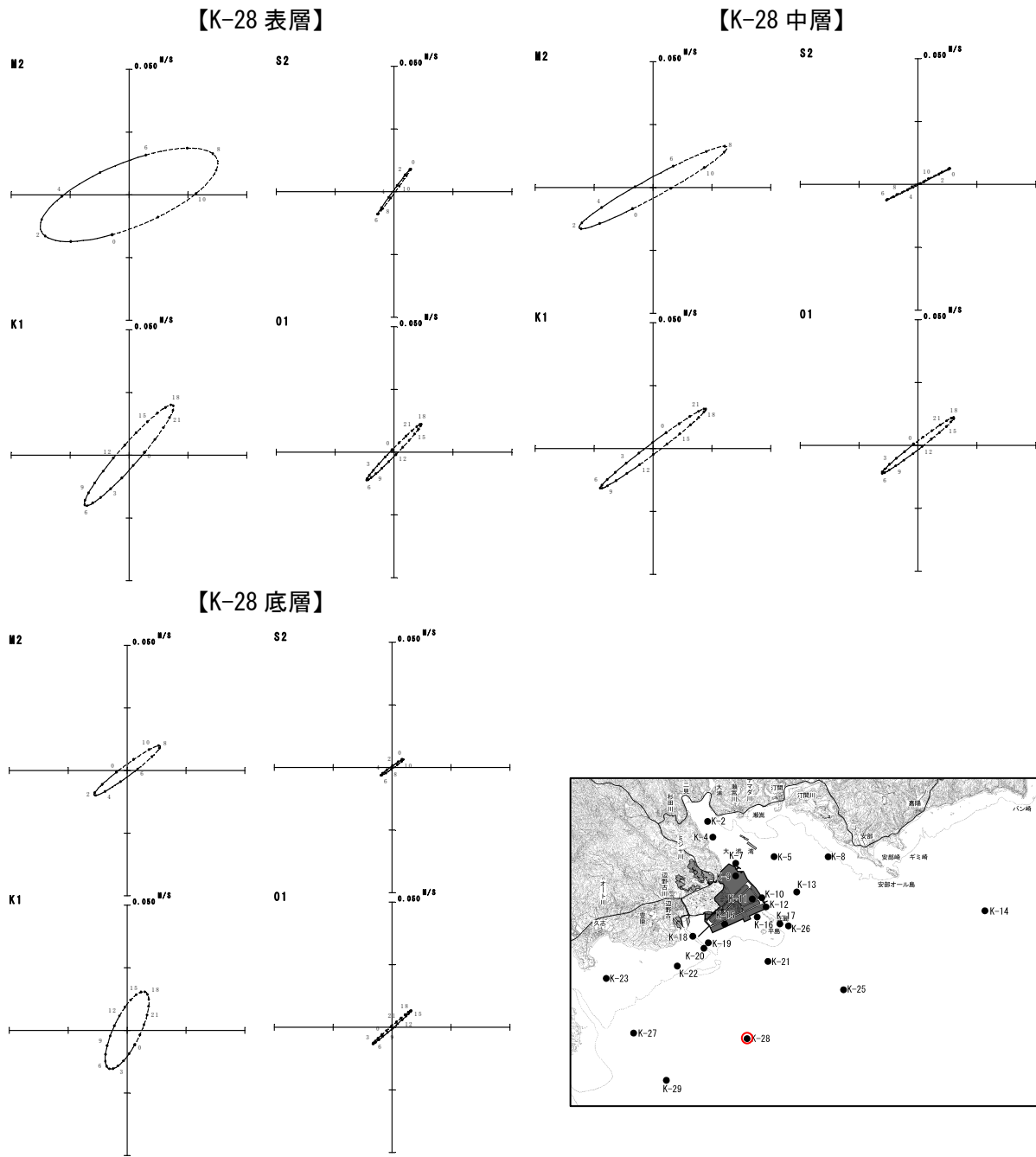


図-6.6.1.12(14) 超音波流速計による調査結果に基づく冬季の潮流楕円

注) 調査期間：平成20年1月26日～2月29日

資料：「シュワブ(H18)環境現況調査(その2)報告書」平成20年12月、沖縄防衛局

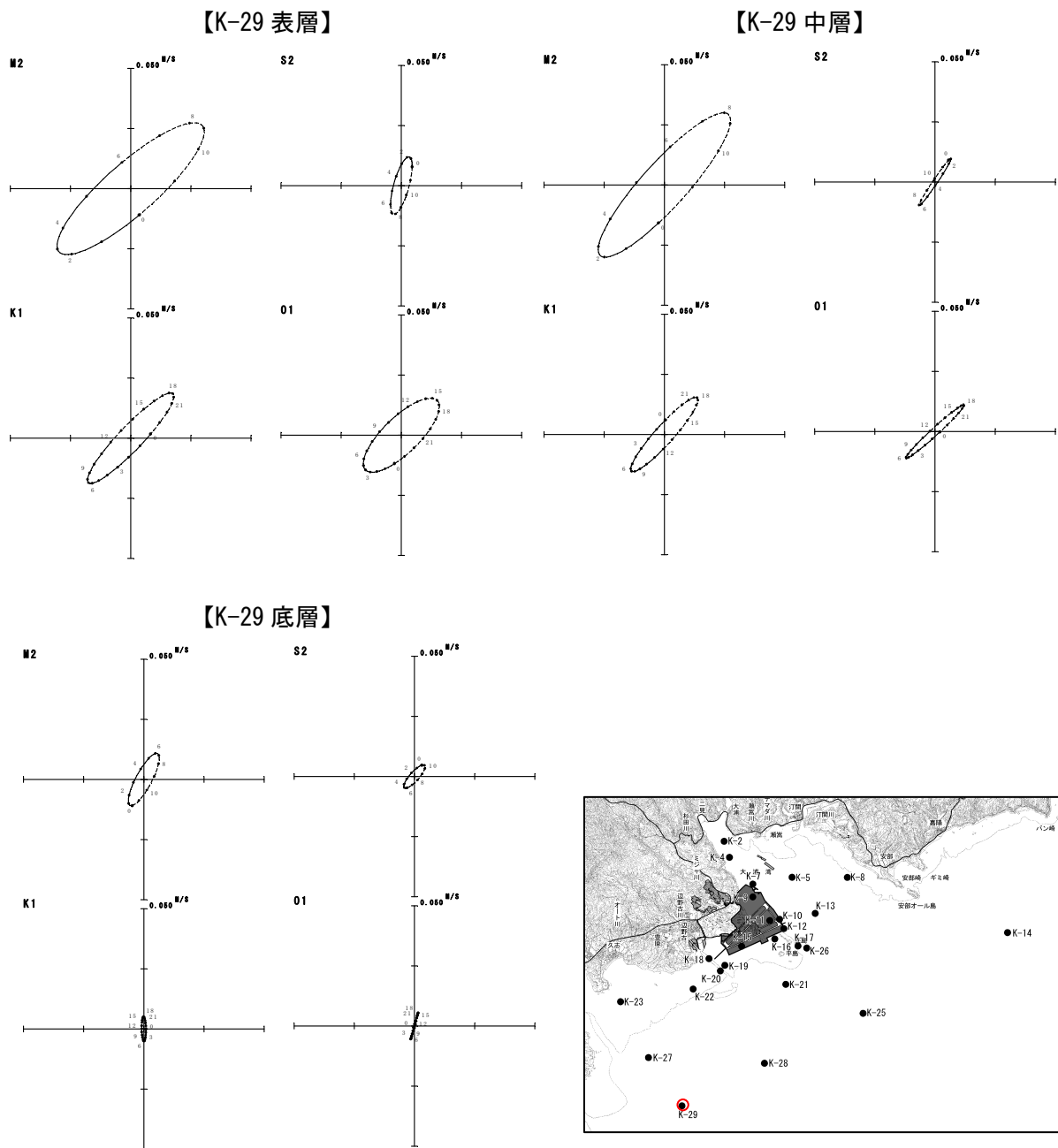
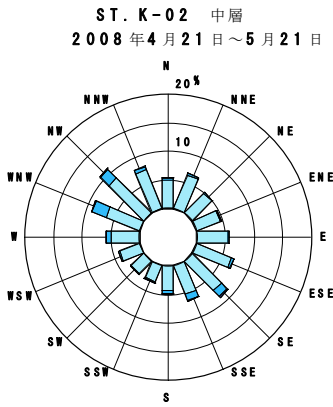


図-6. 6. 1. 12(15) 超音波流速計による調査結果に基づく冬季の潮流楕円

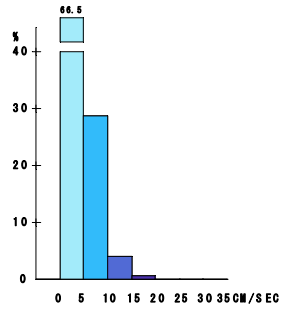
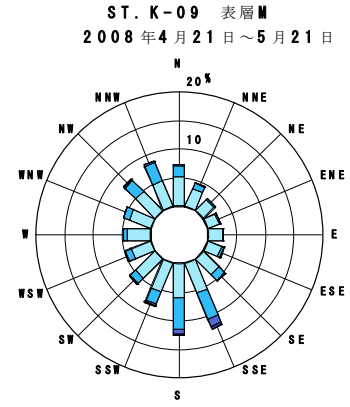
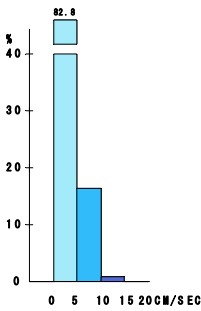
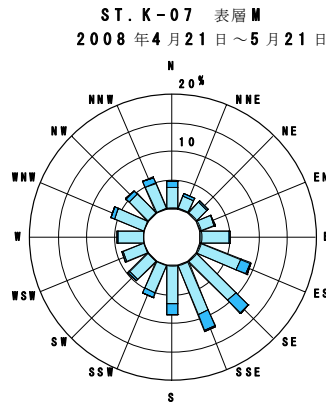
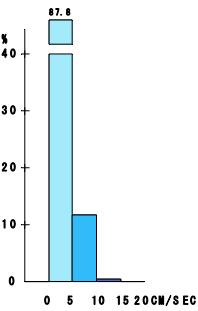
注) 調査期間：平成 20 年 1 月 26 日～2 月 29 日

資料：「シュワブ(H18)環境現況調査（その 2）報告書」平成 20 年 12 月、沖縄防衛局

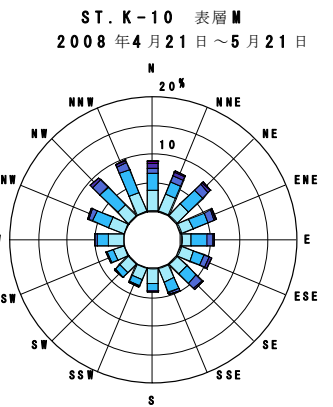
流向頻度図



流速別頻度図



流向頻度図



流速別頻度図

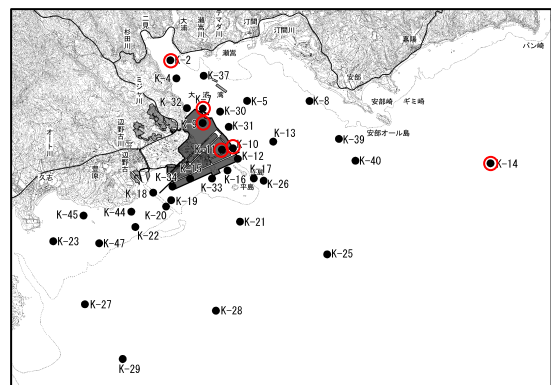
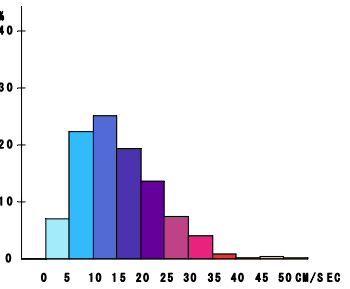
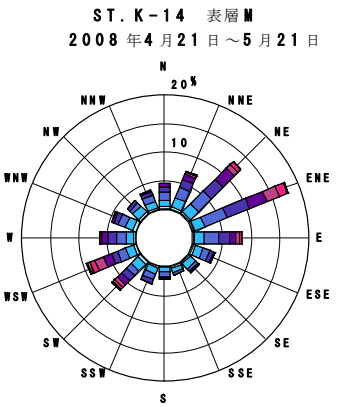
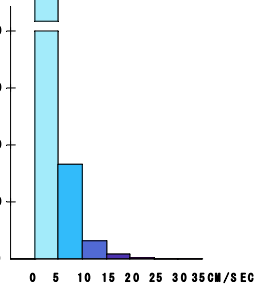
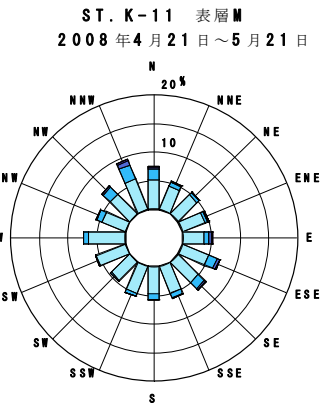
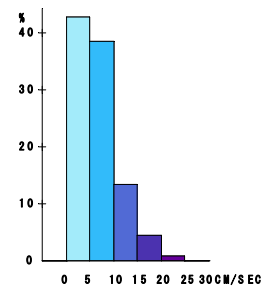
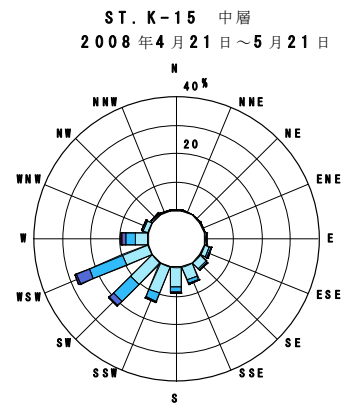


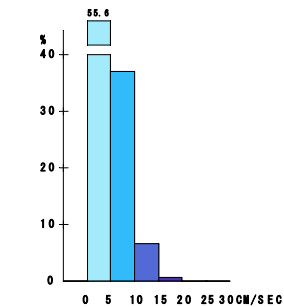
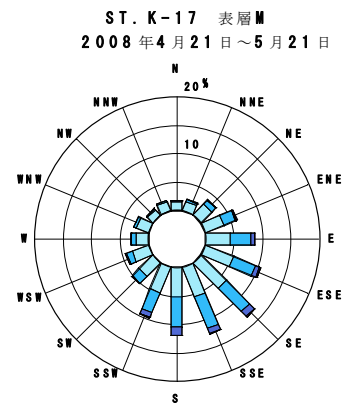
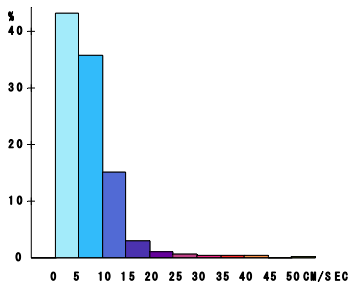
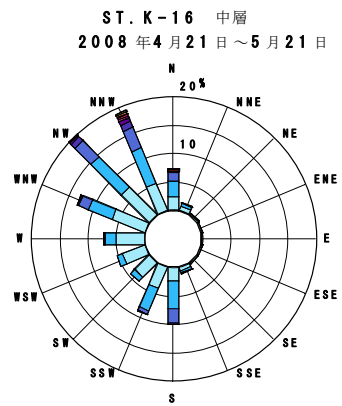
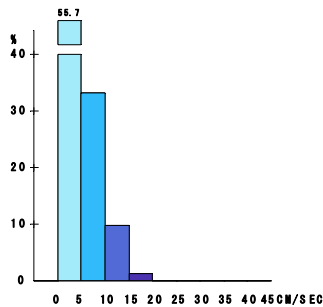
図-6. 6. 1. 13(1) 電磁流速計による調査結果に基づく春季の流況頻度図

注) 調査期間：平成 20 年 4 月 21 日～5 月 21 日

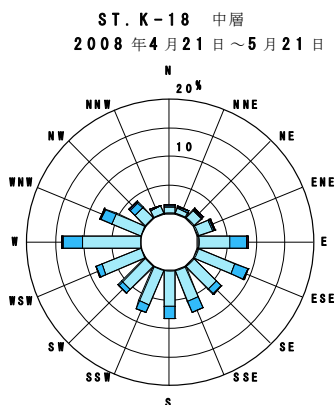
流向頻度図



流速別頻度図



流向頻度図



流速別頻度図

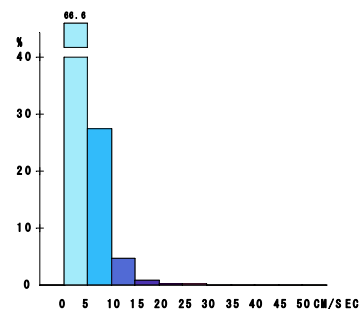
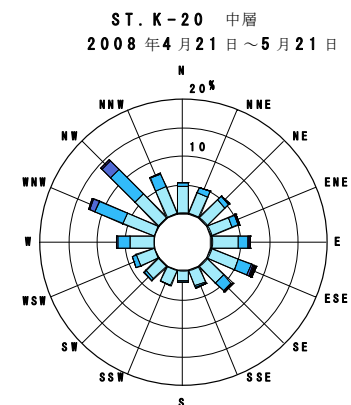
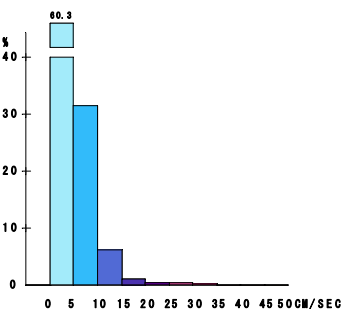
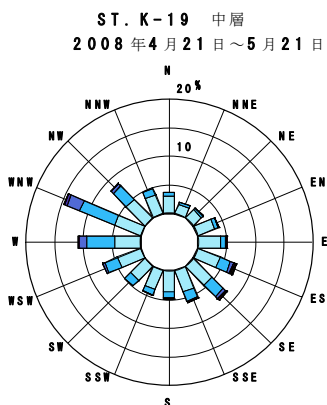
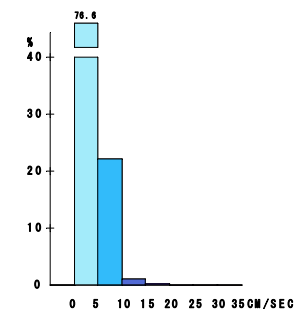
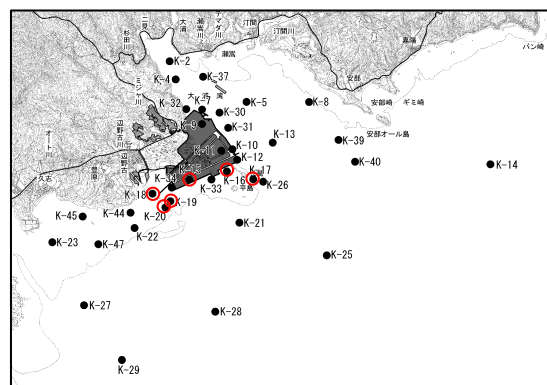
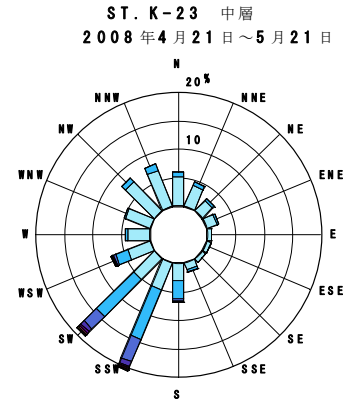
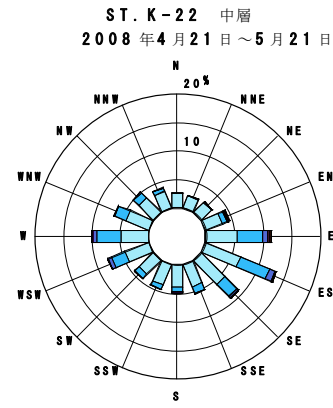
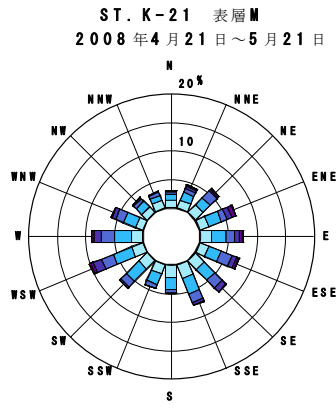


図-6.6.1.13(2) 電磁流速計による調査結果に基づく春季の流況頻度図

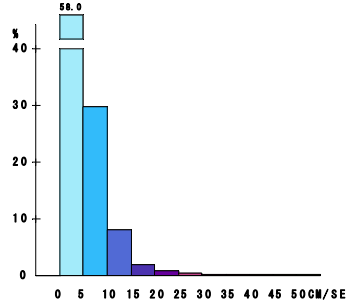
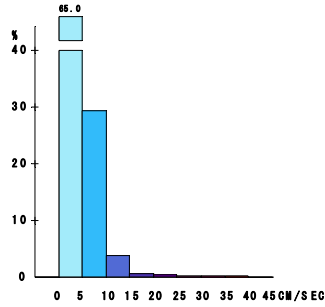
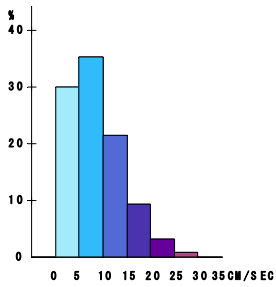
注) 調査期間：平成20年4月21日～5月21日



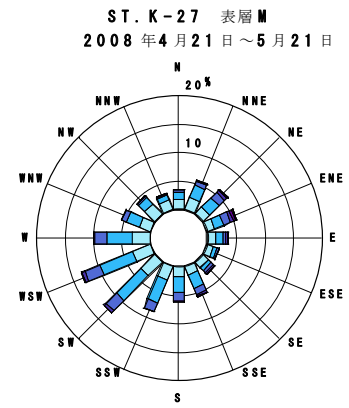
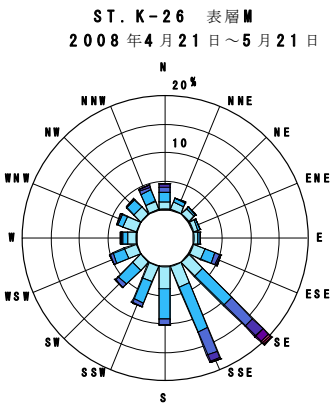
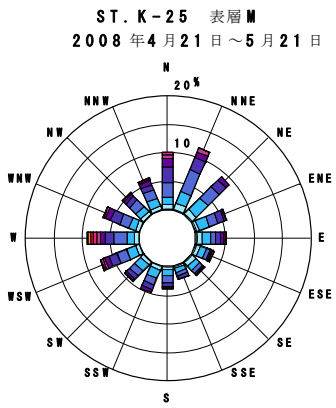
流向頻度図



流速別頻度図



流向頻度図



流速別頻度図

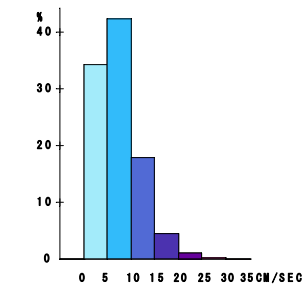
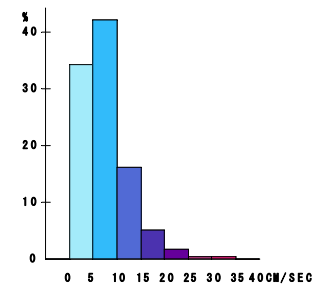
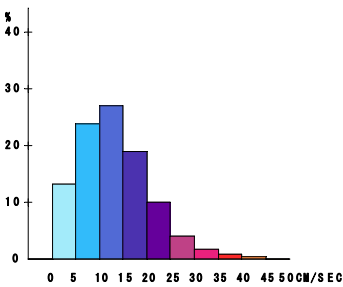
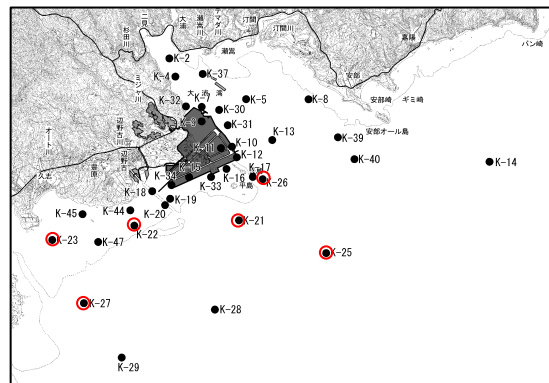
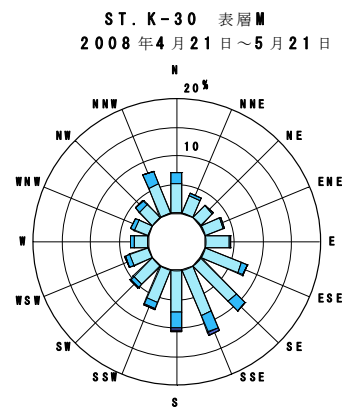
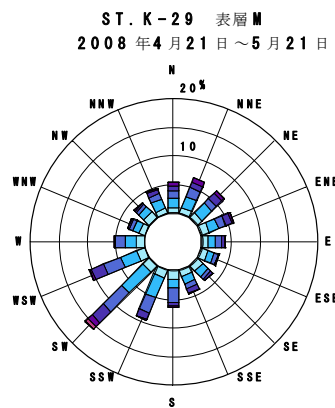
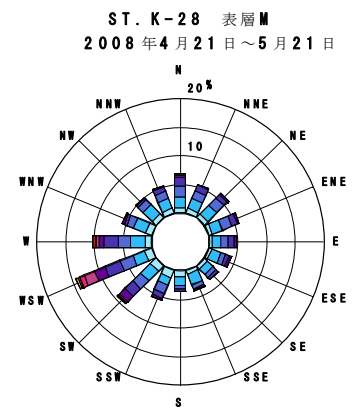


図-6. 6. 1. 13(3) 電磁流速計による調査結果に基づく春季の流況頻度図

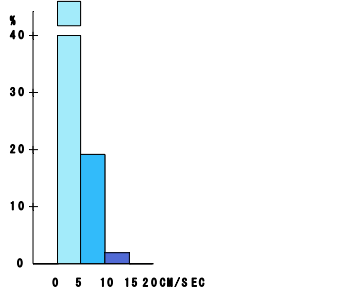
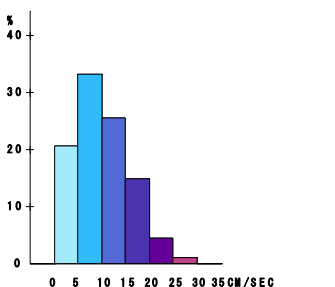
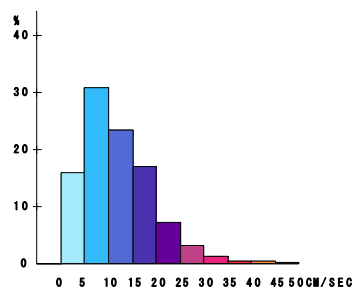
注) 調査期間：平成20年4月21日～5月21日



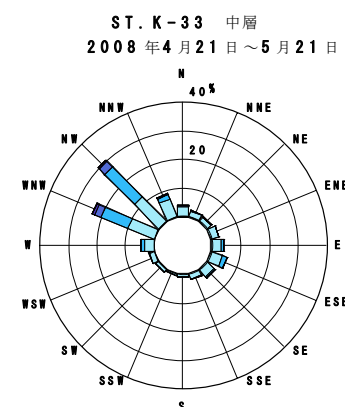
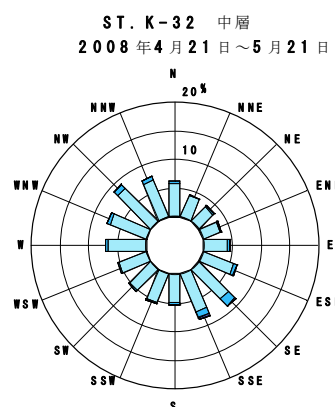
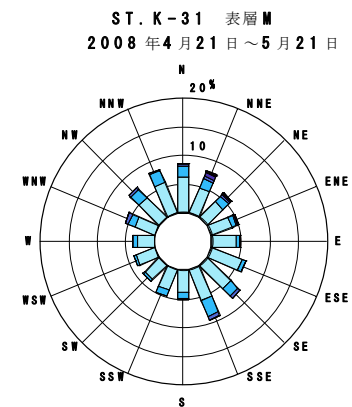
流向頻度図



流速別頻度図



流向頻度図



流速別頻度図

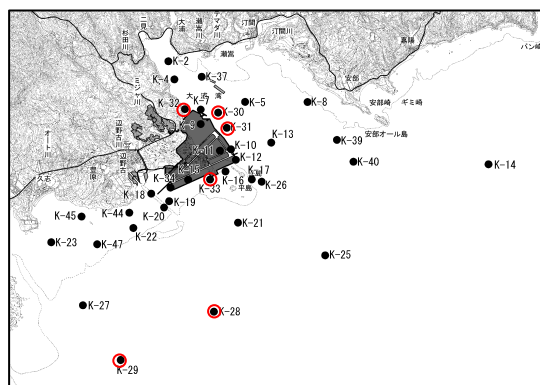
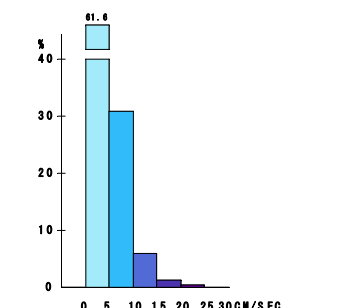
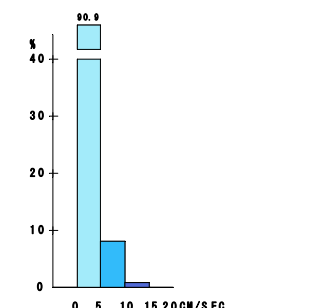
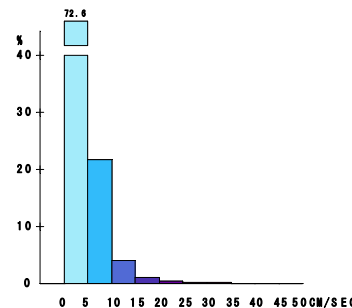
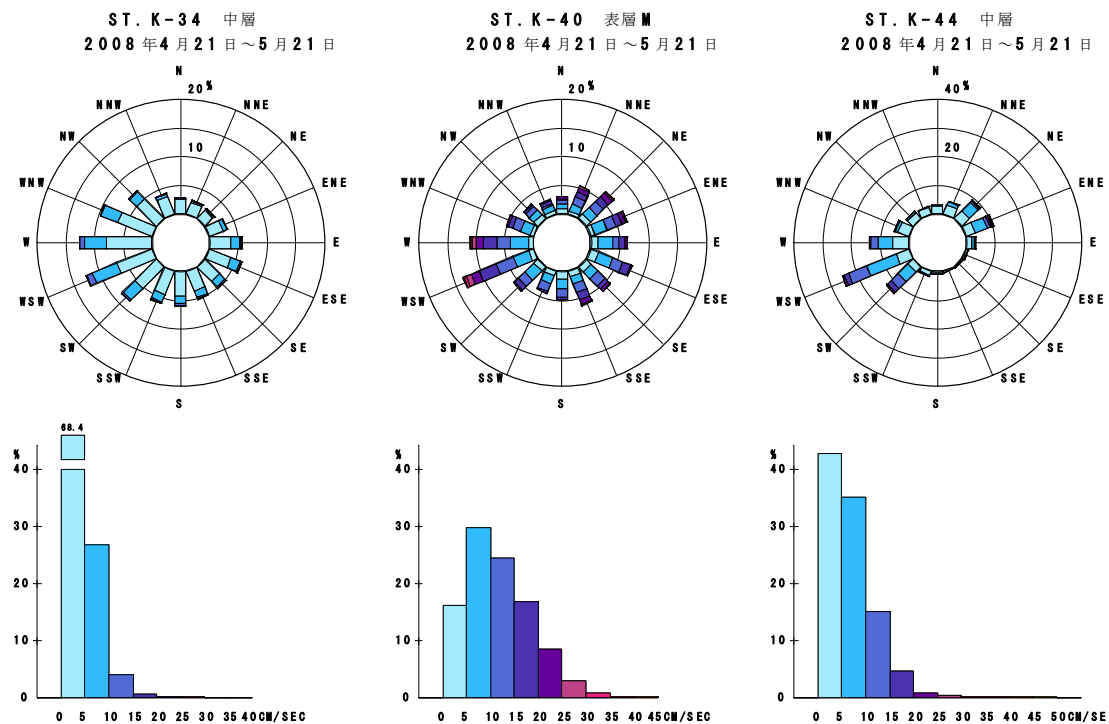


図-6. 6. 1. 13(4) 電磁流速計による調査結果に基づく春季の流況頻度図

注) 調査期間：平成 20 年 4 月 21 日～5 月 21 日

流向頻度図



流速別頻度図

流向頻度図

流速別頻度図

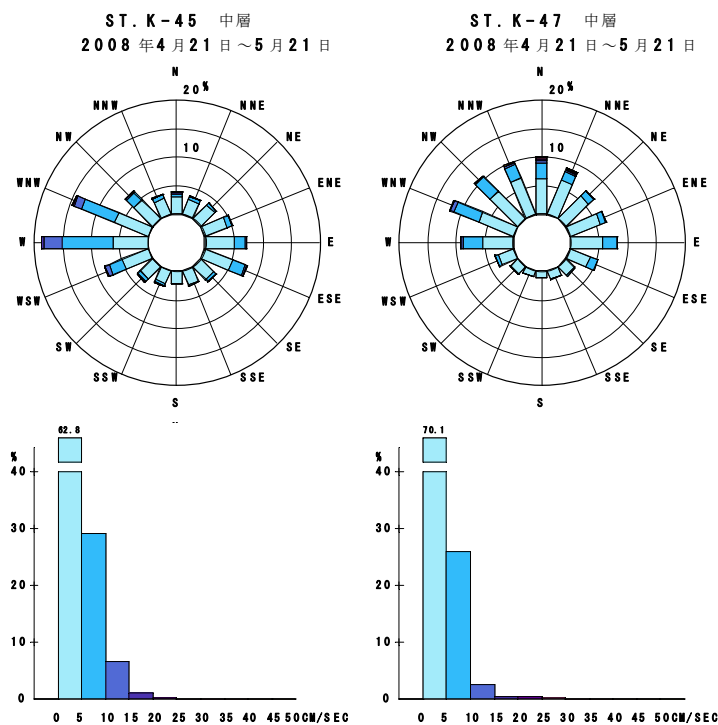
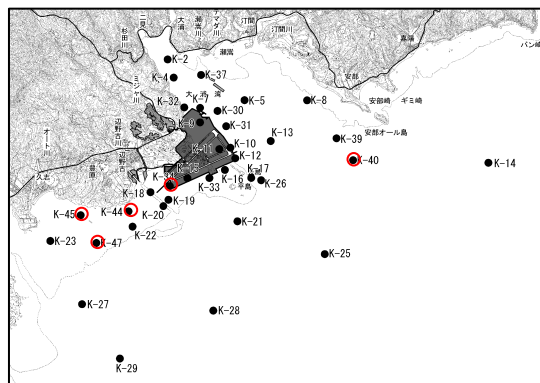


図-6. 6. 1. 13(5) 電磁流速計による調査結果に基づく春季の流況頻度図

注) 調査期間：平成20年4月21日～5月21日



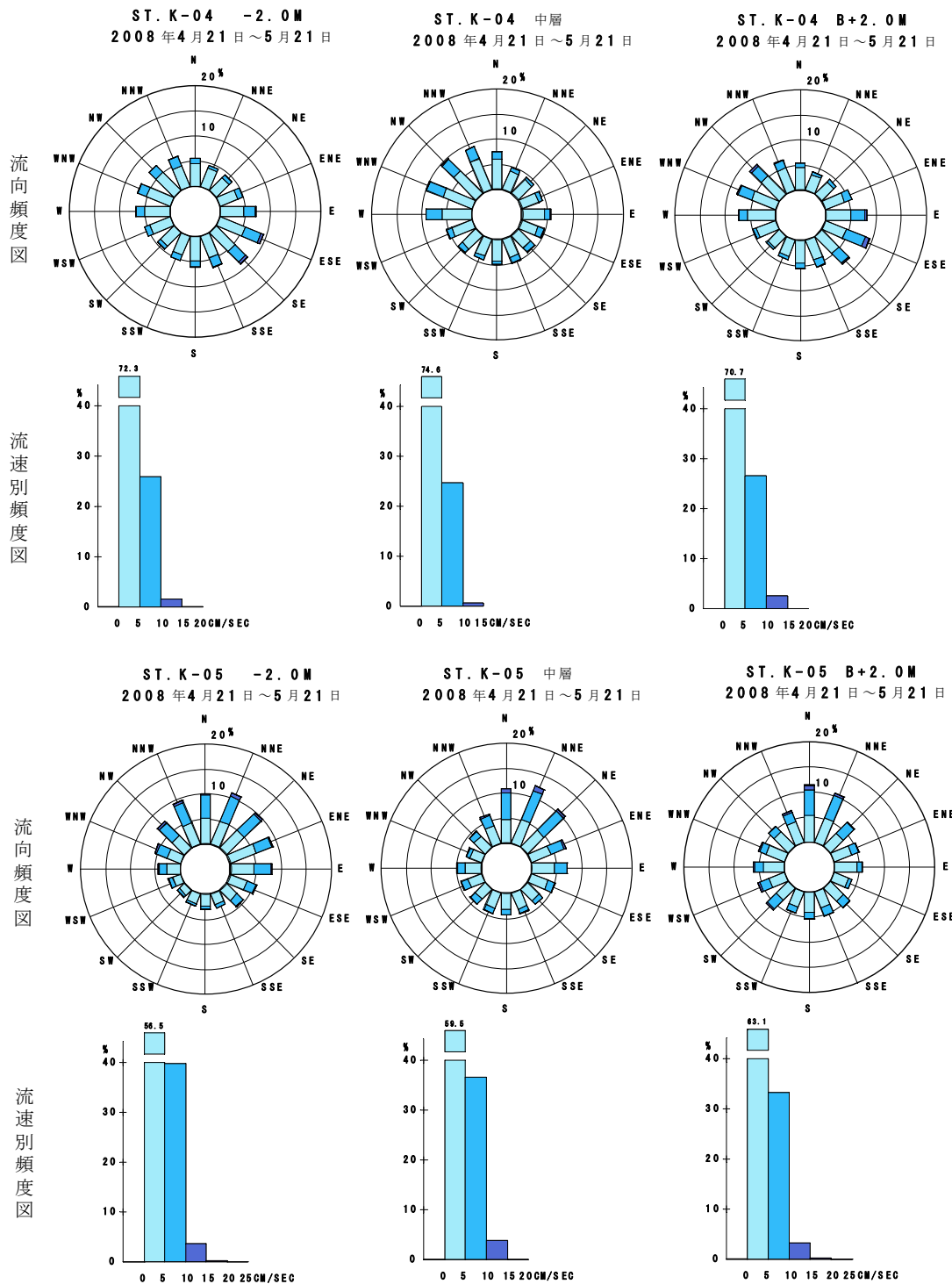
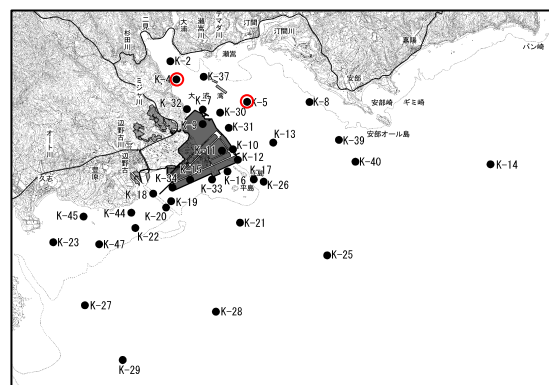


図-6. 6. 1. 14(1) 超音波流速計による調査結果に基づく春季の流況頻度図

注) 調査期間：平成 20 年 4 月 21 日～5 月 21 日





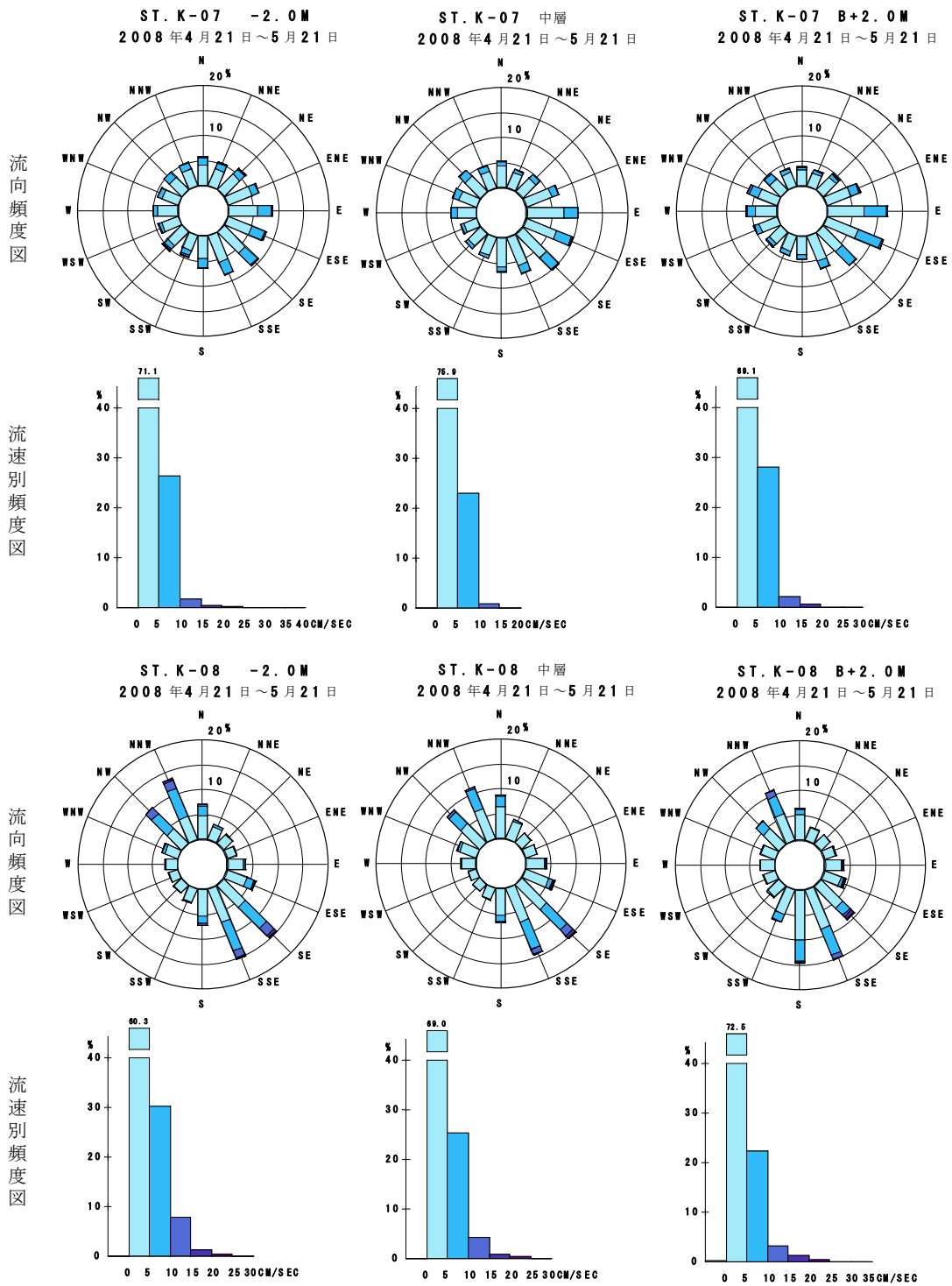
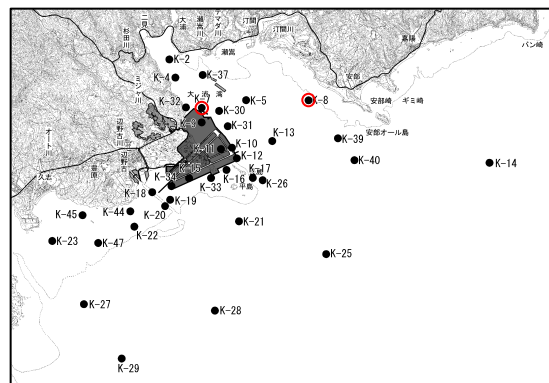


図-6. 6. 1. 14(2) 超音波流速計による調査結果に基づく春季の流況頻度図

注) 調査期間：平成20年4月21日～5月21日



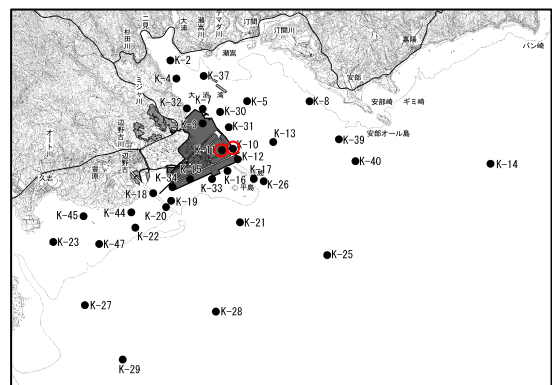
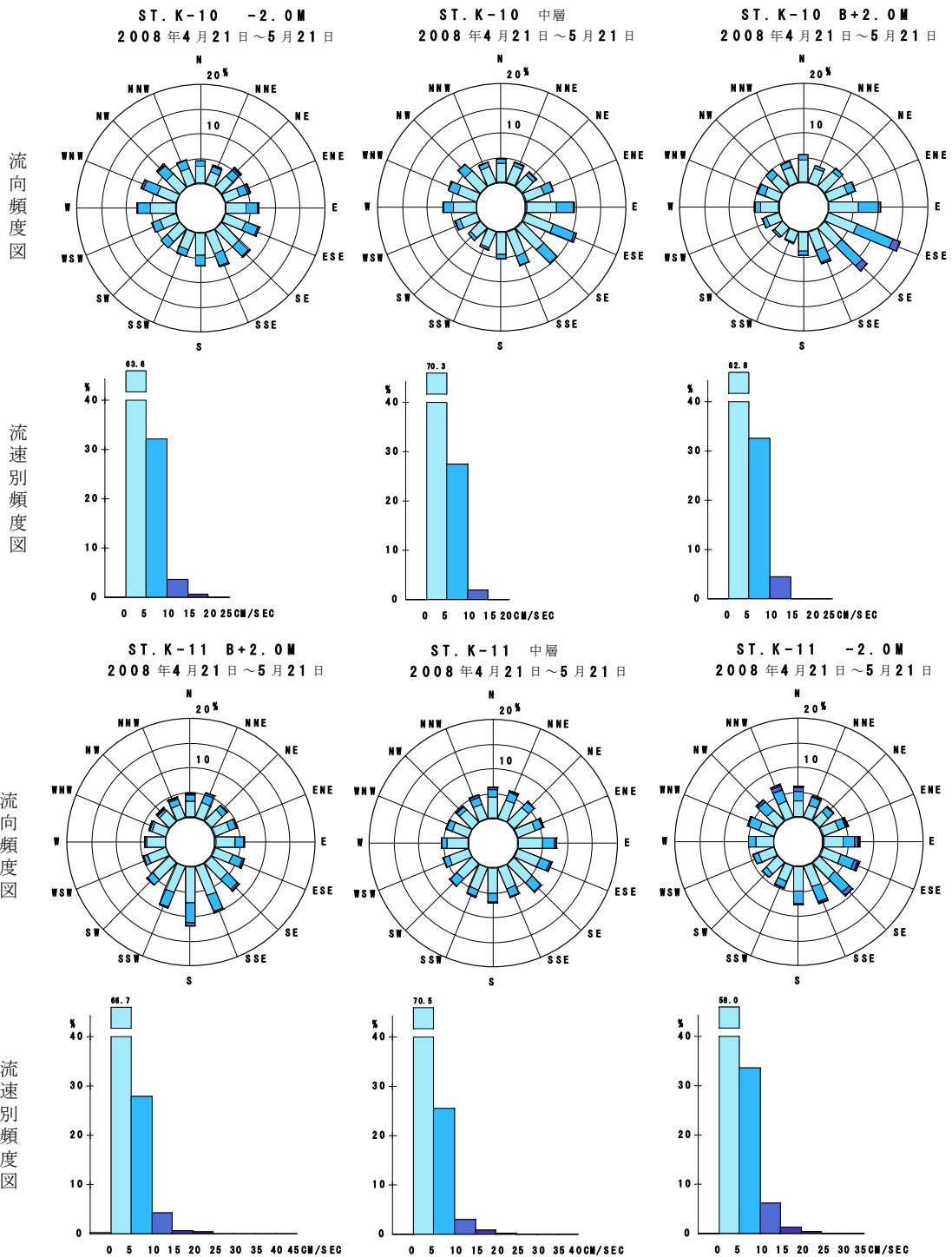


図-6.6.1.14(3) 超音波流速計による調査結果に基づく春季の流況頻度図

注) 調査期間：平成20年4月21日～5月21日

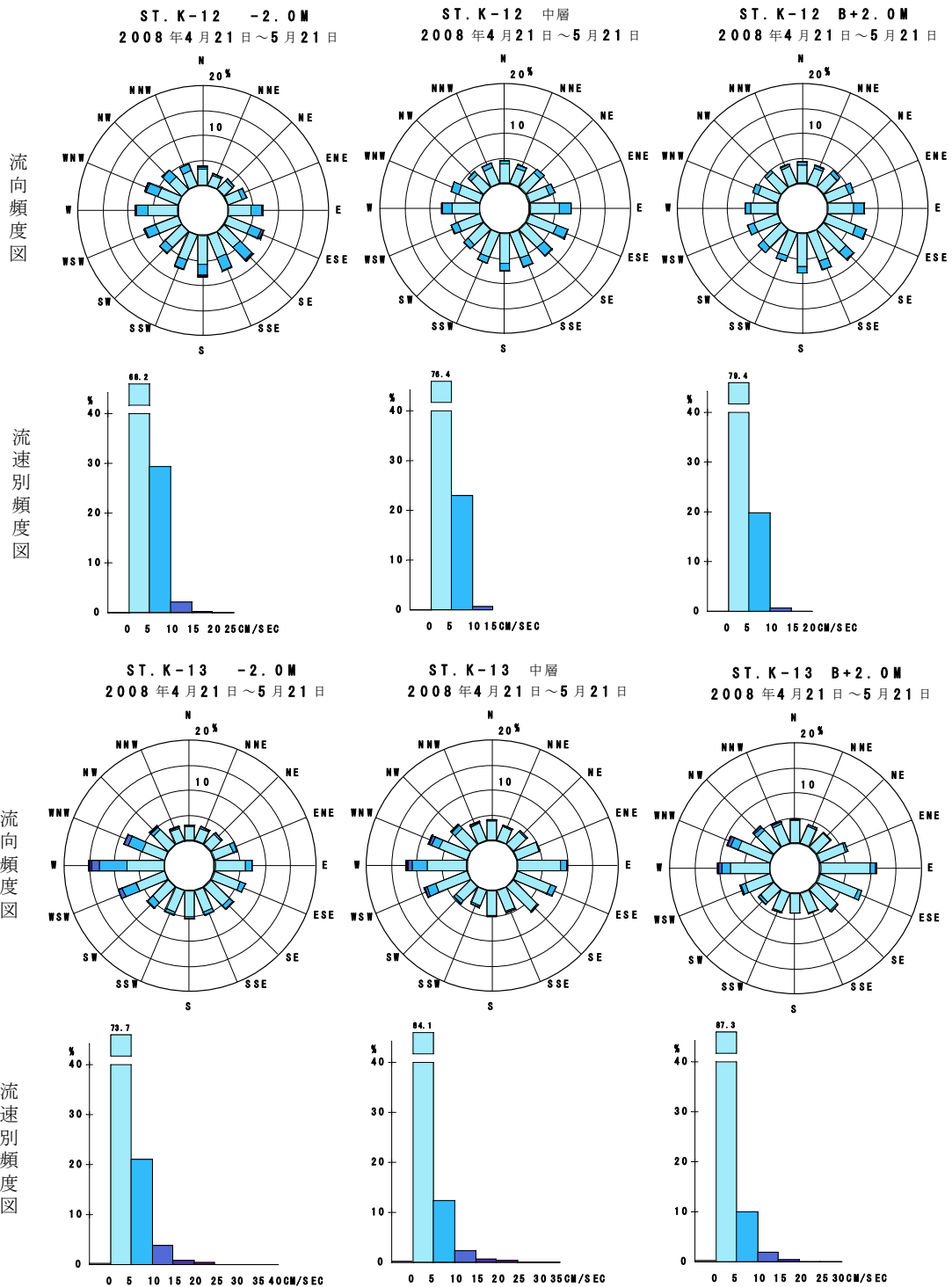
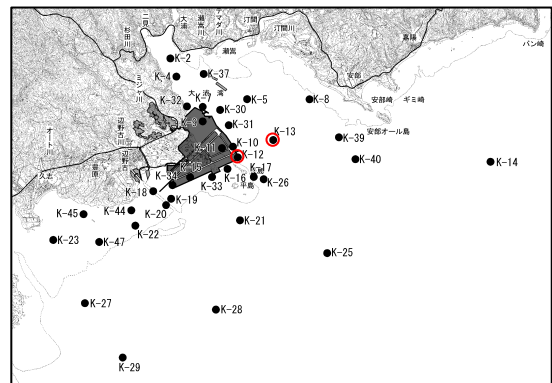
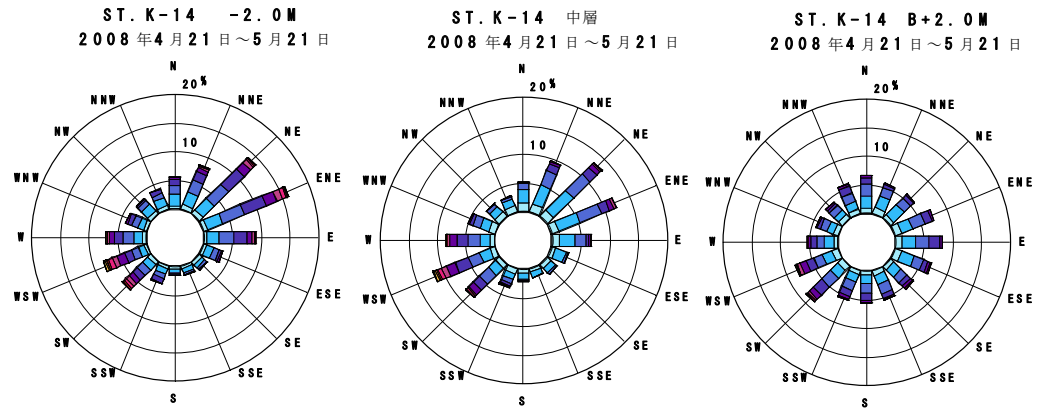


図-6. 6. 1. 14(4) 超音波流速計による調査結果に基づく春季の流況頻度図

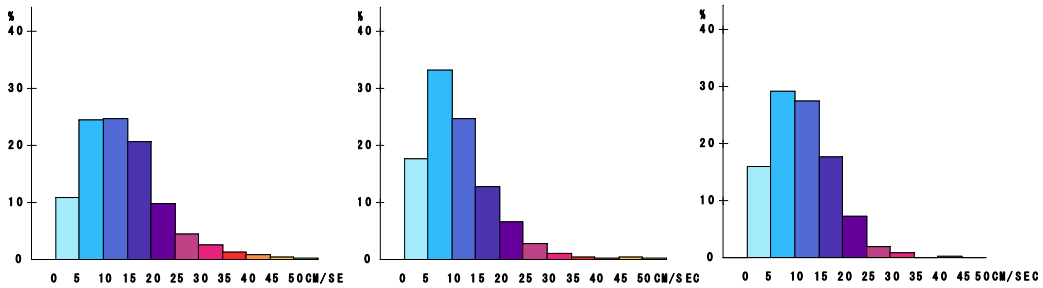
注) 調査期間：平成20年4月21日～5月21日



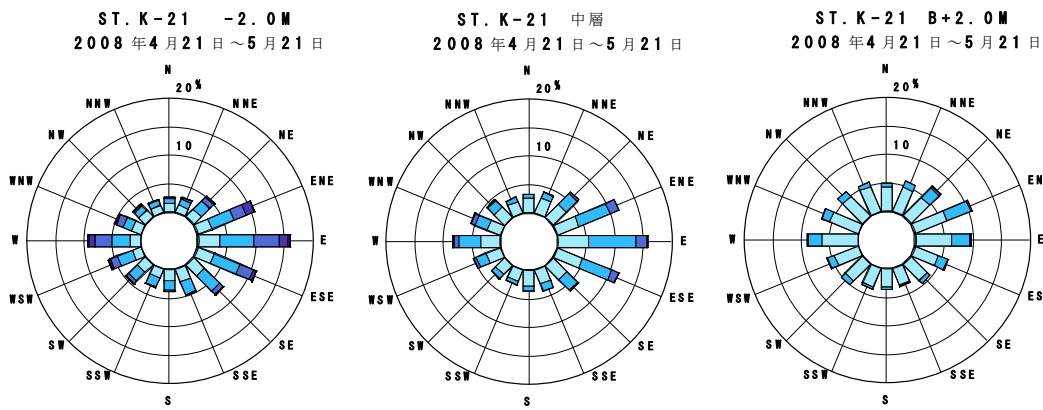
流向頻度図



流速別頻度図



流向頻度図



流速別頻度図

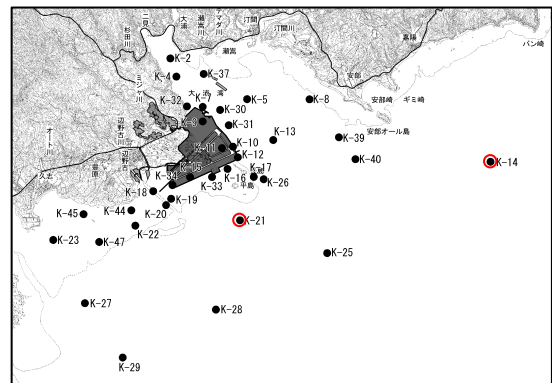
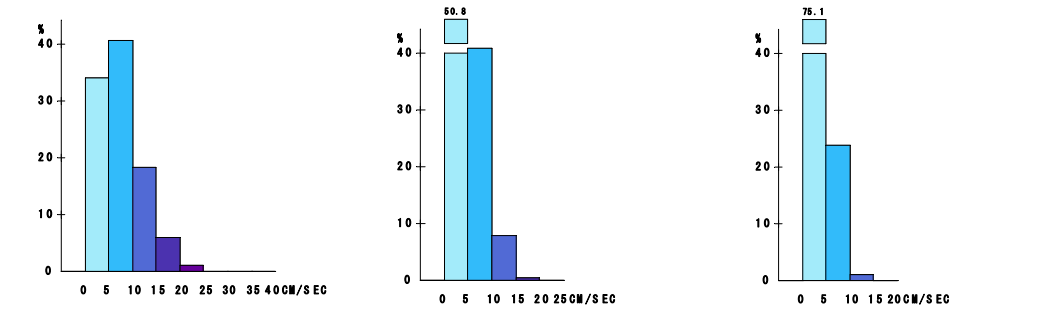


図-6. 6. 1. 14(5) 超音波流速計による調査結果に基づく春季の流況頻度図

注) 調査期間：平成 20 年 4 月 21 日～5 月 21 日

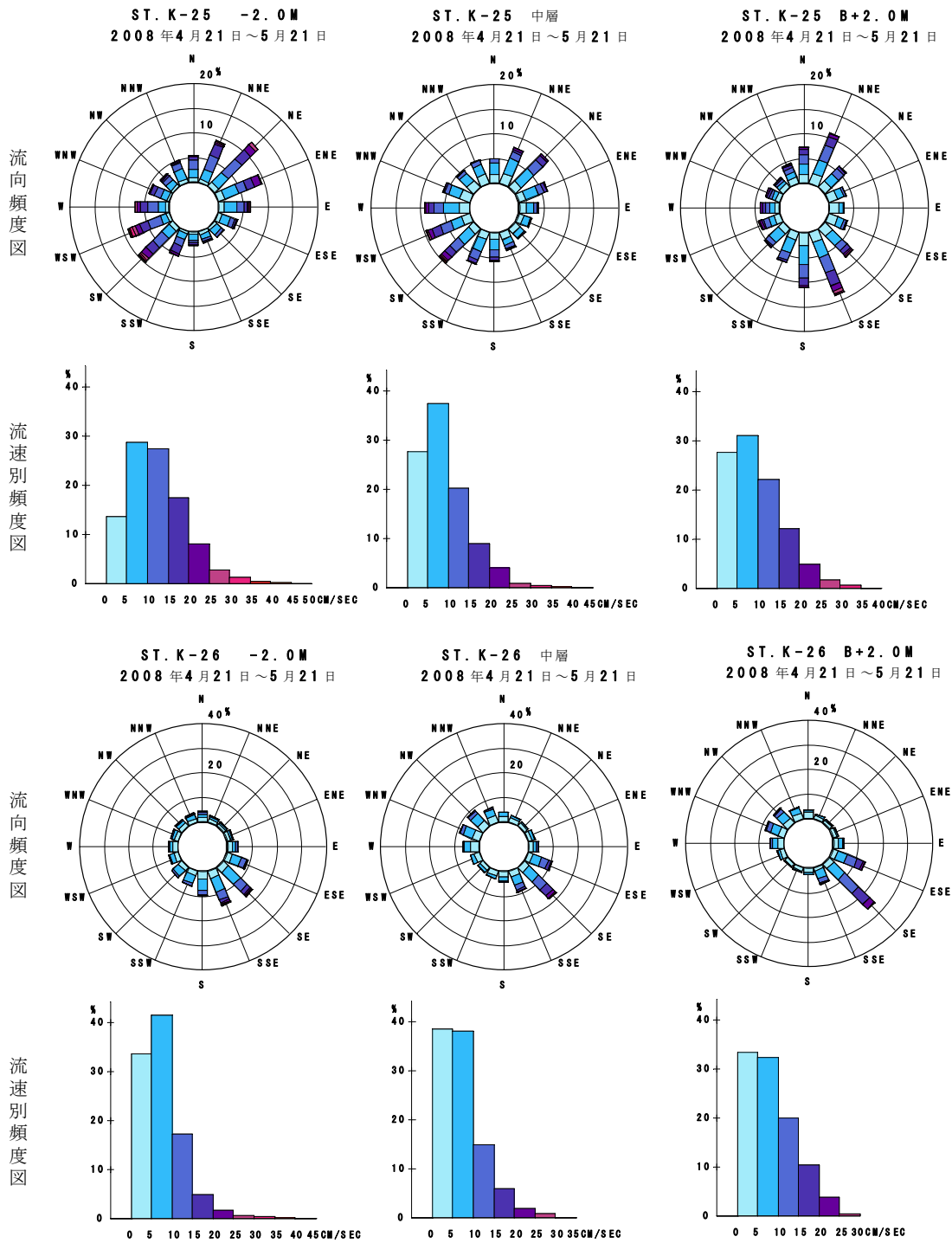
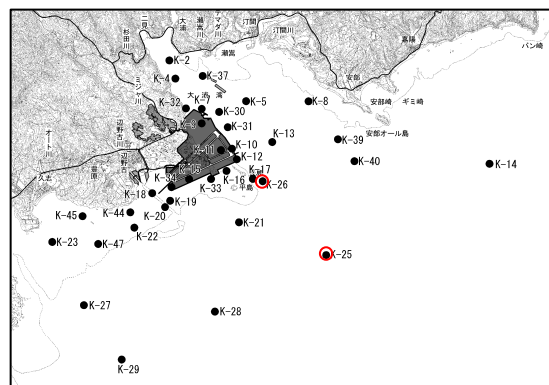


図-6. 6. 1. 14(6) 超音波流速計による調査結果に基づく春季の流況頻度図

注) 調査期間：平成 20 年 4 月 21 日～5 月 21 日



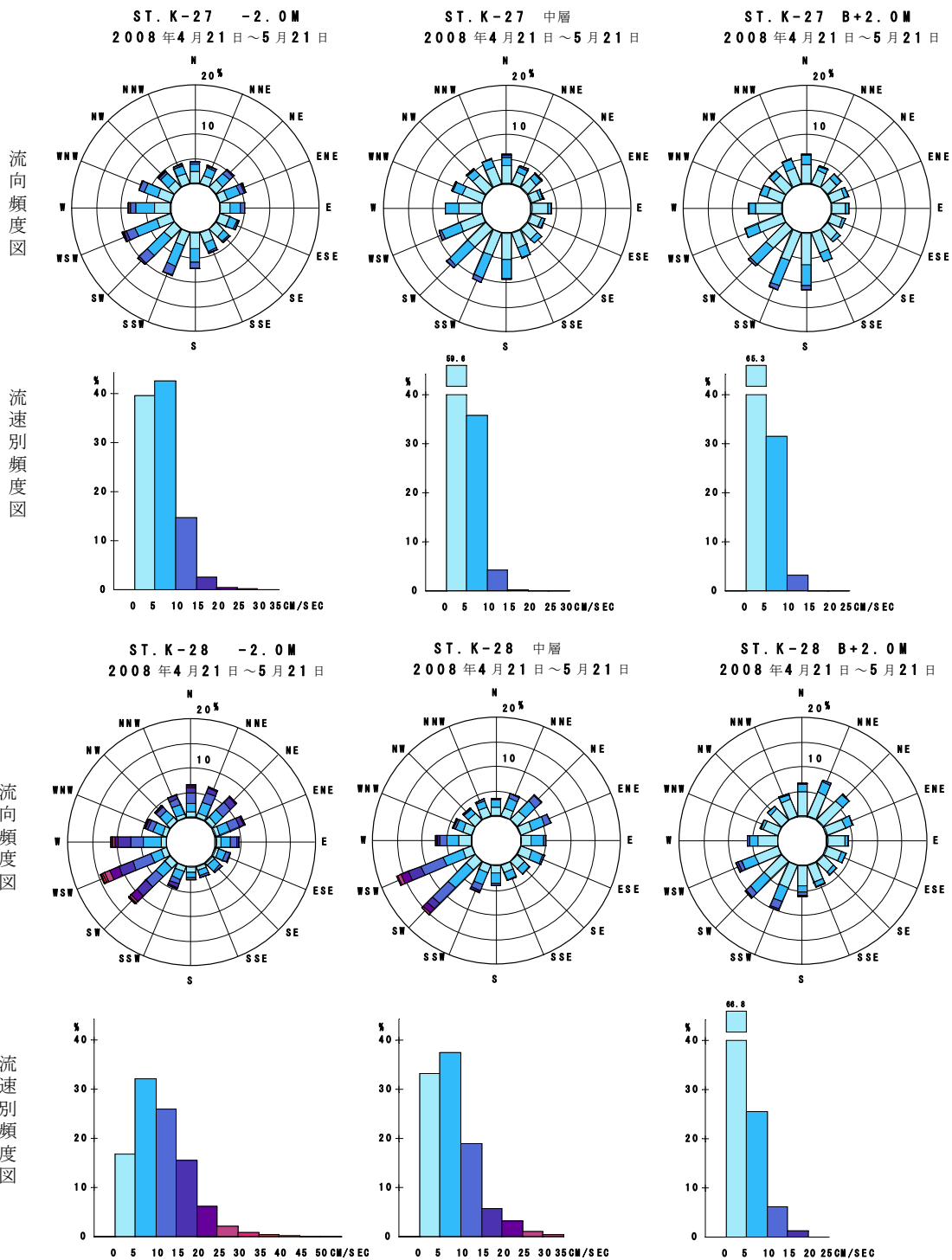
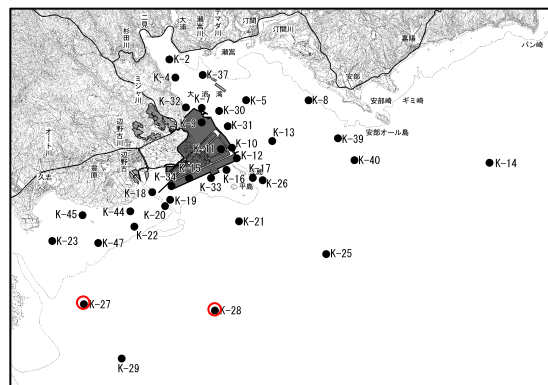


図-6. 6. 1. 14(7) 超音波流速計による調査結果に基づく春季の流況頻度図

注) 調査期間：平成 20 年 4 月 21 日～5 月 21 日



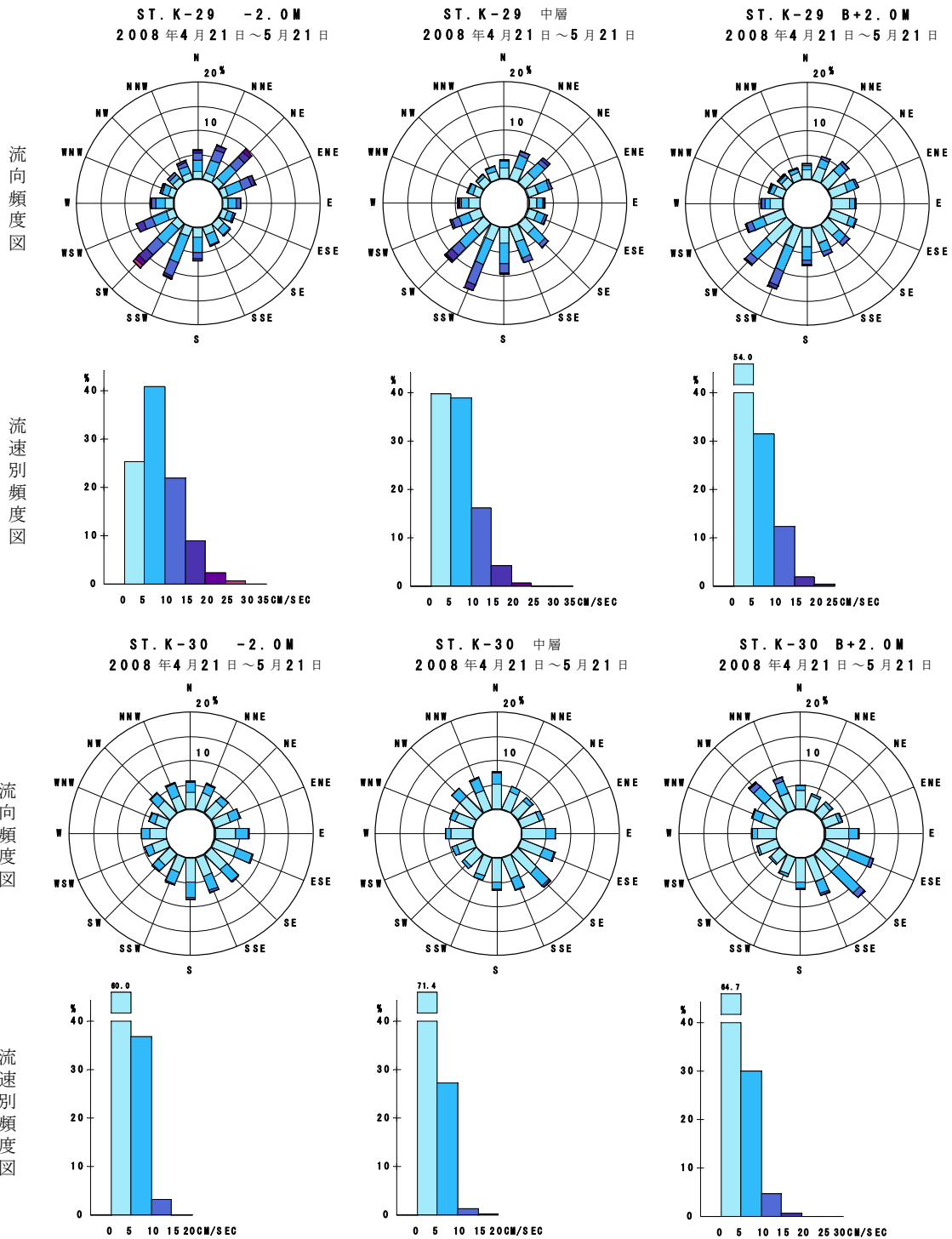
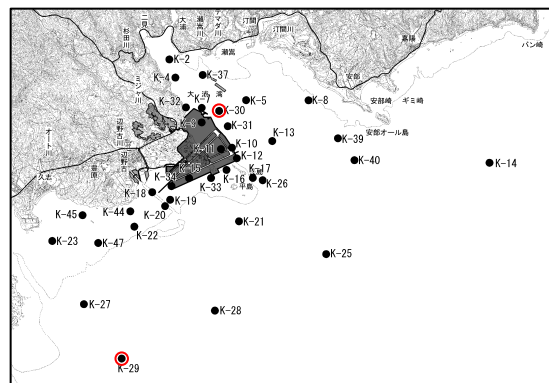


図-6. 6. 1. 14(8) 超音波流速計による調査結果に基づく春季の流況頻度図

注) 調査期間：平成 20 年 4 月 21 日～5 月 21 日



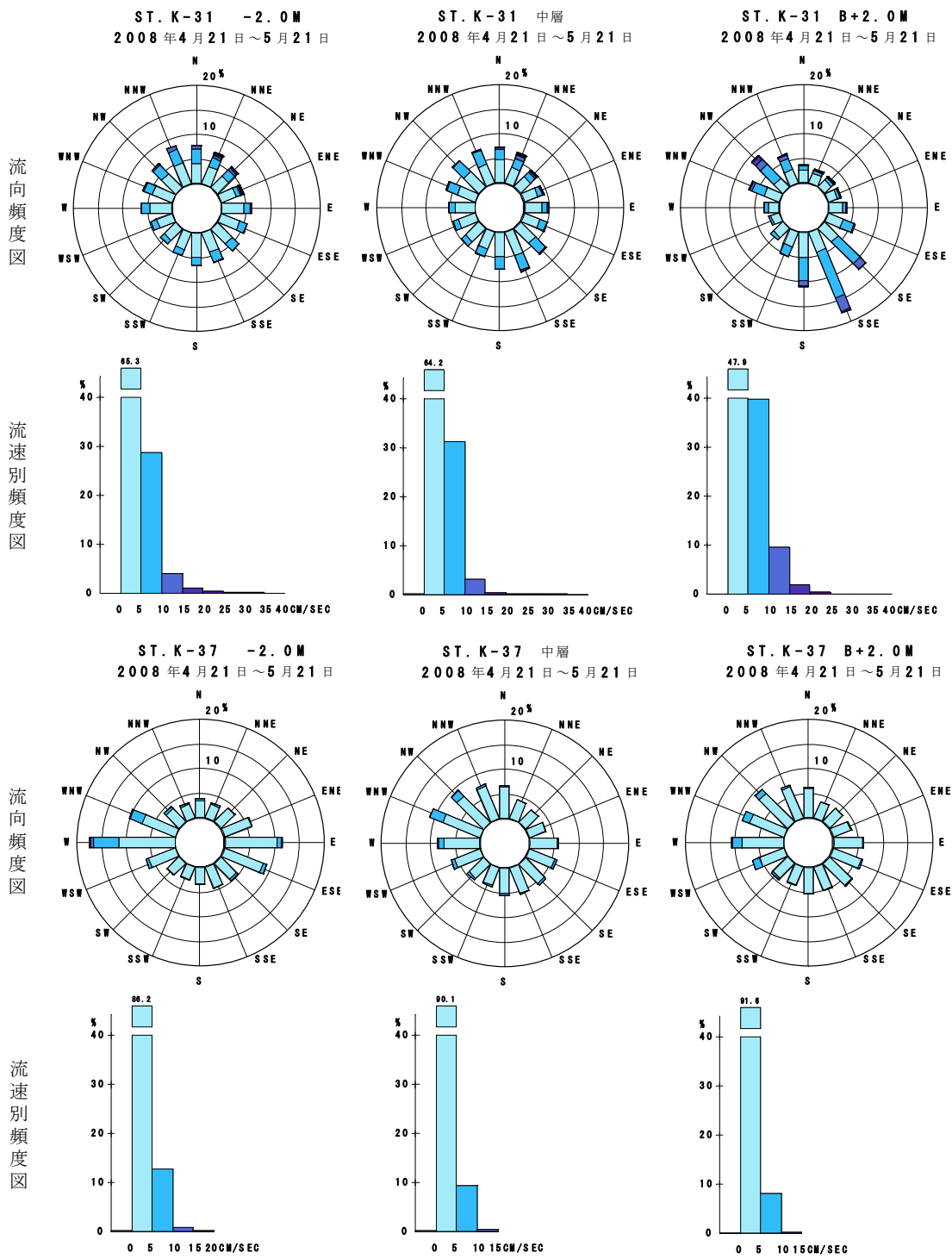
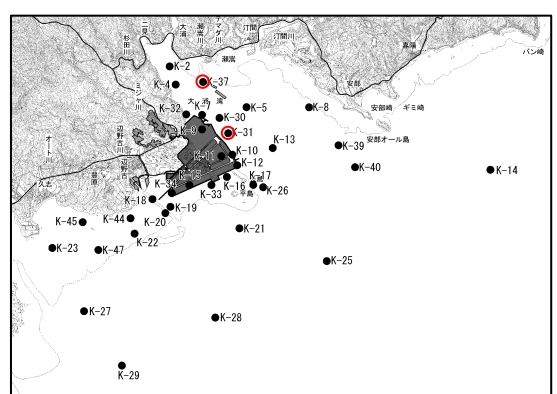


図-6. 6. 1. 14(9) 超音波流速計による調査結果に基づく春季の流況頻度図

注) 調査期間：平成 20 年 4 月 21 日～5 月 21 日





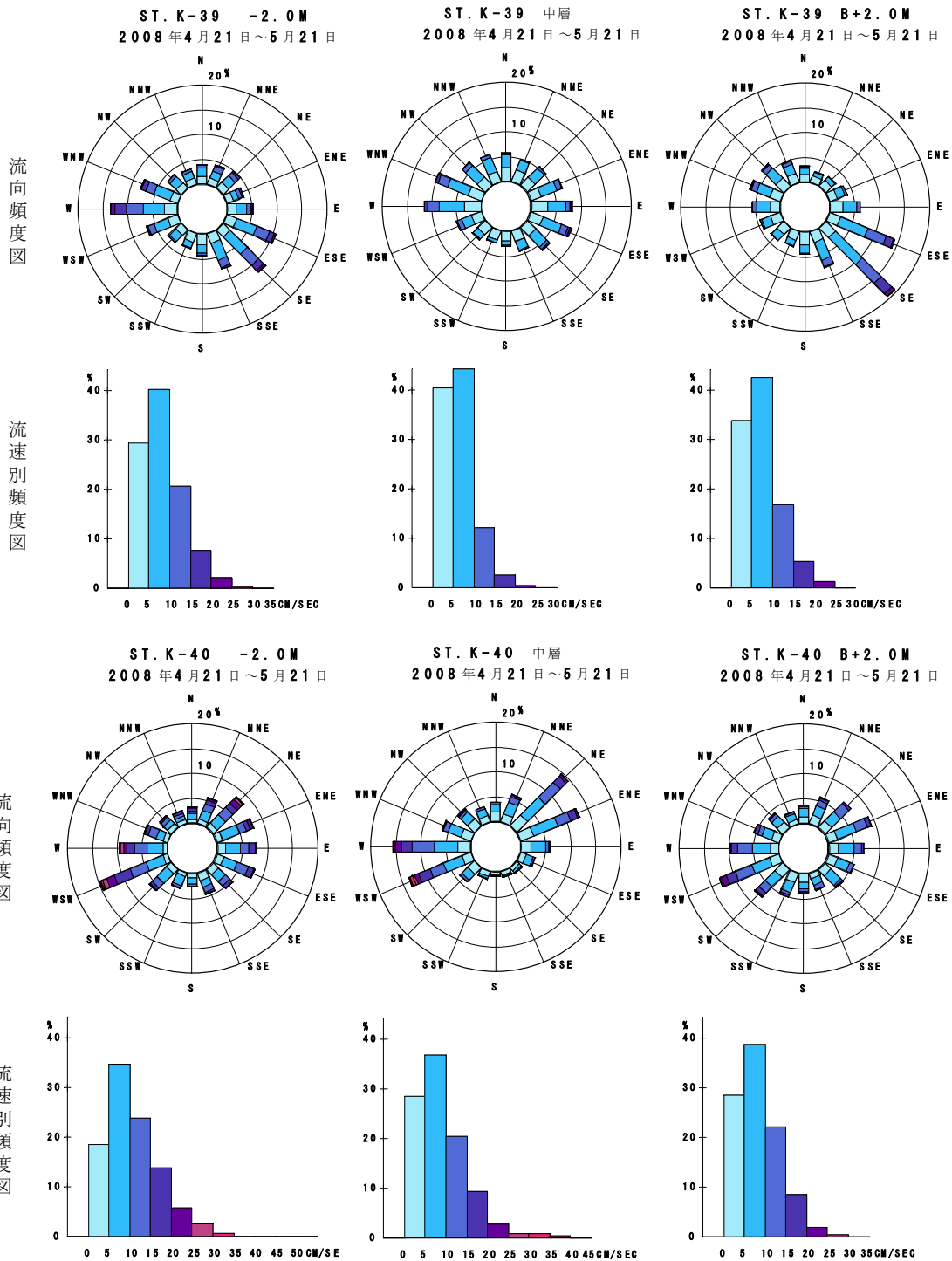
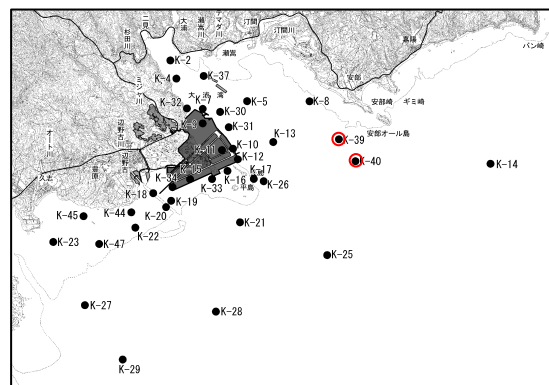


図-6. 6. 1. 14(10) 超音波流速計による調査結果に基づく春季の流況頻度図

注) 調査期間：平成 20 年 4 月 21 日～5 月 21 日



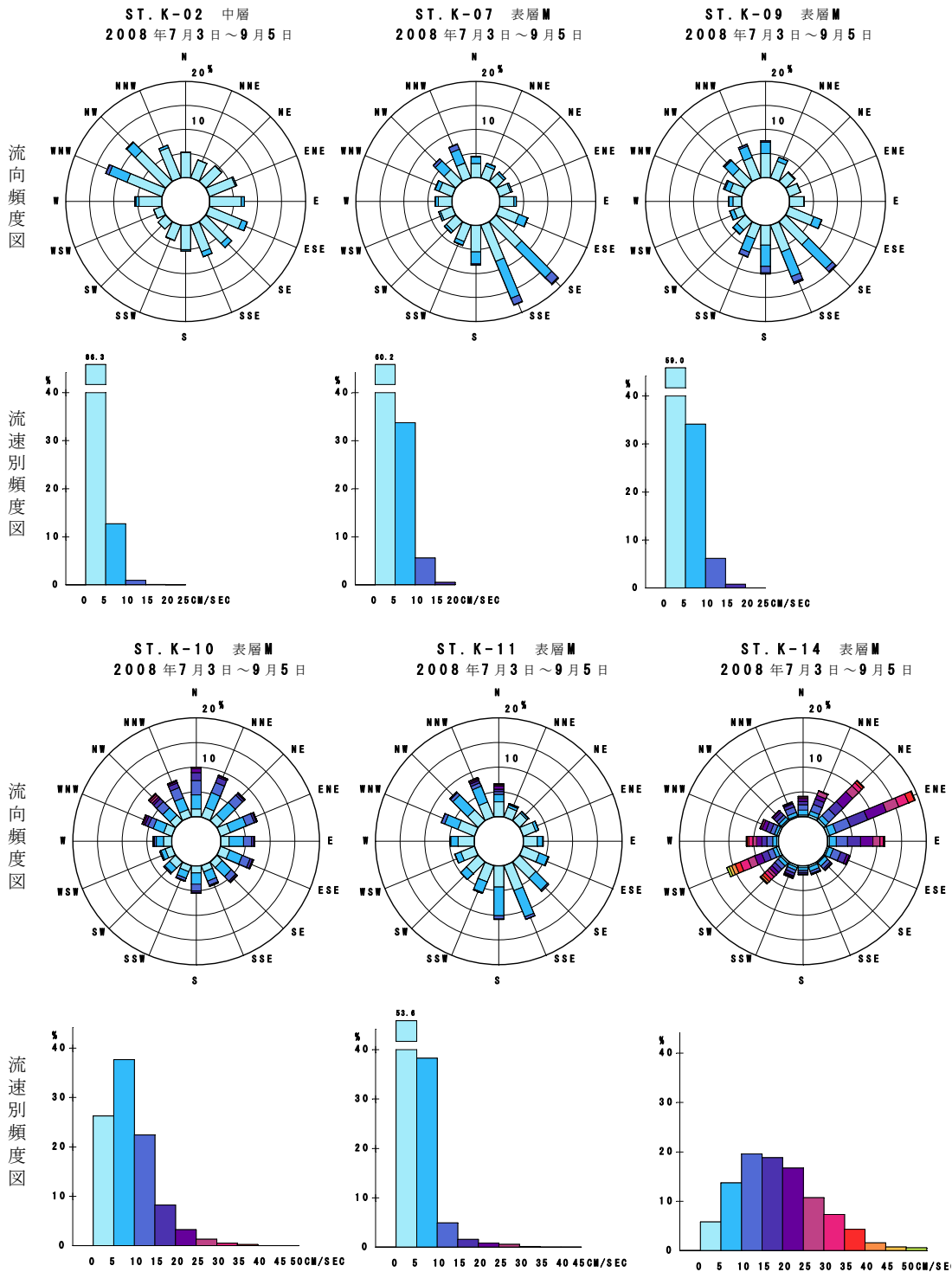
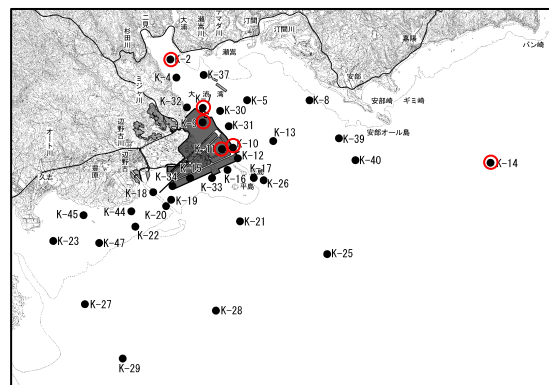


図-6.6.1.15(1) 電磁流速計による調査結果に基づく夏季の流況頻度図

注) 調査期間：平成20年7月3日～9月5日



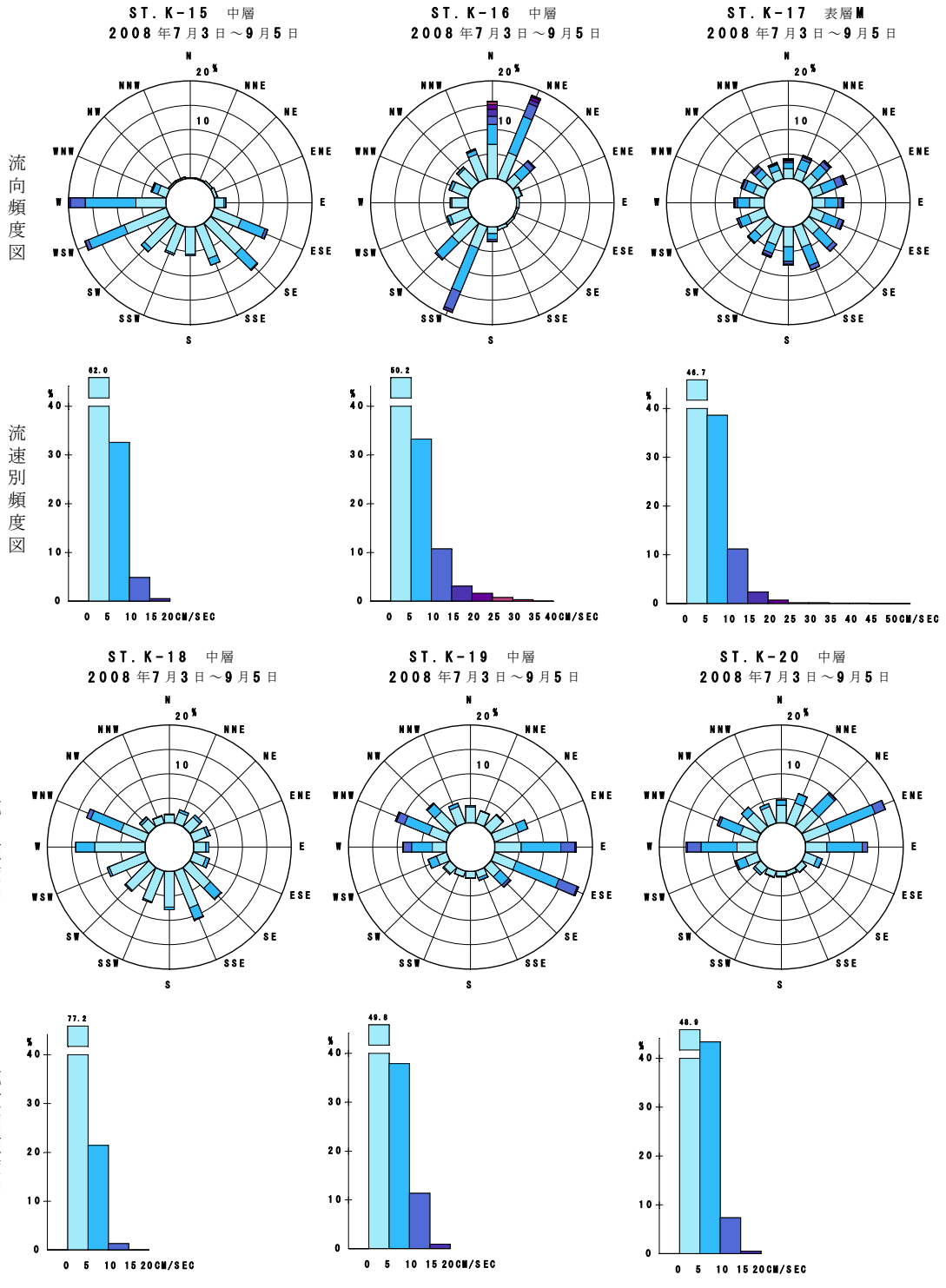
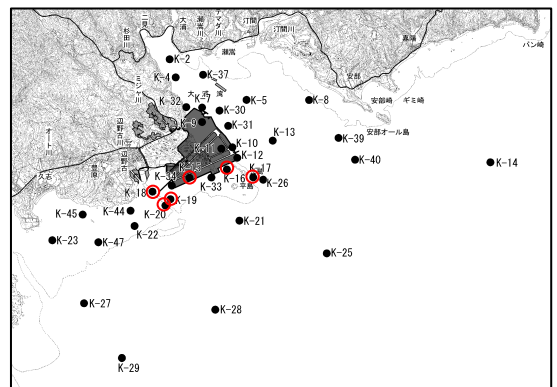


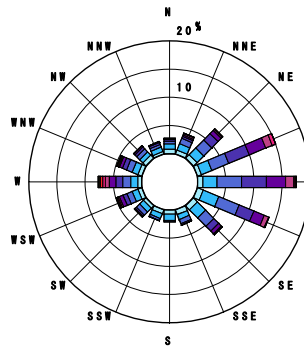
図-6.6.1.15(2) 電磁流速計による調査結果に基づく夏季の流況頻度図

注) 調査期間：平成20年7月3日～9月5日

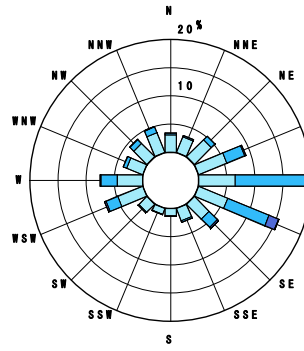


流向頻度図

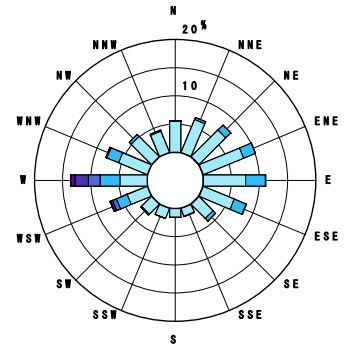
ST. K-21 表層M  
2008年7月3日～9月5日



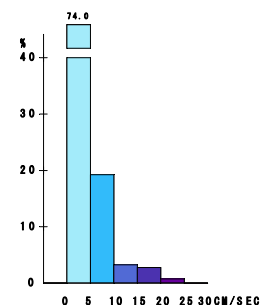
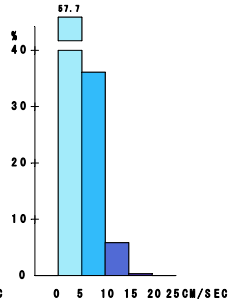
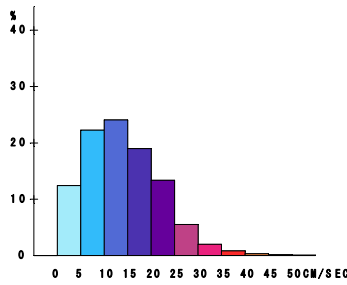
ST. K-22 中層  
2008年7月3日～9月5日



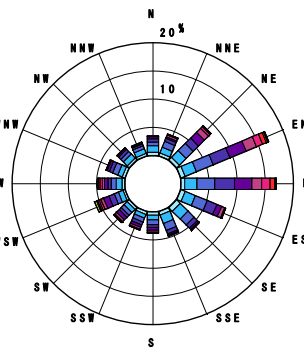
ST. K-23 中層  
2008年7月3日～9月5日



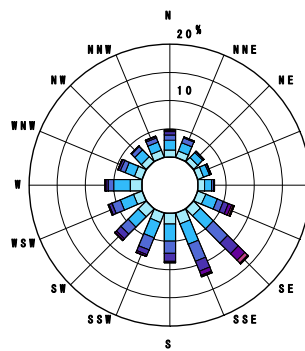
流速別頻度図



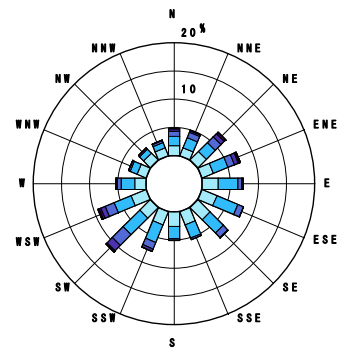
ST. K-25 表層M  
2008年7月3日～9月5日



ST. K-26 表層M  
2008年7月3日～9月5日



ST. K-27 表層M  
2008年7月3日～9月5日



流向頻度図

流速別頻度図

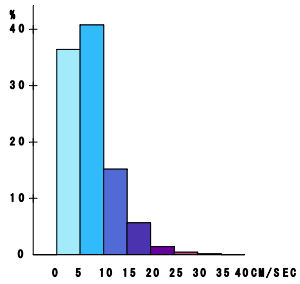
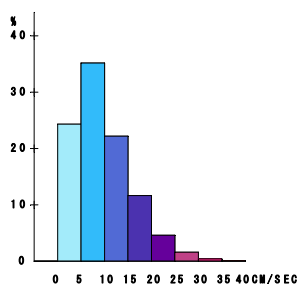
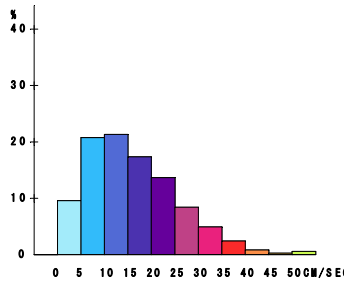
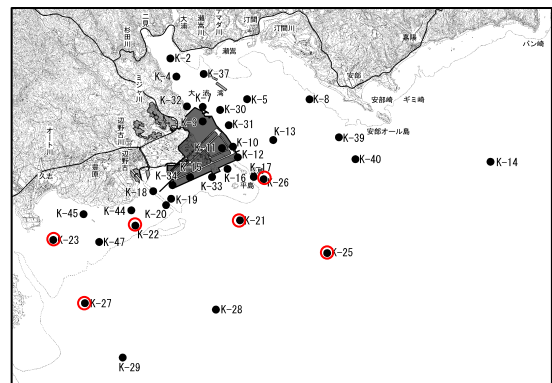


図-6. 6. 1. 15(3) 電磁流速計による調査結果に基づく夏季の流況頻度図

注) 調査期間：平成20年7月3日～9月5日



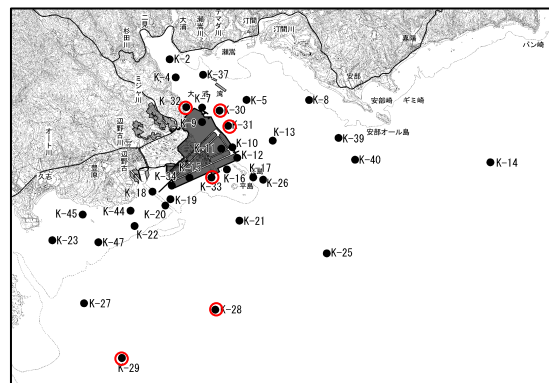
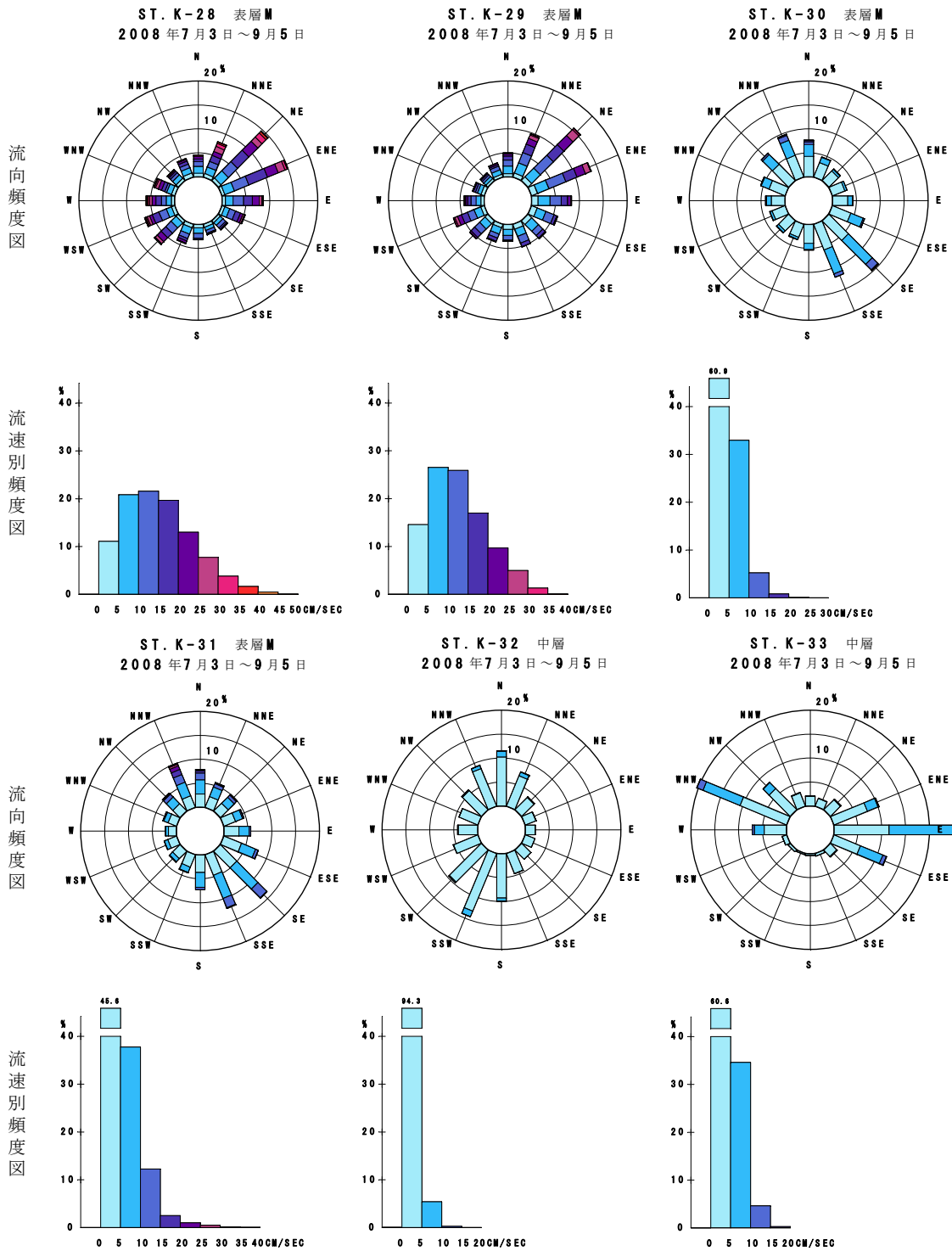
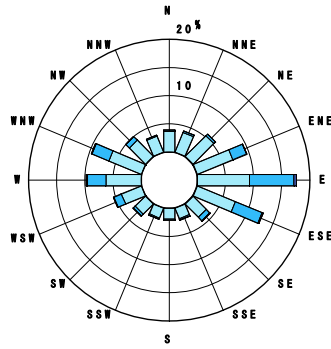


図-6. 6. 1. 15(4) 電磁流速計による調査結果に基づく夏季の流況頻度図

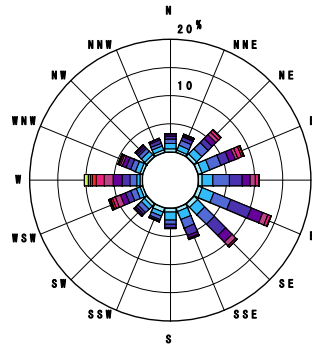
注) 調査期間：平成20年7月3日～9月5日

流向頻度図

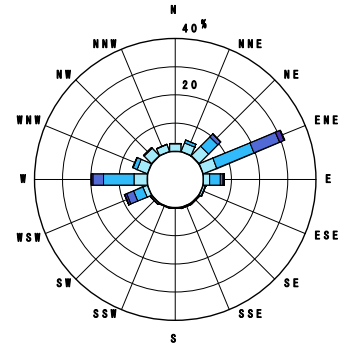
ST. K-34 中層  
2008年7月3日～9月5日



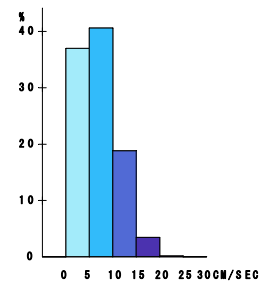
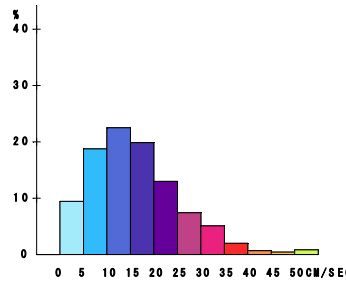
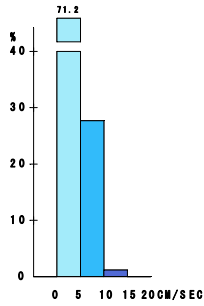
ST. K-40 表層M  
2008年7月3日～9月5日



ST. K-44 中層  
2008年7月3日～9月5日

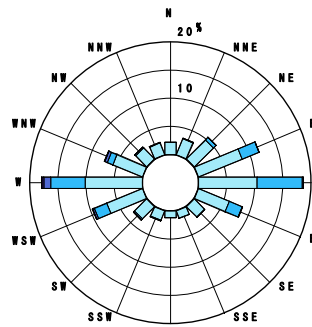


流速別頻度図

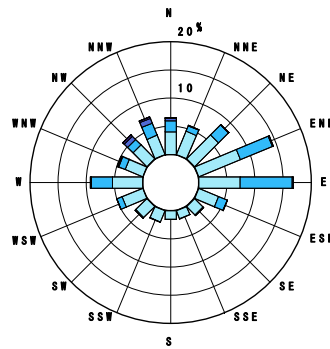


流向頻度図

ST. K-45 中層  
2008年7月3日～9月5日



ST. K-47 中層  
2008年7月3日～9月5日



流速別頻度図

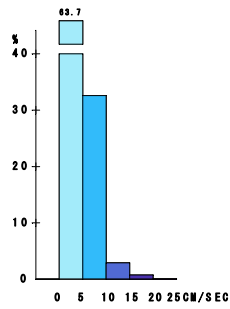
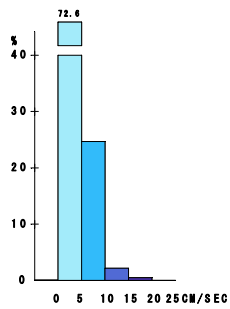
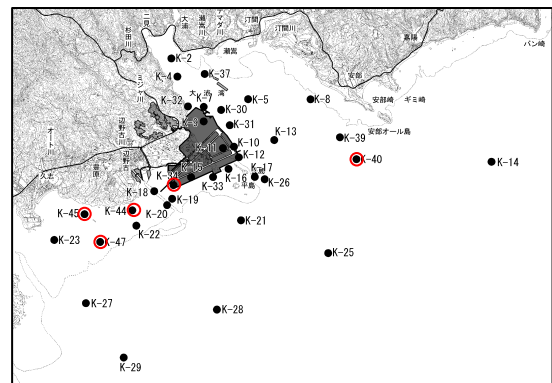


図-6.6.1.15(5) 電磁流速計による調査結果に基づく夏季の流況頻度図

注) 調査期間：平成20年7月3日～9月5日



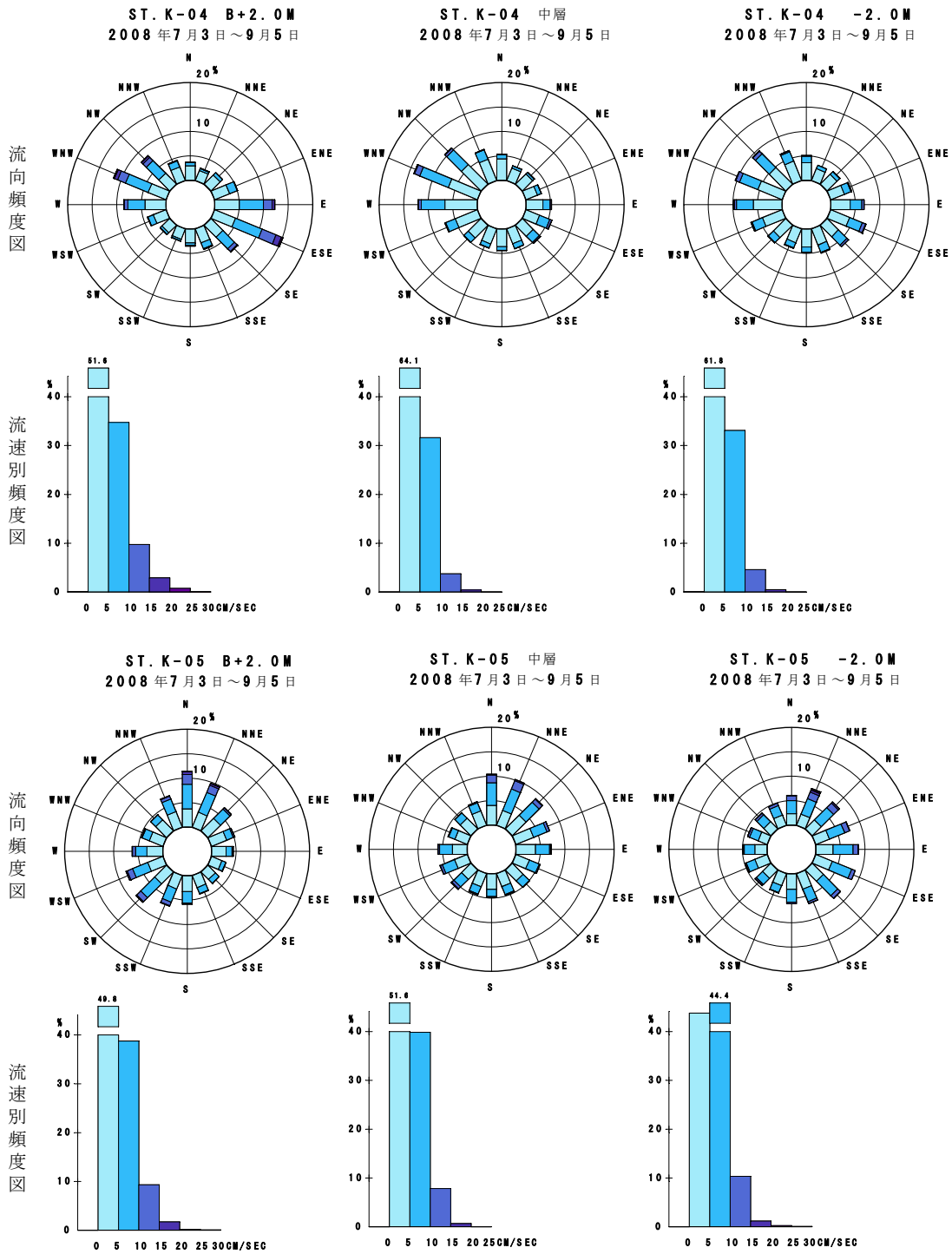
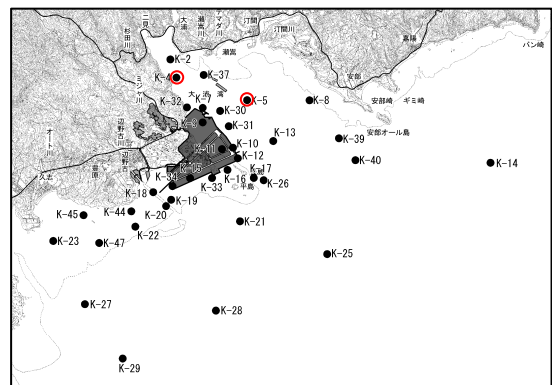


図-6. 6. 1. 16(1) 超音波流速計による調査結果に基づく夏季の流況頻度図

注) 調査期間：平成 20 年 7 月 3 日～9 月 5 日



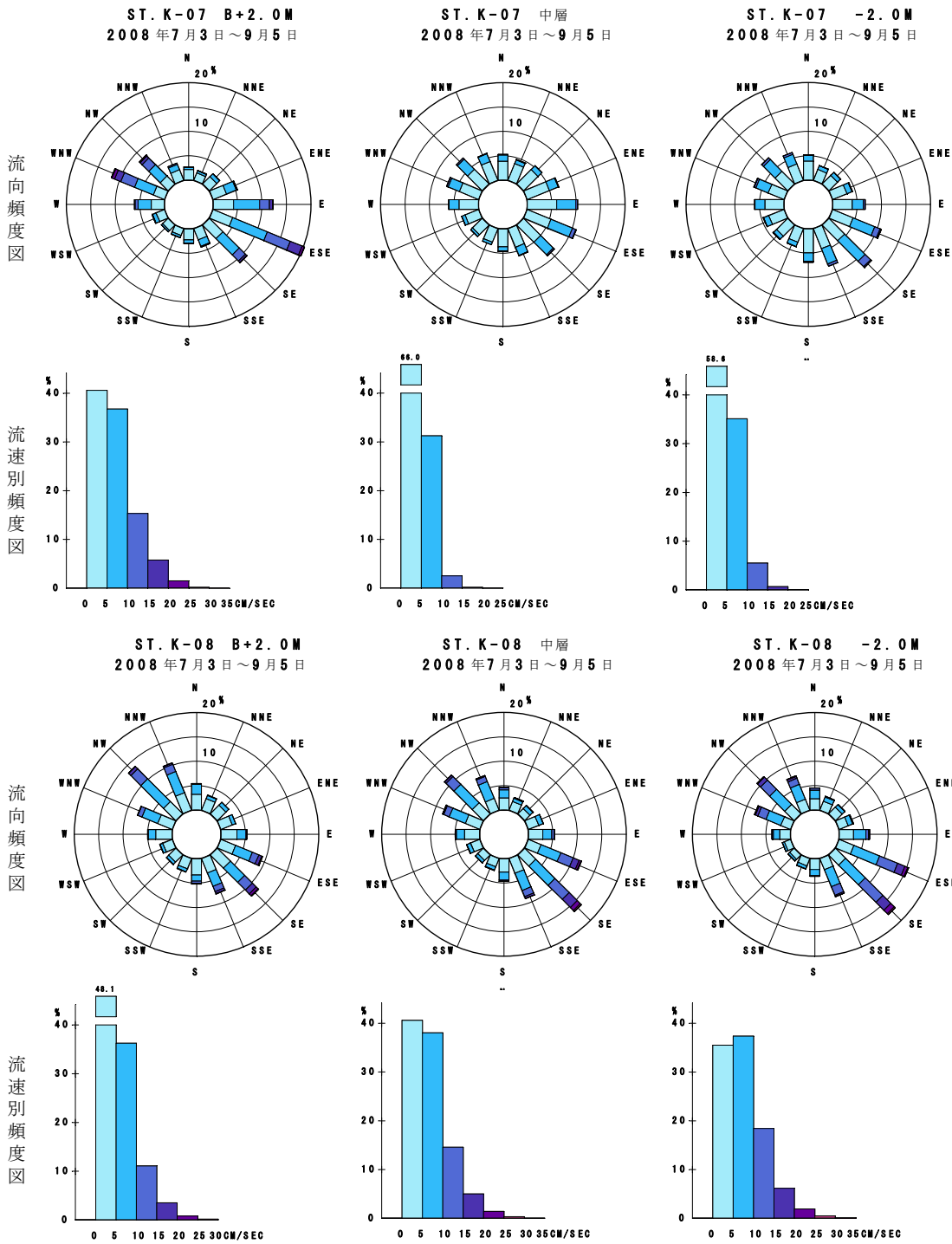
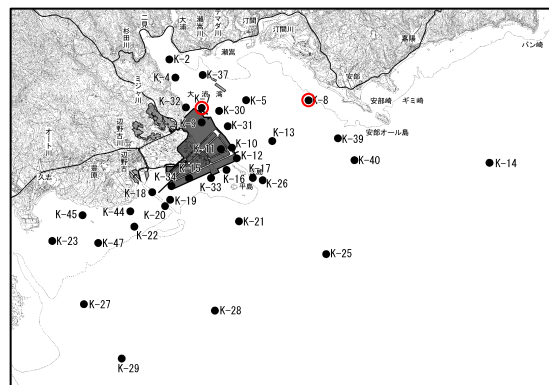


図-6.6.1.16(2) 超音波流速計による調査結果に基づく夏季の流況頻度図

注) 調査期間：平成20年7月3日～9月5日





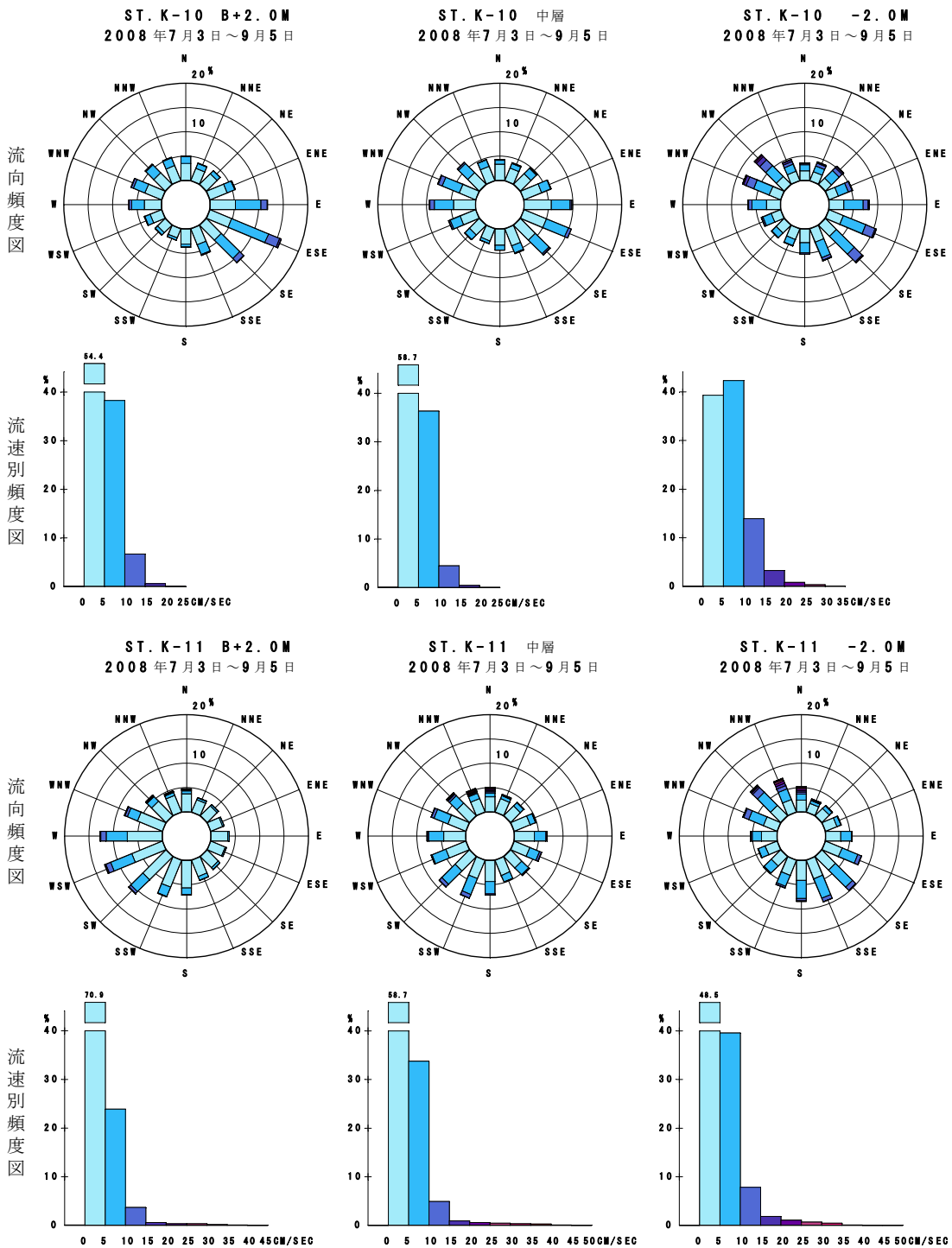
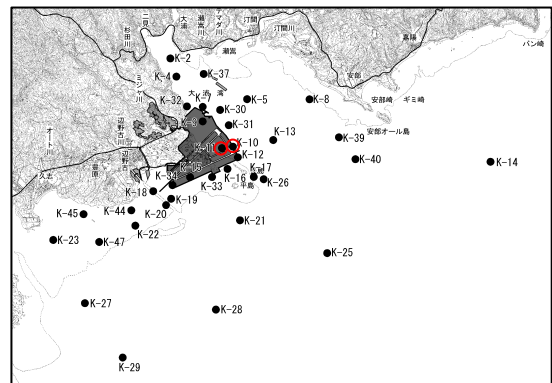


図-6.6.1.16(3) 超音波流速計による調査結果に基づく夏季の流況頻度図

注) 調査期間：平成20年7月3日～9月5日



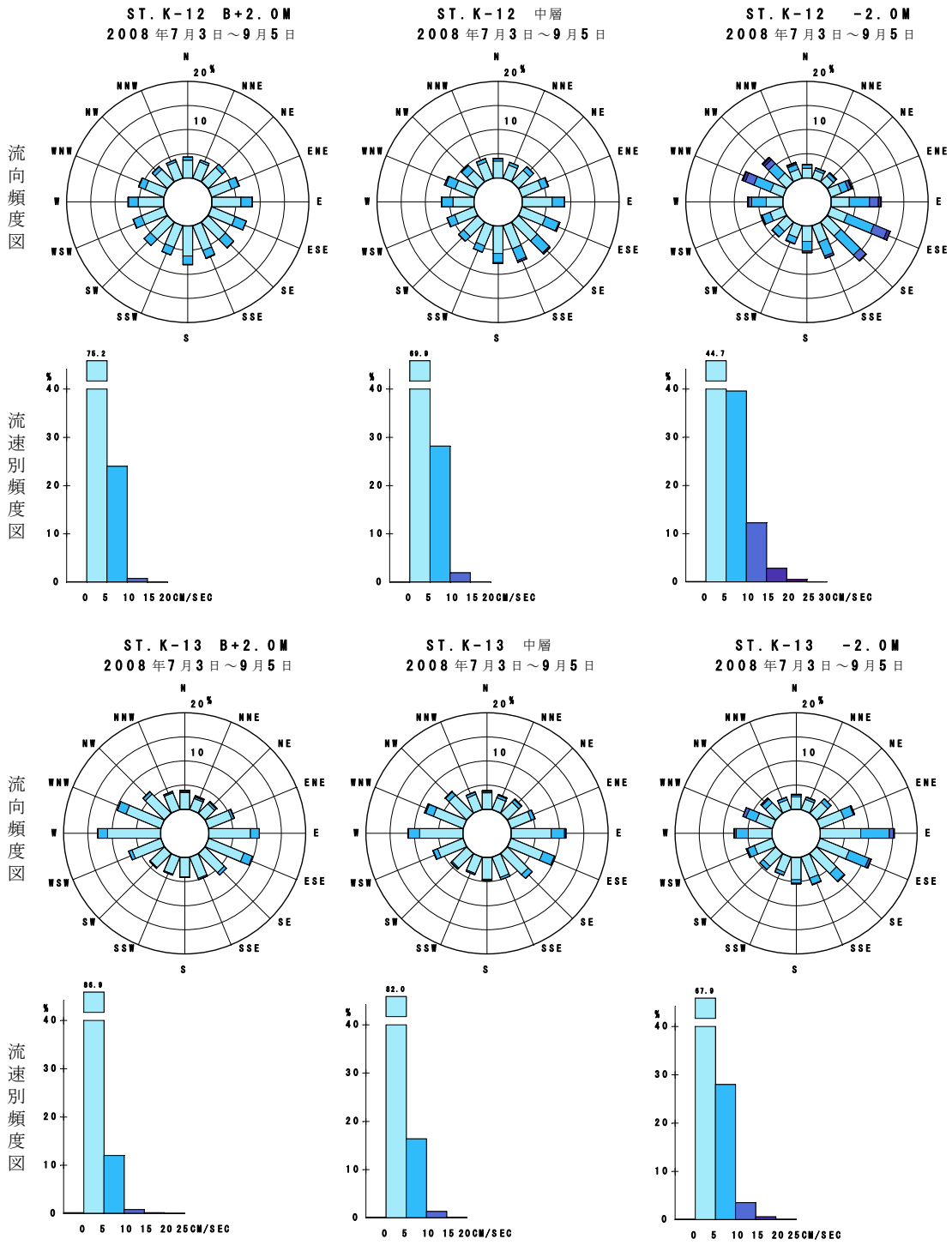
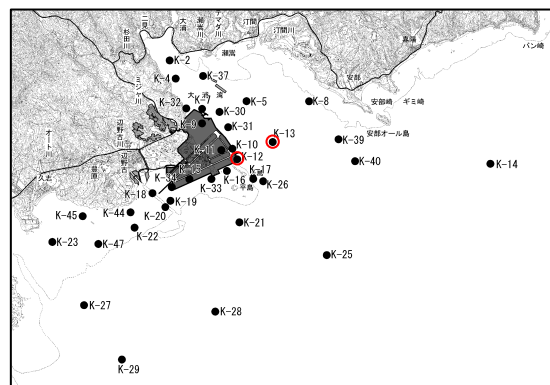


図-6.6.1.16(4) 超音波流速計による調査結果に基づく夏季の流況頻度図

注) 調査期間：平成20年7月3日～9月5日



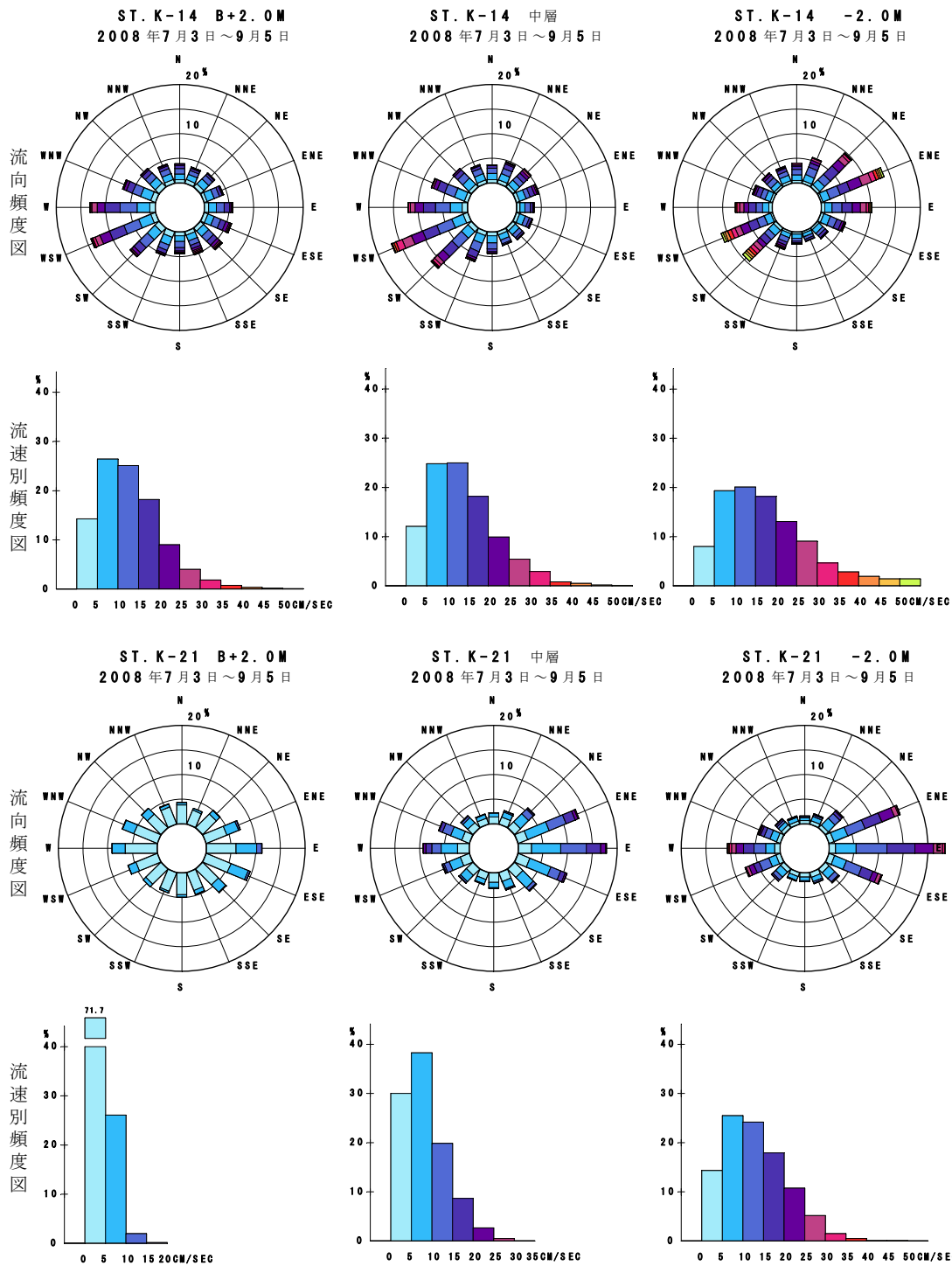
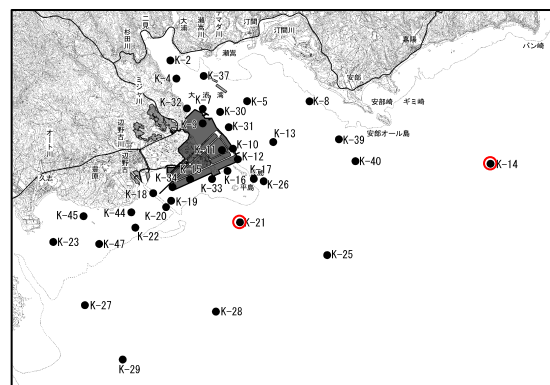
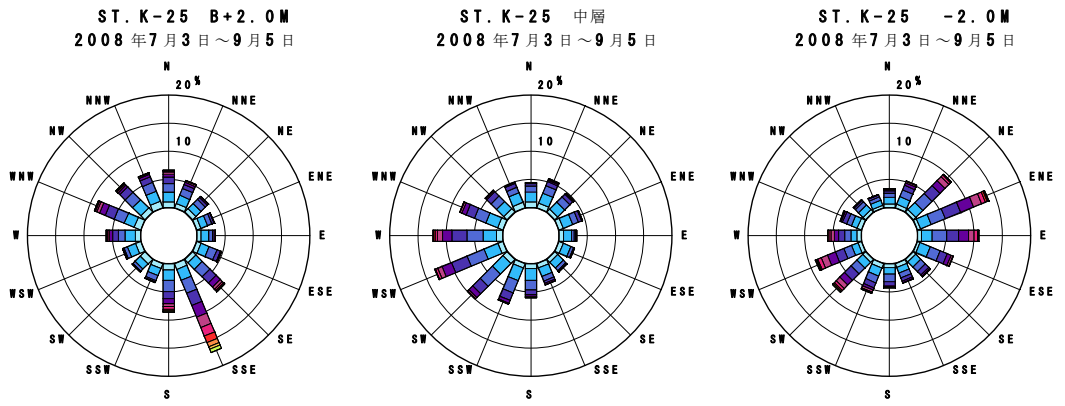


図-6. 6. 1. 16(5) 超音波流速計による調査結果に基づく夏季の流況頻度図

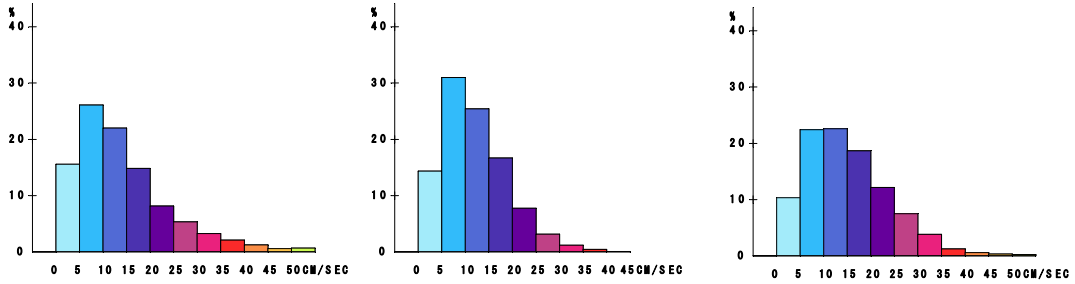
注) 調査期間：平成 20 年 7 月 3 日～9 月 5 日



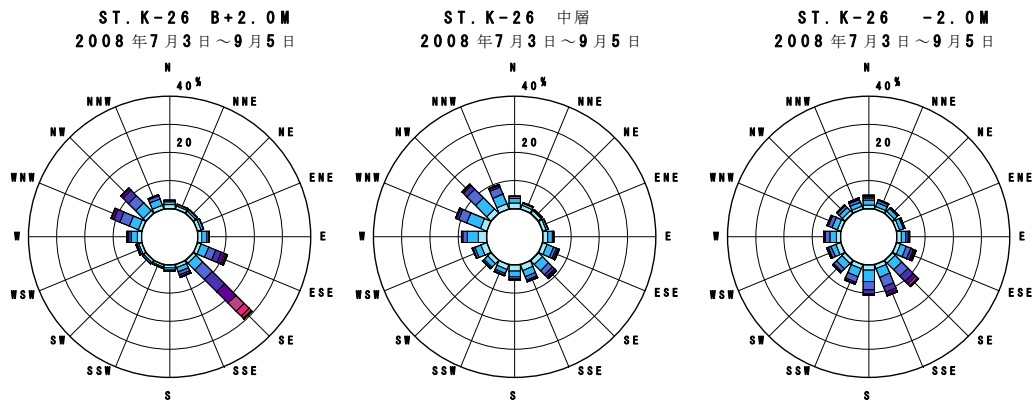
流向頻度図



流速別頻度図



流向頻度図



流速別頻度図

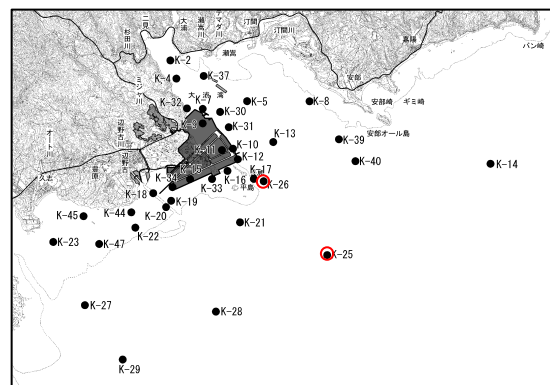
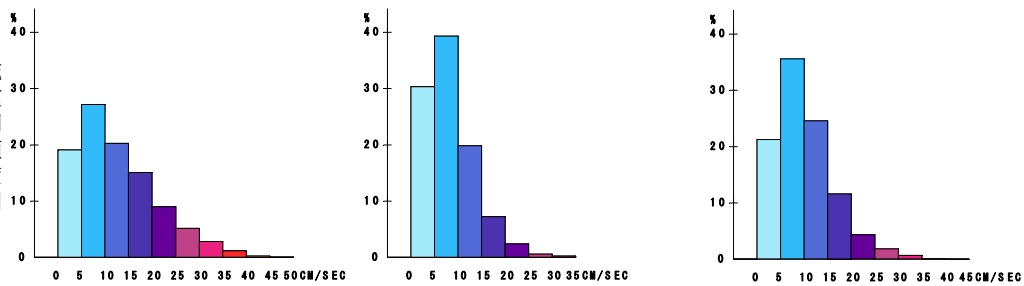


図-6. 6. 1. 16(6) 超音波流速計による調査結果に基づく夏季の流況頻度図

注) 調査期間：平成 20 年 7 月 3 日～9 月 5 日

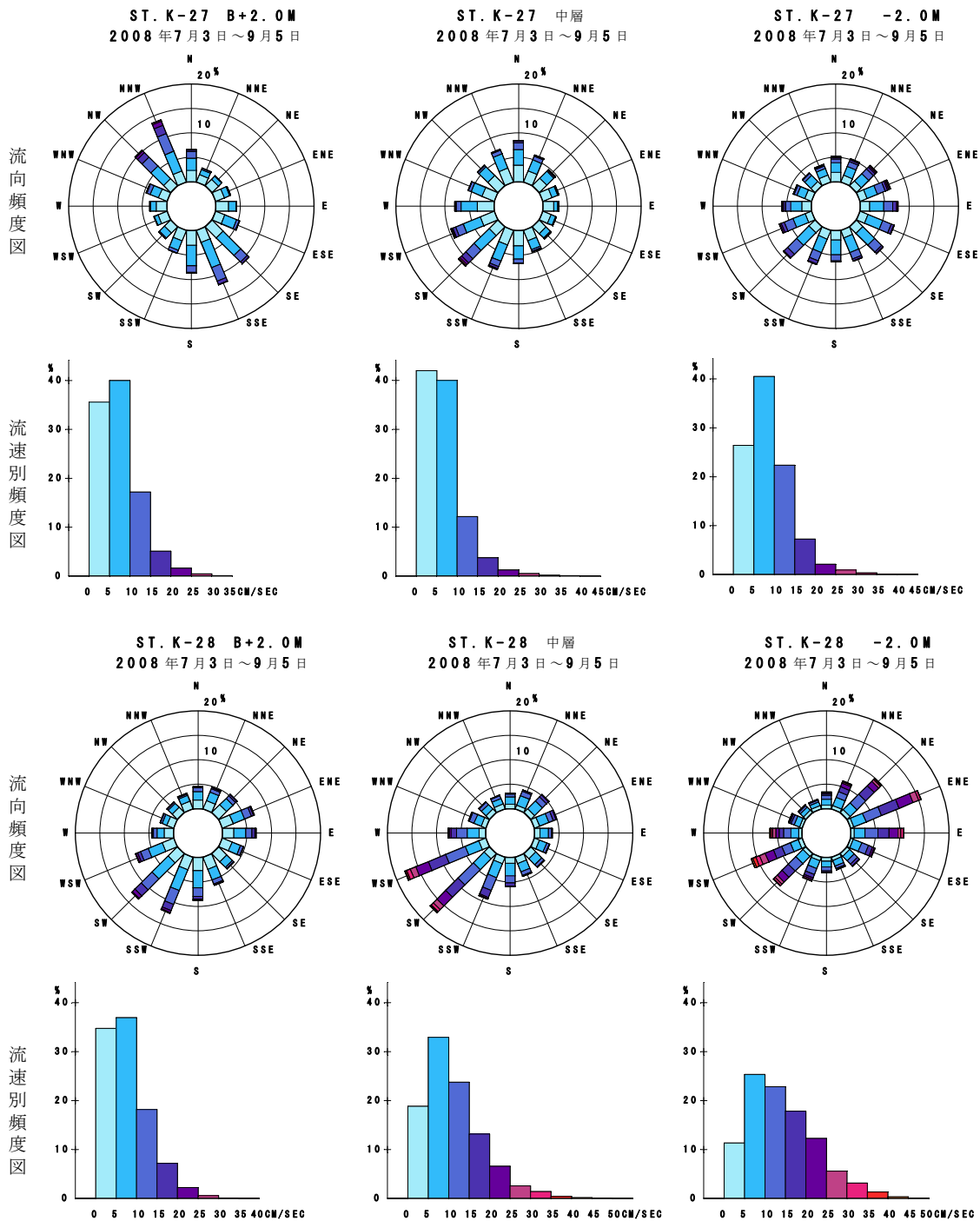
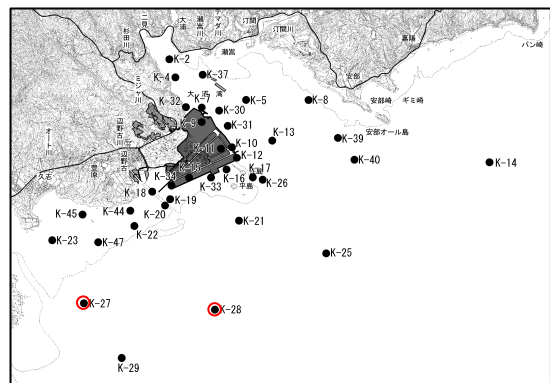


図-6. 6. 1. 16(7) 超音波流速計による調査結果に基づく夏季の流況頻度図

注) 調査期間：平成 20 年 7 月 3 日～9 月 5 日



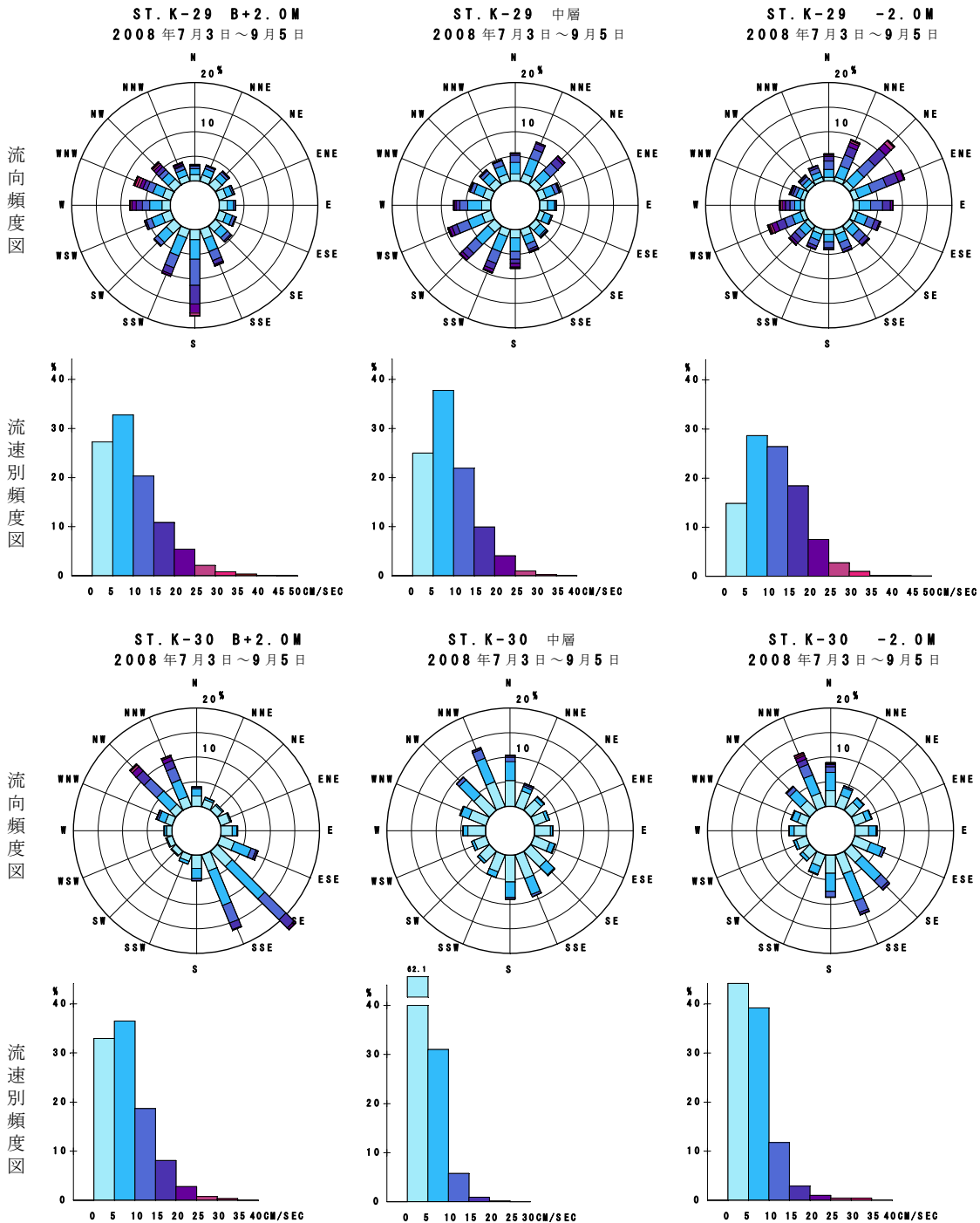
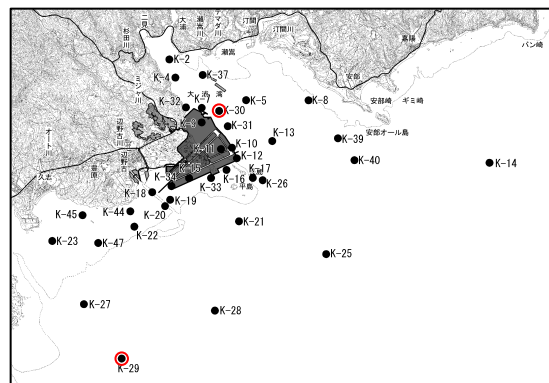


図-6. 6. 1. 16(8) 超音波流速計による調査結果に基づく夏季の流況頻度図

注) 調査期間：平成 20 年 7 月 3 日～9 月 5 日



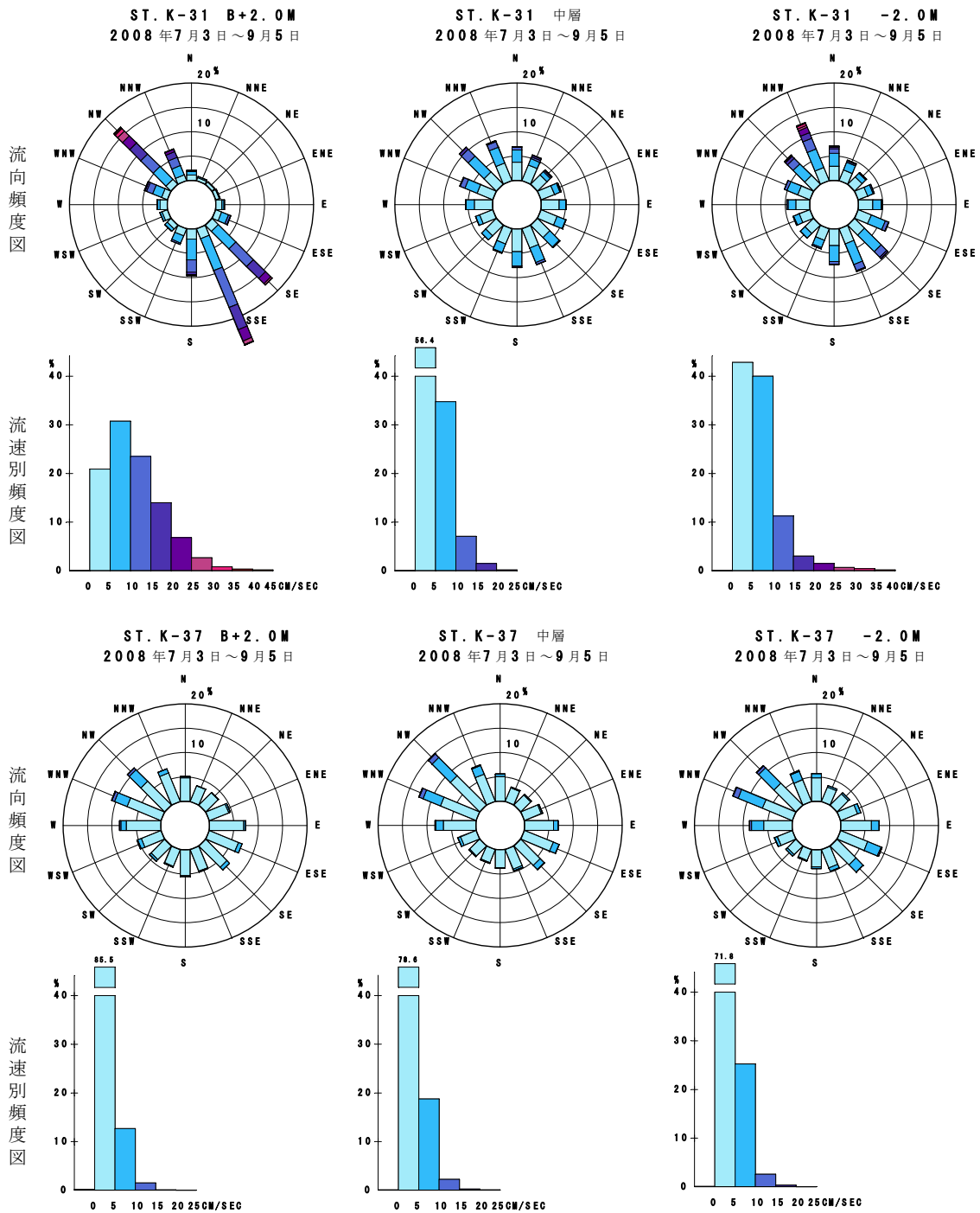
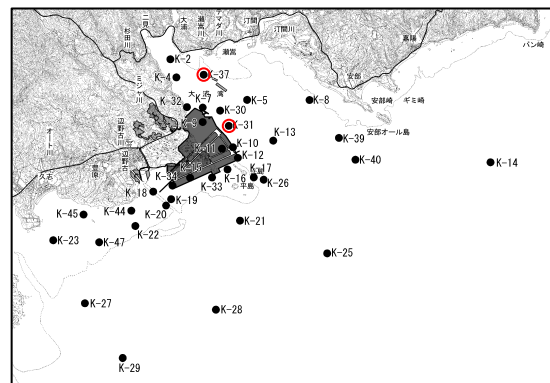


図-6. 6. 1. 16(9) 超音波流速計による調査結果に基づく夏季の流況頻度図

注) 調査期間：平成20年7月3日～9月5日



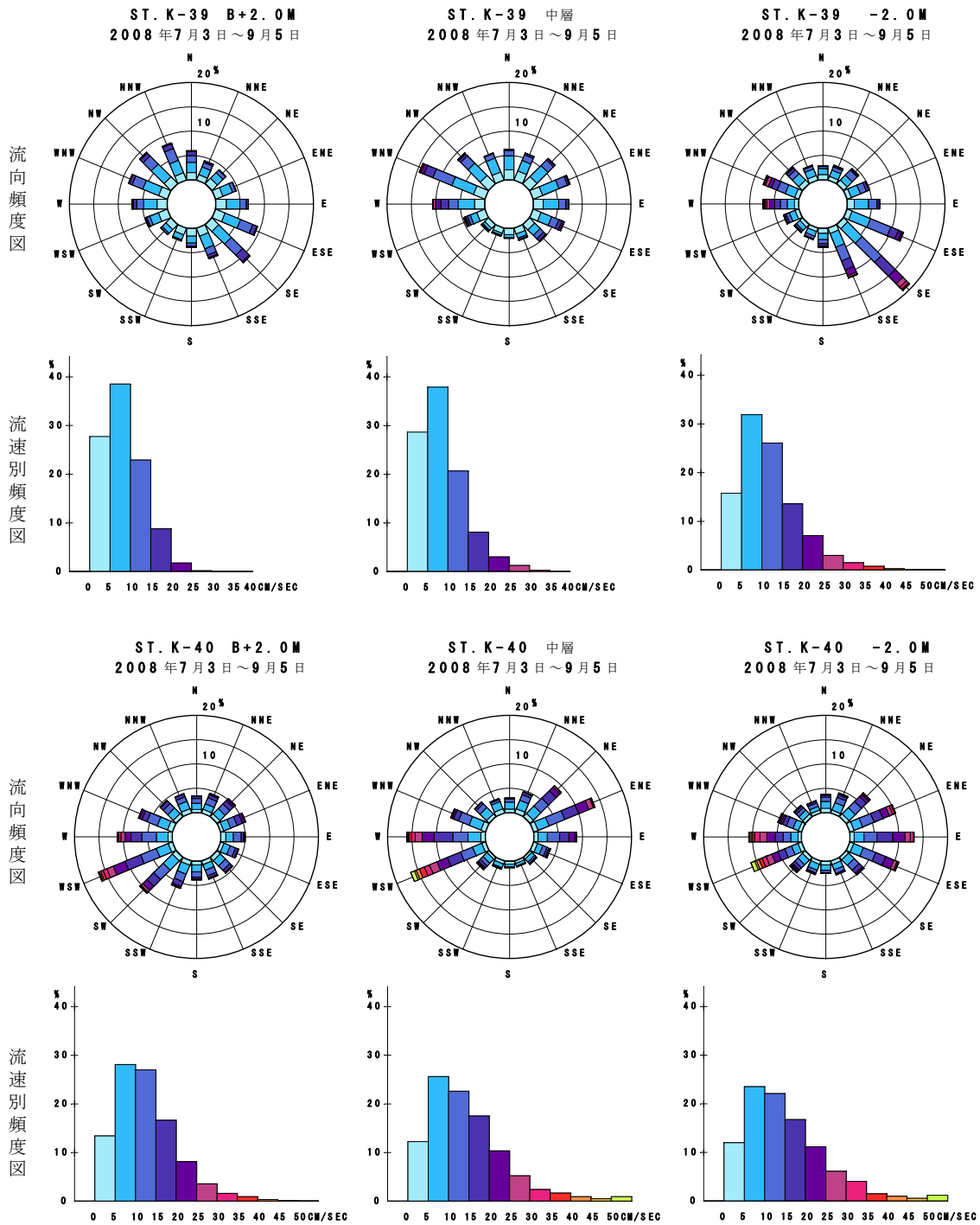


図-6. 6. 1. 16(10) 超音波流速計による調査結果に基づく夏季の流況頻度図

注) 調査期間：平成 20 年 7 月 3 日～9 月 5 日

